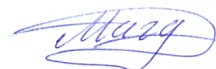


ФЕДЕРАЛЬНОЕ ГОСУДАРСТВЕННОЕ БЮДЖЕТНОЕ УЧРЕЖДЕНИЕ
НАУКИ ИНСТИТУТ ВЫЧИСЛИТЕЛЬНОГО МОДЕЛИРОВАНИЯ
СИБИРСКОГО ОТДЕЛЕНИЯ РОССИЙСКОЙ АКАДЕМИИ НАУК

На правах рукописи



Магденко Евгений Петрович

Решение линейных сопряжённых задач
для уравнений вязких теплопроводных
жидкостей в цилиндрических областях

01.01.02 — Дифференциальные уравнения, динамические системы и
оптимальное управление

Диссертация на соискание ученой степени
кандидата физико-математических наук

Научный руководитель
д-р физ.-мат. наук, профессор
Андреев Виктор Константинович

Красноярск — 2016

Содержание

Введение	3
1 Решение задач о распределении тепла для двух контактирующих цилиндров	18
1.1 Стационарное решение	18
1.2 Решение нестационарной задачи	26
2 Решение спектральных задач о потере устойчивости равновесия жидкостей в конечном цилиндре	54
2.1 Возникновение конвекции в двухслойной системе жидкостей в конечном цилиндре	54
2.1.1 Возмущённое решение	55
2.1.2 Зависимость числа Марангони от геометрии контейнера и физических параметров жидкости	58
2.2 Зависимость числа Марангони от геометрических параметров в случае однослойной жидкости	61
3 Априорные оценки сопряжённой задачи, описывающей осесимметричное термокапиллярное движение при малом числе Марангони с подвижной общей поверхностью раздела	68
3.1 Постановка задачи	68
3.2 Оценки функций $a_j(r, t)$	73
3.3 Оценки функций $v_j(r, t)$	78
3.4 Поведение решения при $t \rightarrow \infty$	85
4 Решение сопряжённой задачи, описывающей осесимметрическое термокапиллярное движение в цилиндре при малом числе Марангони	95
4.1 Постановка задачи	95
4.2 Стационарное решение	96
4.3 Априорные оценки	97

4.4	Решение задачи методом преобразования Лапласа	101
4.5	О стремлении решения к стационарному	107
	Заключение	109
	Литература	110

Введение

Актуальность проблемы. Изучение свойств жидкости, будь то вода, раствор химического реагента или расплав металла, приводит к необходимости проведения исследования её внутреннего состояния. Так, для жидкости, находящейся в состоянии покоя, большое значение имеет формулировка законов воздействия внешних факторов, способных в определённых условиях привести к потере устойчивости механического равновесия. Большой практический интерес имеют задачи о формировании конвекции в жидкости. Динамика развития структур течения существенно зависит от граничных условий или внутренних источников. Кроме того, значительное влияние могут оказать внутренние поверхности раздела, фронты химических реакций, потоки тепла и примеси. Так известно, что в неоднородно нагретой жидкости возникает движение, и часто это происходит в двух и более жидких средах, которые контактируют вдоль некоторых поверхностей раздела. Если при взаимодействии жидкости не смешиваются друг с другом, то они формируют поверхность раздела. В качестве примеров можно привести систему нефть-вода [7], внутренние волны [43], плёночные течения [5]. В настоящее время интерес к моделям многофазных потоков с учётом различия физических и химических факторов возникает при проектировании систем охлаждения и электростанций, росте кристаллов и плёнок, аэрокосмической промышленности [8, 64, 65, 72]. Исследование такого рода задач связано с большими математическими трудностями: нелинейность уравнений и граничных условий на поверхностях раздела, неизвестность областей определения решений. В связи с этим является актуальной задача качественного исследования уравнений подмоделей, содержащих меньшее число независимых переменных. В частности, точные решения всегда играли и продолжают играть огромную роль в формировании правильного понимания качественных особенностей многих явлений и процессов в различных областях естествознания. Эти решения часто используют в качестве "тестовых задач" для проверки корректности и оценки точности различных асимптотических, приближенных и численных методов, а также имеют чрезвычайно важное значение при изучении устойчивости течений.

В условиях, близком к невесомости, существенное влияние на устойчивость её равновесия и движения жидкостей с поверхностью раздела или со свободной поверхностью оказывают зависимость коэффициента поверхностного натяжения от температуры и порождаемый ею термокапиллярную неустойчивость (эффект Марангони). В 1958 году выходит первая теоретическая работа, выполненная Пирсоном [66], в которой исследован механизм неустойчивости подогреваемого снизу слоя жидкости со свободной поверхностью при отсутствии массовых сил. В этой статье был приведён принципиальный результат: наличие только термокапиллярных сил может приводить к возникновению движения в

жидкости. В более поздних работах других авторов, например, [70, 71] линейная теория устойчивости в задаче о конвекции Марангони была расширена и уже включала в себя случай двухфазных сред и случаи когда капиллярное число не равно нулю и присутствует сила тяжести. Дальнейшее теоретическое изучение влияния термокапиллярного эффекта на устойчивость равновесия было продолжено рядом авторов [59, 65, 67].

В связи с развитием современной технологии появились новые задачи, когда необходимо учитывать термокапиллярный эффект и в земных условиях. Например, при лазерном отжиге полупроводников или при лазерной обработке материалов с плавлением, которая применяется для легирования поверхностного слоя металла [17]. При этом на поверхности материала появляются относительно протяжённые тонкие слои расплава (глубиной порядка нескольких мкм), в которых, согласно [68, 69], термокапиллярные силы доминируют над силами термогравитации. Возникающие здесь математические вопросы термокапиллярной устойчивости интенсивно исследуются в [14], [55].

В работах [4, 57, 58] получен ряд точных решений уравнений конвекции Марангони. Одно из первых решений было получено в [63]. Это стационарное течение Пуазейля двух несмешивающихся жидкостей в наклонном канале. В данных работах почти все течения были стационарными и однонаправленными, а их устойчивость исследовалось в [2, 5]. Гораздо позже началось изучение нестационарных термокапиллярных течений [9, 56].

В работе [60] была исследована задача о термокапиллярной конвекции двух несжимаемых жидкостей в контейнере, разделённых замкнутой поверхностью раздела. Локальная (по времени) однозначная разрешимость задачи получена в гёльдеровских классах функций. Задача о термокапиллярном движении капли во всём трёхмерном пространстве изучена в работе [61]. При этом её однозначная разрешимость установлена в классах Гёльдера с весом степенного типа. Оказалось, что векторное поле скорости убывает на бесконечности таким же образом, как и начальные данные и массовые силы, а температура стремится к постоянной, которая является пределом начальной температуры на бесконечности.

Из вышесказанного следует, что оценка эффекта Марангони (влияние термокапиллярных сил) в той или иной выбранной модели является актуальной задачей.

В качестве математической модели в диссертации используются уравнения Обербека – Буссинеска, которые записываются в цилиндрической системе координат. Пусть u, v, w — проекции вектора скорости на оси r, φ, z . Тогда уравнения модели Обербека – Буссинеска, описывающие конвективные движения

вязкой несжимаемой теплопроводной жидкости в поле тяжести, примут вид

$$\begin{aligned}
\frac{du}{dt} - \frac{v^2}{r} + \frac{1}{\rho_0} p_r &= \nu \left(\Delta u - \frac{u}{r^2} - \frac{2v_\varphi}{r^2} \right) + l(\theta) g^r, \\
\frac{dv}{dt} + \frac{uv}{r} + \frac{1}{\rho_0 r} p_\varphi &= \nu \left(\Delta v - \frac{v}{r^2} + \frac{2u_\varphi}{r^2} \right) + l(\theta) g^\varphi, \\
\frac{dw}{dt} + \frac{1}{\rho_0} p_z &= \nu \Delta w + l(\theta) g^z, \\
u_r + \frac{1}{r} u + v_\varphi + w_z &= 0, \\
\frac{d\theta}{dt} &= \chi \Delta \theta.
\end{aligned} \tag{1}$$

Здесь $p(r, \varphi, z, t)$ — давление; $\theta(r, \varphi, z, t)$ — температура; $\rho_0 = \text{const} > 0$ — средняя плотность жидкости; ν — кинематическая вязкость; χ — коэффициент температуропроводности; $l(\theta) = 1 - \beta\theta$ для модели Обербека–Буссинеска, $\beta > 0$ — коэффициент теплового расширения жидкости; g^r, g^φ, g^z — проекции плотности внешних сил на оси r, φ, z . В уравнениях (1) использованы обозначения полной производной

$$\frac{d}{dt} = \frac{\partial}{\partial t} + u \frac{\partial}{\partial r} + \frac{v}{r} \frac{\partial}{\partial \varphi} + w \frac{\partial}{\partial z}$$

и оператора Лапласа

$$\Delta = \frac{\partial^2}{\partial r^2} + \frac{1}{r} \frac{\partial}{\partial r} + \frac{1}{r^2} \frac{\partial^2}{\partial \varphi^2} + \frac{\partial^2}{\partial z^2}.$$

Система (1) является нелинейной, она имеет высокий порядок и не относится к какому-либо из классических типов. Всё это повышает роль точных решений указанной системы, в которых понижается их размерность, порядок редуцируемых уравнений, а в ряде случаев происходит их линеаризация. Систематический анализ точных решений основан на применении методов группового анализа дифференциальных уравнений [42]. Применительно к системе (1) это было сделано в работе [23], где рассмотрен плоский стационарный случай, и в работе [20], где изучен общий случай и, кроме того, исследована задача групповой классификации уравнений конвекции с коэффициентами переноса, зависящими от температуры. Групповая природа решения Бириха выявлена в статьях [23, 48]. Во второй из них дано обобщение Бириха на трёхмерный случай. Другие применения теоретико-групповых методов в задачах конвекции описаны в монографиях [5, 7, 58].

Решения системы (1), найденные в работах [4, 12, 51, 21], допускают интерпретацию в виде течений в плоском горизонтальном или наклонном канале. В статье [48] рассмотрено нестационарное движение жидкости в горизонтальной

цилиндрической трубе. Все эти решения объединяет следующее обстоятельство: поле температуры в них представимо в виде $\Theta = -Az + T$, где $A = \text{const}$, а функция T не зависит от продольной координаты z . Впервые решения уравнений Обербека – Буссинеска, обладающие этим свойством, были найдены Г.А. Остроумовым [44] при исследовании задачи об устойчивости равновесия жидкости в вертикальной трубе при наличии продольного градиента температуры. В этой задаче возникающие вторичные течения имеют простую природу: в них горизонтальные компоненты скорости равны нулю, а вертикальная компонента и температура находятся из линейной системы уравнений. Возникает естественный вопрос: нельзя ли отказаться от предположения $A = \text{const}$, сохранив относительно простую структуру течения? В статье [49] даётся утвердительный ответ на этот вопрос в случае плоского течения в горизонтальной полосе. Подобное обобщение допускает решение с вращательной симметрией, полученное в работе [13].

В диссертационной работе будут рассматриваться сопряжённые задачи, описывающие двухслойные движения, поэтому введём индекс j для всех величин, за исключением g^r, g^φ, g^z : $u_j, v_j, w_j, p_j, \theta_j, \rho_{0j}, \nu_j, \chi_j, \beta_j, j = 1, 2$.

Пусть жидкость 1 занимает область Ω_{1t} , а жидкость 2 — область Ω_{2t} , и они контактируют, не смешиваясь, по поверхности раздела Γ_t . Будем рассматривать два типа границ раздела. В первом из них Γ_t описывается уравнением $f(r, \varphi, z, t) \equiv r - h(\varphi, z, t) = 0$, а во втором $f(r, \varphi, z, t) = z - h_1(r, \varphi, t) = 0$. Выпишем условия на поверхности Γ_t для каждого случая.

Кинематические условия:

$$h_t + \frac{v}{r} h_\varphi + w h_z = u, \quad r = h(z, \varphi, t); \quad (2)$$

$$h_{1t} + \frac{v}{r} h_{1\varphi} + u h_{1r} = w, \quad z = h_1(r, \varphi, t). \quad (3)$$

В (2), (3) u, v, w , суть общее значение скоростей на Γ_t ,

$$u_1 = u_2 \equiv u, \quad v_1 = v_2 \equiv v, \quad w_1 = w_2 \equiv w, \quad r = h(z, \varphi, t) \quad (4)$$

($z = h_1(r, \varphi, t)$).

Динамическое условие на Γ_t в общем случае имеет вид [10, 47]

$$(P_1 - P_2)\mathbf{n} = 2\sigma K\mathbf{n} + \nabla_{11}\sigma, \quad (5)$$

где $P_j = -p_j E + 2\rho_{0j}\nu_j D(\mathbf{u}_j)$ — тензоры напряжений, $D(\mathbf{u}_j)$ — тензор скоростей

деформаций j -ой жидкости, причём

$$D(\mathbf{u}_j) = \begin{pmatrix} u_{jr} & \frac{1}{2} \left(\frac{u_{j\varphi}}{r} + v_{jr} - \frac{v_j}{r} \right) & \frac{1}{2} (w_{jr} + u_{jz}) \\ \frac{1}{2} \left(\frac{u_{j\varphi}}{r} + v_{jr} - \frac{v_j}{r} \right) & \frac{v_{j\varphi}}{r} + \frac{u_j}{r} & \frac{1}{2} \left(v_{jz} + \frac{w_{j\varphi}}{r} \right) \\ \frac{1}{2} (w_{jr} + u_{jz}) & \frac{1}{2} \left(v_{jz} + \frac{w_{j\varphi}}{r} \right) & w_{jz} \end{pmatrix}, \quad (6)$$

\mathbf{n} — единичная нормаль к Γ_t , K — её средняя кривизна,

$$K = \frac{(h_{\varphi\varphi} - h)(1 + h_z^2)h - 2h_\varphi(h_\varphi + h_{\varphi z}h_z h) + h_{zz}h(h^2 + h_\varphi^2)}{2\sqrt{(h^2 + h_\varphi^2 + h^2h_z^2)^3}}, \quad (7)$$

$\sigma(\theta)$ — коэффициент поверхностного натяжения, где θ — общее значение температур на Γ_t ,

$$\theta_1(r, \varphi, z, t) = \theta_2(r, \varphi, z, t) \equiv \theta(r, \varphi, z, t), \quad (8)$$

$r = h(z, \varphi, t)$ ($z = h_1(r, \varphi, t)$); $\nabla_{11}\sigma = \nabla_{11}\theta d\sigma/d\theta$ — поверхностный градиент, где $\nabla_{11} = \nabla - \mathbf{n}(\mathbf{n} \cdot \nabla)$.

Выпишем подробнее условия (5) на Γ_t . Для поверхности Γ_t , заданной уравнением $r = h(\varphi, z, t)$, нормаль имеет вид (в цилиндрической системе координат)

$$\mathbf{n} = (1, -h_\varphi/r, -h_z)/L, \quad L = \sqrt{1 + h_\varphi^2/r^2 + h_z^2},$$

а касательные единичные векторы таковы:

$$\mathbf{e}_1 = \frac{(h_\varphi/r, 1, 0)}{\sqrt{1 + h_\varphi^2/r^2}}, \quad \mathbf{e}_2 = \frac{(h_z, 0, 1)}{\sqrt{1 + h_z^2}}.$$

Векторы \mathbf{n} , \mathbf{e}_1 , \mathbf{e}_2 образуют локальный базис на Γ_t . Проектируя векторное равенство (5) с учётом (6) на этот базис, получим [8]

$$\begin{aligned} p_2 - p_1 + \frac{2\mu_1}{L^2} \left[u_{1r} - \frac{h_\varphi}{r} \left(v_{1r} - \frac{v_1}{r} + \frac{u_{1\varphi}}{r} \right) - h_z(u_{1z} + w_{1r}) + \right. \\ \left. + \frac{h_\varphi h_z}{r} \left(v_{1z} + \frac{w_{1\varphi}}{r} \right) + \frac{h_\varphi^2}{r^3} (v_{1\varphi} + u_1) + h_z^2 w_{1z} \right] - \\ - \frac{2\mu_2}{L^2} \left[u_{2r} - \frac{h_\varphi}{r} \left(v_{2r} - \frac{v_2}{r} + \frac{u_{2\varphi}}{r} \right) - h_z(u_{2z} + w_{2r}) + \right. \\ \left. + \frac{h_\varphi h_z}{r} \left(v_{2z} + \frac{w_{2\varphi}}{r} \right) + \frac{h_\varphi^2}{r^3} (v_{2\varphi} + u_2) + h_z^2 w_{2z} \right] = 2\sigma K; \quad (9) \end{aligned}$$

$$\begin{aligned} \mu_1 \left[\left(1 - \frac{h_\varphi^2}{r^2}\right) \left(v_{1r} - \frac{v_1}{r} + \frac{u_{1\varphi}}{r}\right) + \frac{2h_\varphi}{r} \left(u_{1r} - \frac{v_{1\varphi}}{r} - \frac{u_1}{r}\right) - \right. \\ \left. - \frac{h_\varphi h_z}{r} \left(u_{1z} + w_{1r}\right) - h_z \left(v_{1z} + \frac{w_{1\varphi}}{r}\right) \right] - \\ - \mu_2 \left[\left(1 - \frac{h_\varphi^2}{r^2}\right) \left(v_{2r} - \frac{v_2}{r} + \frac{u_{2\varphi}}{r}\right) + \frac{2h_\varphi}{r} \left(u_{2r} - \frac{v_{2\varphi}}{r} - \frac{u_2}{r}\right) - \right. \\ \left. - \frac{h_\varphi h_z}{r} \left(u_{2z} + w_{2r}\right) - h_z \left(v_{2z} + \frac{w_{2\varphi}}{r}\right) \right] = L \left(\frac{h_\varphi \theta_r}{r} + \frac{\theta_\varphi}{r} \right) \frac{d\sigma}{d\theta}; \quad (10) \end{aligned}$$

$$\begin{aligned} \mu_1 \left[(1 - h_z^2)(u_{1z} + w_{1r}) + 2h_z(u_{1r} - w_{1z}) - \frac{h_\varphi}{r} \left(v_{1z} + \frac{w_{1\varphi}}{r}\right) - \right. \\ \left. - \frac{h_\varphi h_z}{r} \left(v_{1r} - \frac{v_1}{r} + \frac{u_{1\varphi}}{r}\right) \right] - \mu_2 \left[(1 - h_z^2)(u_{2z} + w_{2r}) + 2h_z(u_{2r} - w_{2z}) - \right. \\ \left. - \frac{h_\varphi}{r} \left(v_{2z} + \frac{w_{2\varphi}}{r}\right) - \frac{h_\varphi h_z}{r} \left(v_{2r} - \frac{v_2}{r} + \frac{u_{2\varphi}}{r}\right) \right] = L(h_z \theta_r + \theta_z) \frac{d\sigma}{d\theta}, \quad (11) \end{aligned}$$

где $\mu_j = \rho_{0j} \nu_j$ — динамические вязкости.

Кроме равенства температур (8) на Γ_t необходимо учесть условие [10]

$$k_2 \frac{\partial \theta_2}{\partial n} - k_1 \frac{\partial \theta_1}{\partial n} = \varkappa \theta \nabla_{11} \cdot \mathbf{u} + \omega(\theta_t + \mathbf{u} \cdot \nabla_{11} \theta), \quad (12)$$

где k_1, k_2 — коэффициенты теплопроводностей,

$$\varkappa = -\frac{d\sigma}{d\theta}, \quad \omega = \frac{d}{d\theta} (\sigma(\theta) + \varkappa \theta), \quad (13)$$

а $\nabla_{11} \cdot \mathbf{u}$ — поверхностная дивергенция общего значения векторов скоростей на Γ_t . Учитывая, что $\nabla = (\partial/\partial r, r^{-1}\partial/\partial\varphi, \partial/\partial z)$, перепишем равенство (12) в цилиндрических координатах:

$$\begin{aligned} k_2 \left(\theta_{2r} - \frac{1}{r^2} h_\varphi \theta_{2\varphi} - h_z \theta_{2z} \right) - k_1 \left(\theta_{1r} - \frac{1}{r^2} h_\varphi \theta_{1\varphi} - h_z \theta_{1z} \right) = \\ = L [\varkappa \theta \nabla_{11} \cdot \mathbf{u} + \omega(\theta_t + \mathbf{u} \cdot \nabla_{11} \theta)]. \quad (14) \end{aligned}$$

Вычислим правую часть выражения (14) в локальных координатах φ, z . В декартовых координатах поверхность раздела Γ_t имеет параметризацию $\mathbf{x} = \mathbf{x}(\varphi, z, t) = (h(\varphi, z, t) \cos \varphi, h(\varphi, z, t) \sin \varphi, z)$, поэтому векторы, вообще говоря, не единичные, $\mathbf{e}'_1 = \partial \mathbf{x} / \partial \varphi = (h_\varphi \cos \varphi - h \sin \varphi, h_\varphi \sin \varphi + h \cos \varphi, 0)$, $\mathbf{e}'_2 = \partial \mathbf{x} / \partial z = (h_z \cos \varphi, h_z \sin \varphi, 1)$ суть ковариантные, касательные к Γ_t . Единичный вектор нормали \mathbf{n} в этой системе координат таков:

$$\mathbf{n} = \frac{\mathbf{e}'_1 \times \mathbf{e}'_2}{hL}, \quad L = \sqrt{1 + \frac{h_\varphi^2}{h^2} + h_z^2}.$$

Пусть n — эвклидово расстояние от точки, лежащей вне Γ_t , до этой поверхности. Поверхность Γ_t имеет непрерывную кривизну, значит, тройка чисел φ, z, n определяет координаты этих точек, по крайней мере, для достаточно малых n (вблизи Γ_t). Следовательно, оператор градиента $\nabla = \nabla_{11} + \mathbf{n}\partial/\partial n$, причём поверхностный градиент ∇_{11} записывается в виде

$$\nabla_{11} = \mathbf{e}^1\partial/\partial\varphi + \mathbf{e}^2\partial/\partial z. \quad (15)$$

Через $\mathbf{e}^1, \mathbf{e}^2$ в (15) обозначены векторы контрвариантного базиса на Γ_t : $\mathbf{e}^1 \cdot \mathbf{e}'_1 = 1$, $\mathbf{e}^2 \cdot \mathbf{e}'_2 = 1$, $\mathbf{e}^1 \cdot \mathbf{e}'_2 = 0$, $\mathbf{e}^2 \cdot \mathbf{e}'_1 = 0$. Из ранее вычисленных векторов $\mathbf{e}'_1, \mathbf{e}'_2$ и последних соотношений взаимности имеем

$$\mathbf{e}^1 = \frac{1}{h}(-\sin\varphi, \cos\varphi, 0), \quad \mathbf{e}^2 = (0, 0, 1). \quad (16)$$

Учитывая связь компонент векторов декартовой и цилиндрической систем координат $u_1 = u \cos\varphi - v \sin\varphi$, $u_2 = u \sin\varphi + v \cos\varphi$, $u_3 = w$, найдём

$$\nabla_{11} \cdot (u_1, u_2, u_3) = \mathbf{e}^1 \cdot (u_{1\varphi}, u_{2\varphi}, u_{3\varphi}) + \mathbf{e}^2 \cdot (u_{1z}, u_{2z}, u_{3z}) = \frac{u}{h} + \frac{v_\varphi}{h} + w_z,$$

$$\mathbf{u} \cdot \nabla_{11}\theta = \frac{v}{h}\theta_\varphi + w\theta_z.$$

Поэтому правая часть (14) равна

$$\varkappa\theta \left(\frac{u}{h} + \frac{v_\varphi}{h} + w_z \right) + \omega \left(\theta_t + \frac{v}{h}\theta_\varphi + w\theta_z \right). \quad (17)$$

Перейдём к выводу условий на Γ_t , когда она задана в виде $z = h_1(r, \varphi, t)$. Здесь в цилиндрической системе координат нормаль

$$\mathbf{n} = \left(h_{1r}, \frac{h_{1\varphi}}{h_1}, -1 \right) \frac{1}{L_1}, \quad L_1 = \sqrt{1 + h_{1r}^2 + \frac{h_{1\varphi}^2}{h_1^2}}, \quad (18)$$

а единичные касательные векторы равны

$$\mathbf{e}_1 = \frac{(1, 0, h_{1r})}{\sqrt{1 + h_{1r}^2}}, \quad \mathbf{e}_2 = \frac{(0, 1, h_{1\varphi}/h_1)}{\sqrt{1 + h_{1\varphi}^2/h_1^2}}. \quad (19)$$

Выпишем проекции динамического условия (5) на базис $(\mathbf{e}_1, \mathbf{e}_2, \mathbf{n})$, имея в виду выражение для средней кривизны в этом случае:

$$K = \frac{r h_{1rr} + h_{1r} + h_{1\varphi\varphi}/r}{2\sqrt{r^2 + r^2 h_{1r}^2 + h_{1\varphi}^2}}. \quad (20)$$

Умножая (5) на нормаль \mathbf{n} из (18) и учитывая, что $\nabla_{11}\sigma \cdot \mathbf{n} = 0$, получим

$$p_2 - p_1 + 2[\mu_1 D(\mathbf{u}_1) - \mu_2 D(\mathbf{u}_2)]\mathbf{n} \cdot \mathbf{n} = 2\sigma K.$$

Поскольку тензоры скоростей деформаций по-прежнему определяются формулами (6), то предыдущее равенство в развёрнутой форме примет вид

$$\begin{aligned}
p_2 - p_1 + \frac{2\mu_1}{L_1^2} \left[h_{1r}^2 u_{1r} + \frac{h_{1r} h_{1\varphi}}{h_1} \left(\frac{u_{1\varphi}}{r} + v_{1r} - \frac{v_1}{r} \right) + \right. \\
\left. + \frac{h_{1\varphi}^2}{h_1^2} \frac{1}{r} (v_{1\varphi} + u_1) - h_{1r} (w_{1r} + u_{1z}) - \frac{h_{1\varphi}}{h_1} \left(v_{1z} + \frac{w_{1\varphi}}{r} \right) + w_{1z} \right] - \\
- \frac{2\mu_2}{L_1^2} \left[h_{1r}^2 u_{2r} + \frac{h_{1r} h_{1\varphi}}{h_1} \left(\frac{u_{2\varphi}}{r} + v_{2r} - \frac{v_2}{r} \right) + \frac{h_{1\varphi}^2}{h_1^2} \frac{1}{r} (v_{2\varphi} + u_2) - \right. \\
\left. - h_{1r} (w_{2r} + u_{2z}) - \frac{h_{1\varphi}}{h_1} \left(v_{2z} + \frac{w_{2\varphi}}{r} \right) + w_{2z} \right] = 2\sigma K, \quad (21)
\end{aligned}$$

где K определяется равенством (20).

Далее нам понадобятся выражения для $\nabla_{11}\theta$ и $\nabla_{11} \cdot \mathbf{u}$. В декартовых координатах параметризация Γ_t такова: $\mathbf{x} = (r \cos \varphi, r \sin \varphi, h_1(r, \varphi, t))$, поэтому касательные (не единичные) векторы к ней есть $\mathbf{e}'_1 = \mathbf{x}_r = (\cos \varphi, \sin \varphi, h_{1r})$, $\mathbf{e}'_2 = \mathbf{x}_\varphi = (-r \sin \varphi, r \cos \varphi, h_{1\varphi})$, а взаимные (контрвариантные) векторы даются формулами $\mathbf{e}^1 = (\cos \varphi, \sin \varphi, 0)$, $\mathbf{e}^2 = (-\sin \varphi, \cos \varphi, 0)/r$. Значит, поверхностный градиент $\nabla_{11} = \mathbf{e}^1 \partial / \partial r + \mathbf{e}^2 \partial / \partial \varphi$ и

$$\begin{aligned}
\nabla_{11}\theta &= \frac{d\sigma}{d\theta} (\mathbf{e}^1 \theta_r + \mathbf{e}^2 \theta_\varphi), \quad \nabla_{11} \cdot \mathbf{u} = u_r + \frac{u}{r} + \frac{v_\varphi}{r}, \\
\mathbf{u} \cdot \nabla_{11}\theta &= u\theta_r + \frac{v}{r} \theta_\varphi.
\end{aligned} \quad (22)$$

Умножая скалярно (5) на $\mathbf{e}_1, \mathbf{e}_2$, из (19), найдём

$$\begin{aligned}
\mu_1 \left[(h_{1r}^2 - 1)(w_{1r} + u_{1z}) + \frac{h_{1r} h_{1\varphi}}{h_1} \frac{1}{r} (v_{1\varphi} + u_1) + \frac{h_{1\varphi}}{h_1} \left(\frac{u_{1\varphi}}{r} + v_{1r} - \frac{v_1}{r} \right) + \right. \\
\left. + 2h_{1r}(u_{1r} - w_{1z}) \right] - \mu_2 \left[(h_{1r}^2 - 1)(w_{2r} + u_{2z}) + \frac{h_{1r} h_{1\varphi}}{h_1} \frac{1}{r} (v_{2\varphi} + u_2) + \right. \\
\left. + \frac{h_{1\varphi}}{h_1} \left(\frac{u_{2\varphi}}{r} + v_{2r} - \frac{v_2}{r} \right) + 2h_{1r}(u_{2r} - w_{2z}) \right] = (\theta_r + h_{1r}\theta_z) \frac{d\sigma}{d\theta} L_1; \quad (23)
\end{aligned}$$

$$\begin{aligned}
\mu_1 \left[\left(\frac{h_{1\varphi}^2}{h_1^2} - 1 \right) \left(v_{1z} + \frac{w_{1\varphi}}{r} \right) + \frac{h_{1r} h_{1\varphi}}{h_1} (w_{1r} + u_{1z}) + h_{1r} \left(\frac{u_{1\varphi}}{r} + v_{1r} - \frac{v_1}{r} \right) + \right. \\
\left. + 2 \frac{h_{1\varphi}}{h_1} \left(\frac{v_{1\varphi}}{r} + \frac{u_1}{r} - w_{1z} \right) \right] - \mu_2 \left[\left(\frac{h_{1\varphi}^2}{h_1^2} - 1 \right) \left(v_{2z} + \frac{w_{2\varphi}}{r} \right) + \right. \\
\left. + \frac{h_{1r} h_{1\varphi}}{h_1} (w_{2r} + u_{2z}) + h_{1r} \left(\frac{u_{2\varphi}}{r} + v_{2r} - \frac{v_2}{r} \right) + 2 \frac{h_{1\varphi}}{h_1} \left(\frac{v_{2\varphi}}{r} + \frac{u_2}{r} - w_{2z} \right) \right] = \\
= \left(\frac{\theta_\varphi}{r} + \frac{h_{1r}}{h_1} \theta_z \right) \frac{d\sigma}{d\theta} L_1. \quad (24)
\end{aligned}$$

Условие для потоков тепла (12) с учётом формул (22) на Γ_t примет вид

$$k_2 \left(h_{1r} \theta_{2r} + \frac{h_{1\varphi}}{h_1} \theta_{2\varphi} - \theta_{2z} \right) - k_1 \left(h_{1r} \theta_{1r} + \frac{h_{1\varphi}}{h_1} \theta_{1\varphi} - \theta_{1z} \right) = \\ = L_1 \left[\alpha \theta \left(u_r + \frac{u}{r} + \frac{v_\varphi}{r} \right) + \omega \left(\theta_t + u \theta_r + \frac{v \theta_\varphi}{r} \right) \right]; \quad (25)$$

$\theta = \theta_1 = \theta_2$ на Γ_t в силу непрерывности температуры (8).

Замечание 1. В большинстве приложений зависимость поверхностного натяжения от температуры является линейной: $\sigma(\theta) = \sigma^0 - \alpha(\theta - \theta^0)$, где θ^0 — температура в некоторой точке поверхности. Согласно (13) $\omega = 0$ и в правой части условия (12) отсутствует второе слагаемое, см. также (17), (25).

Цель диссертационной работы заключается в: 1) исследовании сопряжённых задач о стационарном и нестационарном распределении тепла в конечном цилиндре; 2) изучение спектральных задач о потере устойчивости равновесия двух жидкостей в цилиндре при наличии плоской границы раздела и однослойной жидкости в цилиндрическом контейнере с верхней свободной границей, на которой задано третье краевое условие — теплообмен с окружающей средой; 3) решение обратной сопряжённой линейной задачи, описывающей осесимметрическое термокапиллярное движение при малом числе Марангони двух несмешивающихся вязких теплопроводных жидкостей в цилиндрической трубе, общая поверхность раздела которых предполагается недеформируемой и в одном случае является подвижной, а в другом — фиксированной.

Методы исследования. В данной работе для нахождения решений использовались метод разделения переменных, метод преобразования Лапласа, метод априорных оценок, а также методы общей теории обыкновенных дифференциальных уравнений.

Научная новизна. Все основные результаты диссертации являются новыми, представляют научный интерес и состоят в следующем:

- построены решения в виде рядов Фурье по функциям Бесселя для сопряжённых задач о стационарном и нестационарном распределении тепла в конечном цилиндре, когда температура на всей границе цилиндров известна; доказана сходимости построенных рядов; доказана единственность решения; указаны условия, при которых решение нестационарной задачи с ростом времени выходит на стационарный режим;
- исследованы спектральные задачи об устойчивости равновесия двух жидкостей в цилиндре при наличии границы раздела и однослойной жидкости в цилиндрическом контейнере с верхней свободной границей, на которой задан теплообмен с окружающей средой. В обоих случаях получены явные зависимости спектрального параметра от геометрии области и физических параметров жидкостей.

– получены априорные оценки обратных сопряжённых линейных задач, описывающих осесимметричное термокапиллярное движение при малом числе Марангони для двух несмешивающихся вязких теплопроводных жидкостей в цилиндрической трубе. При этом их общая поверхность раздела предполагается недеформируемой и в одном случае является подвижной, а в другом – фиксированной. Для обеих сопряжённых задач даны достаточные условия сходимости решений к стационарному режиму; во второй задаче в образах по Лапласу решение найдено в явном виде, получено стационарное решение, и приведённые тестовые расчёты для конкретных жидких сред хорошо согласуются с полученными априорными оценками.

Теоретическая и практическая значимость. Полученные результаты носят теоретический характер и представляют интерес для специалистов в области дифференциальных уравнений. Результаты также имеют практическую значимость ввиду их приложений в природных (объяснение физических явлений в зонах конвективной неустойчивости Солнца и звёзд, природы конвективных структур атмосферы и океана) и технологических (лазерный отжиг полупроводников, изготовление плёнок) процессах.

Обоснованность и достоверность полученных результатов, содержащихся в диссертации, обеспечивается использованием классических математических моделей механики вязких теплопроводных жидкостей и математических методов их исследования, а также согласованием аналитических решений и данных численных расчетов.

Перейдём к описанию структуры и содержания диссертационной работы, которая состоит из введения, четырёх основных глав и заключения. В **первой главе** исследуются задачи об осесимметричном распределении тепла для двух контактирующих цилиндров, когда температура на всей боковой границе цилиндров известна. На поверхности раздела заданы условия сопряжения: равенство температур и потоков тепла. Внутренние источники тепла отсутствуют. Система находится в состоянии покоя. В пункте 1.1 рассматривается решение стационарной задачи. Потому система (1), записанная для конкретных областей Ω_j , сводится к уравнению Лапласа: $\Delta\Theta_j = 0$. Ищется классическое решение поставленной сопряжённой линейной задачи методом разделения переменных сначала для случая, когда: 1) температура на боковой поверхности равна нулю ($T_j(z) = 0$), а на основаниях отлична от нуля ($A_j(r) \neq 0$); 2) $A_j(r) = 0$, $T_j(r) \neq 0$. И в первом и во втором случаях находится формальное решение в виде рядов. Далее формулируются условия для функций A_j , когда $T_j = 0$, а затем для T_j , когда $A_j = 0$ при которых записанные решения являются классическими. В итоге функцию A_j разлагаем в ряд Фурье по бесселевым функциям

нулевого порядка с коэффициентами a_m^j . Тогда, при выполнении условия

$$|a_m^j| \leq \frac{a^j}{\xi_m^{3+\varepsilon}},$$

где $\varepsilon > 0$, $a^j > 0$ – постоянные; ξ_m – m -й корень уравнения $J_0(\xi) = 0$, доказывается, что решение поставленной задачи является классическим. Для случая, когда $A_j = 0$, формальное решение сопряжённой задачи является классическим, если функции $T_j \in C^{s-1}(\Omega_j)$ и имеют кусочно-непрерывную производную порядка s , где $s \geq 3$.

В пункте 1.2 рассматривается решение нестационарной задачи. Аналогично, как и предыдущем параграфе, так как задача является линейной, то и поиск её решения разбивается на два этапа: 1) температура на боковой поверхности равна нулю ($T_j(z, t) = 0$), а на основаниях сосуда отлична от нуля ($A_j(r, t) \neq 0$). Решение задачи ищется в виде рядов Фурье

$$\Theta_j(r, z, t) = \sum_{m=1}^{\infty} C_m^j(z, t) J_0\left(\frac{\xi_m r}{R}\right), \quad (26)$$

с коэффициентами $C_m^j(z, t)$, определяемыми с помощью преобразования Лапласа. Заданные функции $A_j(r, t)$ разлагаются в ряды Фурье по бесселевым функциям $J_0(\xi_m r/R)$ с коэффициентами $c_m^j(t)$. Для доказательства сходимости рядов (26) подробно изучена задача для функций $C_m^j(z, t)$. В итоге доказано, что если выполняется условие $|c_m^j(t)| \leq |c^j(t)|/m^{1+s+\varepsilon}$ при $s \geq 4$, где $\varepsilon > 0$, $c^j(t) \in C^2[0, T]$ и $\|\Theta_j^0\|_{L_2([0, R] \times l_j)} < \infty$, здесь $\Theta_j^0(r, z) = \Theta_j(r, z, 0)$, $l_1 = [-h_1, 0]$ при $j = 1$ и $l_2 = [0, h_2]$ при $j = 2$, $\|\Theta_{jrr}^0\|_{L_2([0, R] \times l_j)} < \infty$, $\|\Theta_{jzz}^0\|_{L_2([0, R] \times l_j)} < \infty$, то решение поставленной задачи является классическим.

В случае, когда $A_j = 0$, а $T_j \neq 0$ выполняется замена, применив которую получаем задачу с однородными граничными условиями. Её решение подобно решению задачи сформулированной для другой функции в случае, когда $T_j = 0$, а $A_j \neq 0$. Заданные функции $T_j(z, t)$ разлагаются в ряд Фурье по $\sin(\pi m z/h_j)$ с коэффициентами $\bar{a}_m^j(t)$. В результате получаем, что решение поставленной задачи будет классическим, если выполняются следующие условия: 1) $|\bar{a}_m^j(t)| \leq |\bar{a}^j(t)|/m^{1+s_1+\varepsilon_1}$, где $\varepsilon_1 > 0$, $s_1 \geq 3/2$, $f^j(t) \in C^2([0, T])$; 2) функции $T_j(z, t)$ имеют непрерывные производные третьего порядка на l_j при $t \in [0, T]$, где $l_1 = [-h_1, 0]$, $l_2 = [0, h_2]$; 3) функции $\Theta_j^0(r, z)$, $\Theta_{jzz}^0(r, z)$ ограничены в пространстве $L_2(\Gamma)$, здесь $\Gamma = [0, R] \times l_j$.

Также в этом пункте доказывается, что решение нестационарной начально-краевой задачи с ростом времени выходит на стационарный режим, если

$$\int_0^{\infty} \|A_j^s - A_j\|_{L_2(\Gamma)} e^{\delta\tau} d\tau < \infty, \quad \int_0^{\infty} \|T_j^s - T_j\|_{L_2(l_j)} e^{\delta\tau} d\tau < \infty.$$

где $A_j^s = A(r, 0)$, $T_j^s = T_j(z, 0)$, постоянная $\delta > 0$ определяется по входным данным задачи.

Во **второй главе** исследуются спектральные задачи о потере устойчивости равновесия: 1) двух жидкостей в конечном цилиндре при наличии границы раздела (пункт 2.1); 2) однослойной жидкости в цилиндрическом контейнере конечных размеров с верхней свободной границей, на которой задан теплообмен с окружающей средой (пункт 2.2). В пункте 2.1 рассматривается цилиндрический контейнер, заполненный двумя покоящимися несмешиваемыми теплопроводными жидкостями с общей деформируемой поверхностью раздела. Боковые стенки сосуда проводимые, и на них выполняется условие просачивания жидкости, при этом общий поток жидкости через всю боковую поверхность равен нулю. Данное условие позволяет при решении задачи воспользоваться методом разделения переменных. Цилиндр нагревают снизу, и когда разность температур на основаниях контейнера достигает критического значения, то возникает движение внутри сосуда. Целью задачи является нахождение этой критической разности, а именно её зависимости от геометрии контейнера и физических параметров жидкости. Для этого и рассматривается линеаризованная на равновесном состоянии задача о малых возмущениях системы в рамках модели Обербека-Буссинеска в безразмерных переменных, решение которой ищется в виде нормальных волн. Для монотонных возмущений в случае деформируемой поверхности раздела были найдены аналитически критические числа Марангони – собственные значения краевой задачи. Эти числа прямо пропорциональны разности температур на нижнем и верхнем основании цилиндра, зависят от безразмерных физических параметров жидкостей и геометрии контейнеров:

$$M = M(\text{Ga}, \text{We}, \text{Pr}, h, \alpha, n),$$

где Ga , We , Pr — числа Галилео, Вебера и Прандтля; h — отношение высоты нижнего слоя жидкости к высоте верхнего слоя; α — отношение радиуса цилиндра к высоте нижнего слоя жидкости; n — номер корня уравнения $J_0(\delta) = 0$. Так как полученная формула, выражающая данную зависимость, имеет громоздкий вид, то для удобства рассматриваются конкретные жидкости: трансформаторное масло, муравьиная кислота, для которых найдены численные результаты, выражающие зависимость числа Марангони от безразмерных физических параметров жидкостей и геометрии контейнеров. Также отдельно разобран случай, когда система находится в условии невесомости.

В пункте 2.2 задача решается аналогичным образом, как и в предыдущем параграфе. В результате также получена зависимость числа Марангони от физических параметров жидкости и геометрии контейнера для случаев, когда $g \neq 0$ и когда $g = 0$. Доказано, что если радиус цилиндра и номер корня функции Бесселя устремить к бесконечности по специальному закону, то выражение, полученное для M совпадёт с числом Марангони для бесконечного слоя,

приведённого в [52].

Глава 3 посвящена исследованию одного частично инвариантного решения ранга два и дефекта два уравнения, описывающего осесимметрическое движение вязкой теплопроводной жидкости, построенного на четырёхмерной подалгебре Ли $G_4 = \langle \partial_z, \partial_w + t\partial_z, \partial_p, \partial_\theta \rangle$, допускаемой системой уравнений (1). Оно интерпретируется как двухслойное движение вязких теплопроводных жидкостей в цилиндре с твёрдой стенкой и общей подвижной недеформируемой поверхностью раздела. Таким образом, частично инвариантное решение ищется в виде

$$u_j = u_j(r, t), \quad w_j = zv_j(r, t), \quad p_j = d_j(r, t) - \frac{f_j(t)}{2}z^2, \\ \theta_j = a_j(r, t)z^2 + b_j(r, t).$$

Начально – краевая задача для функций $v_j(r, t)$, $a_j(r, t)$, $h(z, t)$ (функция поверхности раздела) является нелинейной и обратной, так как функции $f_j(t)$ являются искомыми. Функции $u_j(r, t)$, $b_j(r, t)$, $d_j(r, t)$ определяются по известным $v_j(r, t)$, $a_j(r, t)$, $f_j(r, t)$, $h(z, t)$. Переходя к безразмерным переменным, в уравнениях при нелинейных слагаемых и в кинематических условиях при линейных членах, содержащих скорости, появится сомножитель в виде числа Марангони (М). Проектируя динамические условия на нормали и переходя к безразмерным параметрам в правых частях появятся числа Вебера (We). Предполагая, что $M \ll 1$ (ползущее термокапиллярное движение), а также $We \gg 1$ задача заменяется линейной. Также предполагается, что в начальный момент времени поверхность раздела была круглым цилиндром.

В пунктах 3.2, 3.3 получены априорные оценки для решений $a_j(r, t)$, $v_j(r, t)$, $f_j(t)$ поставленных задач, равномерные на своих областях определения, и в пункте 3.4 показано, что если выполняется ряд условий, то данные функции с ростом времени экспоненциально стремятся к нулю.

В **четвёртой главе** исследуемая задача отличается от задачи рассматриваемой в предыдущей главе тем, что здесь поверхность раздела между двумя несмешивающимися вязкими теплопроводными жидкостями является фиксированной. В результате чего в постановке задачи для функции $v_j(r, t)$ изменится условие на поверхности раздела. Кроме того, здесь начальные данные считаются ненулевыми. Задача для $a_j(r, t)$ записывается аналогичным образом как и в предыдущей главе. В пункте 4.2 найдено стационарное решение. В пункте 4.3 получены априорные оценки решений $v_j(r, t)$, $f_j(t)$ и показано, что данные функции с ростом времени равномерно стремятся к нулю. В изображениях по Лапласу получены точные решения нестационарных задач для функций $a_j(r, t)$, $v_j(r, t)$, $f_j(t)$. В пункте 4.5 сформулированы условия, при которых данные решения с ростом времени стремятся к стационарному.

Основные результаты работы сформулированы в виде 7 теорем и 17 лемм.

Заключение содержит результаты и выводы проделанной работы.

На защиту выносятся следующие положения:

1. Решение задач о стационарном и нестационарном распределении тепла для двух контактирующих цилиндров, когда температура на всей границе цилиндров известна. Доказательство единственности решений. Построение решений в виде рядов, доказательство их сходимости. Доказательство того факта, что при некоторых условиях, задаваемых для температуры на всей границе цилиндра, решение нестационарной задачи с ростом времени выходит на стационарный режим.

2. Решение спектральной задачи об устойчивости равновесия: 1) двух жидкостей в цилиндре при наличии границы раздела; 2) однослойной жидкости в цилиндрическом контейнере с верхней свободной границей, на которой задан теплообмен с окружающей средой. В обоих случаях получение явной зависимости критического числа Марангони от геометрических параметров сосуда и физических параметров жидкостей.

3. Решение линейных задач о термокапиллярном движении двух несмешивающихся вязких теплопроводных жидкостей в цилиндрической трубе, когда их общая поверхность раздела недеформируема и: 1) подвижная; 2) фиксированная. Нахождение стационарного решения второй задачи. Определение априорных оценок обеих задач и формулировка достаточных условий сходимости решений к стационарному режиму. Получение в образах по Лапласу решения второй задачи в явном виде.

Апробация работы. Результаты диссертационной работы докладывались на следующих конференциях, семинарах:

- XLIII Краевая научная студенческая конференция по математике и компьютерным наукам, Красноярск, 2010;
- XI Всероссийская конференция молодых учёных по математическому моделированию и информационным технологиям, Красноярск, 2010;
- XLIX Международная научная студенческая конференция “Студент и научно-технический прогресс”, Новосибирск, 2011;
- VIII Всероссийская научно-техническая конференция студентов, аспирантов и молодых ученых “Молодежь и наука” (Красноярск, 2012);
- L Международная научная студенческая конференция “Студент и научно-технический прогресс”, Новосибирск, 2012;
- Научная конференция Герценовские чтения – 2013 “Некоторые актуальные проблемы современной математики и математического образования”, С.-Петербург, 2013;

- Международная научная конференция “Информационно – вычислительные технологии и математическое моделирование”, Кемерово, 2013;
- V Всероссийская конференция с участием зарубежных учёных “Задачи со свободными границами: теория, эксперимент и приложения”, Бийск, 2014;
- Конференция молодых учёных математическому моделированию и информационным технологиям ИВМ СО РАН, Красноярск, 2015;
- Международная конференция “Дифференциальные уравнения и математическое моделирование”, Улан-Удэ - Байкал, 2015;
- Семинар Института Вычислительного моделирования СО РАН "Математическое моделирование в механике" под руководством профессора В. К. Андреева;
- Семинар Института математики и фундаментальной информатики сибирского федерального университета "Обратные задачи" под руководством профессора Ю. Я. Белова, кафедра математического анализа и дифференциальных уравнений.

Публикации. Основные результаты диссертационной работы опубликованы в работах [28] - [38], [62].

Автор выражает благодарность своему научному руководителю д. ф. – м. н., профессору В. К. Андрееву за постановку задачи, помощь и ценные советы при работе над диссертацией.

Результаты диссертации получены в рамках интеграционного проекта СО РАН №38 и проектов РФФИ № 11-01-00283, № 14-01-00067.

1 Решение задач о распределении тепла для двух контактирующих цилиндров

В этой главе исследуются задачи о стационарном и нестационарном распределении тепла для двух контактирующих цилиндров, когда температура на всей боковой границе цилиндров известна. На поверхности раздела заданы условия сопряжения: равенство температур и потоков тепла. Доказана единственность решения. Построены решения в виде рядов Фурье по функциям Бесселя, доказана их сходимость. Указаны условия, при которых решение нестационарной задачи с ростом времени выходит на стационарный режим.

1.1 Стационарное решение

Пусть в сосуде цилиндрической формы находятся две покоящиеся жидкости, которые образуют общую поверхность раздела (рисунок 1). Рассмотрим осесимметрический случай. Обозначим через $\Theta_j(r, z)$ — стационарное распределение температур в области Ω_j , $j = 1, 2$ ($\Omega_1 = (0, R) \times (-h_1, 0)$, $\Omega_2 = (0, R) \times (0, h_2)$). Внутренние источники тепла отсутствуют. Так как система находится

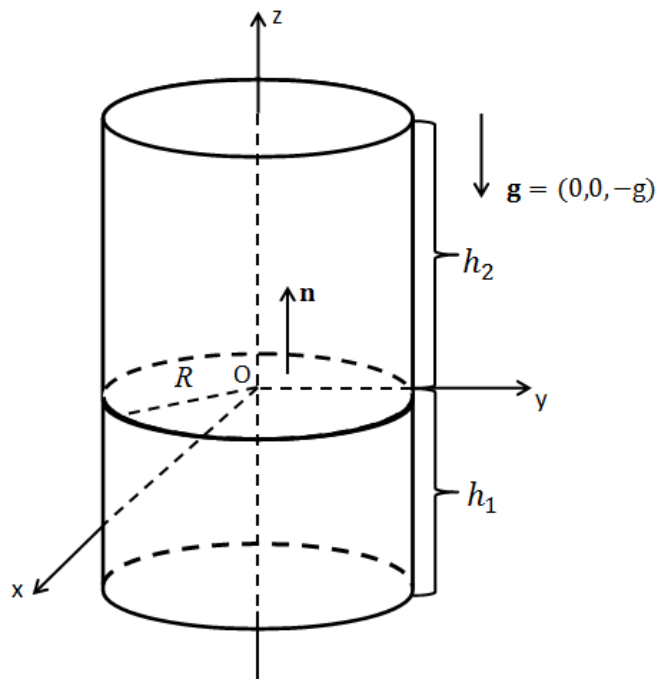


Рисунок 1. Схема области решения

в состоянии покоя ($\mathbf{u}_j = 0$, \mathbf{u}_j — вектор скорости) и рассматривается осесимметрический случай, то система (1) введения сводится к уравнению Лапласа

$$\Delta\Theta_j = \frac{\partial^2\Theta_j}{\partial r^2} + \frac{1}{r}\frac{\partial\Theta_j}{\partial r} + \frac{\partial^2\Theta_j}{\partial z^2} = 0. \quad (1.1.1)$$

Граничные условия таковы ($k_1 \neq k_2$ — коэффициенты теплопроводности сред):

$$\begin{aligned} \Theta_1(r, -h_1) &= A_1(r), & \Theta_2(r, h_2) &= A_2(r), \\ \Theta_j(R, z) &= T_j(z), \end{aligned} \quad (1.1.2)$$

$$\Theta_1(r, 0) = \Theta_2(r, 0), \quad k_1 \frac{\partial\Theta_1}{\partial z}(r, 0) = k_2 \frac{\partial\Theta_2}{\partial z}(r, 0).$$

Первые три из них означают, что на всей поверхности цилиндра задана температура, а четвертое и пятое — равенство температур и потоков тепла на поверхности контакта (раздела двух сред) $z = 0$. Заметим, что для непрерывности такого решения должны быть выполнены условия согласования

$$\begin{aligned} T_1(-h_1) &= A_1(R), & T_2(h_2) &= A_2(R), \\ T_1(0) &= T_2(0), & k_1 \frac{\partial T_1}{\partial z}(0) &= k_2 \frac{\partial T_2}{\partial z}(0). \end{aligned} \quad (1.1.3)$$

Предположим, что функции $A_j(r)$ непрерывны при $r \in [0, R]$, $T_1(z)$, $T_2(z)$ непрерывны при $z \in [-h_1, 0]$ и $z \in [0, h_2]$ соответственно и имеют производные в точке $z = 0$ согласно последнему равенству (1.1.3). Ищется классическое решение сопряжённой задачи (1.1.1), (1.1.2) $\Theta_j(r, z) \in C^2(\Omega_j) \cap C^1(S_j)$, где $S_1 = S_{11} \cup S_{12} \cup \Gamma$, $S_2 = S_{21} \cup S_{22} \cup \Gamma$, причём $S_{11} = \{r, z \mid 0 \leq r \leq R, z = -h_1\}$, $S_{12} = \{r, z \mid r = R, -h_1 \leq z \leq 0\}$, $\Gamma = \{r, z \mid 0 \leq r \leq R, z = 0\}$, $S_{21} = \{r, z \mid 0 \leq r \leq R, z = h_2\}$, $S_{22} = \{r, z \mid r = R, 0 \leq z \leq h_2\}$.

Имеет место

Лемма 1.1.1. Классическое решение задачи (1.1.1), (1.1.2), если оно существует, определяется единственным образом.

Доказательство. Пусть имеется два решения нашей задачи Θ_j^1 и Θ_j^2 с теми же граничными значениями $A_j(r)$, $T_j(z)$. Тогда их разность $\bar{\Theta}_j = \Theta_j^1 - \Theta_j^2$ удовлетворяет уравнениям (1.1.1), но уже с нулевыми тремя условиями (1.1.2). Умножим уравнения (1.1.1) на $k_j \bar{\Theta}_j$, затем проинтегрируем их по областям Ω_j и результаты сложим. Пользуясь теоремой Гаусса-Остроградского и всеми граничными данными вида (1.1.2) с $A_j = 0$, $T_j = 0$, получим

$$k_1 \int_{\Omega_j} |\nabla \bar{\Theta}_1|^2 d\Omega_1 + k_2 \int_{\Omega_2} |\nabla \bar{\Theta}_2|^2 d\Omega_2 = 0, \quad (\nabla \bar{\Theta}_j = (\bar{\Theta}_{jr}, \bar{\Theta}_{jz}))$$

откуда и следует, что $\bar{\Theta}_j = 0$ в Ω_j .

Решение задачи в случае нулевой температуры на боковых стенках

Поскольку поставленная задача является линейной, будем сначала искать её решение при $T_j(z) \equiv 0$ методом разделения переменных. Разложим функции $A_j(r)$, ($A_j(R) = 0$) в ряд Фурье по бesselевым функциям нулевого порядка $J_0(\xi_m r/R)$, ξ_m — m -й корень уравнения $J_0(\xi) = 0$ [18], при $m \gg 1$ $\xi_m \approx m\pi$ [16],

$$A_j(r) = \sum_{m=1}^{\infty} a_m^j J_0\left(\frac{\xi_m r}{R}\right), \quad (1.1.4)$$

здесь a_m^j — постоянные. Требования на гладкость A_j будут формулироваться по мере надобности.

Легко проверить, что формальное решение сопряжённой задачи (1.1.1), (1.1.2) в этом случае имеет вид

$$\begin{aligned} \Theta_1(r, z) &= \sum_{m=1}^{\infty} \frac{J_0\left(\frac{\xi_m r}{R}\right)}{\Delta_m} \left[a_m^1 \left(k \operatorname{sh}\left(\frac{\xi_m h_2}{R}\right) \operatorname{ch}\left(\frac{\xi_m z}{R}\right) - \right. \right. \\ &\quad \left. \left. - \operatorname{sh}\left(\frac{\xi_m z}{R}\right) \operatorname{ch}\left(\frac{\xi_m h_2}{R}\right) \right) + a_m^2 \operatorname{sh}\left(\frac{\xi_m (h_1 + z)}{R}\right) \right], \\ \Theta_2(r, z) &= \sum_{m=1}^{\infty} \frac{J_0\left(\frac{\xi_m r}{R}\right)}{\Delta_m} \left[a_m^2 \left(\operatorname{sh}\left(\frac{\xi_m h_1}{R}\right) \operatorname{ch}\left(\frac{\xi_m z}{R}\right) + \right. \right. \\ &\quad \left. \left. + k \operatorname{sh}\left(\frac{\xi_m z}{R}\right) \operatorname{ch}\left(\frac{\xi_m h_1}{R}\right) \right) + a_m^1 k \operatorname{sh}\left(\frac{\xi_m (h_2 - z)}{R}\right) \right], \end{aligned} \quad (1.1.5)$$

$$\Delta_m = k \operatorname{ch}\left(\frac{\xi_m h_1}{R}\right) \operatorname{sh}\left(\frac{\xi_m h_2}{R}\right) + \operatorname{ch}\left(\frac{\xi_m h_2}{R}\right) \operatorname{sh}\left(\frac{\xi_m h_1}{R}\right), \quad k = k_1/k_2. \quad (1.1.6)$$

Докажем, что решение (1.1.5) задачи (1.1.1), (1.1.2) является классическим решением. Согласно [54], ряды для функций $A_{jr}^{(s)}$ $s = 0, 1, 2$ сходятся одновременно абсолютно и равномерно на $[0, R]$, если при $m \gg 1$

$$|a_m^j| \leq \frac{a^j}{(\xi_m)^{3+\varepsilon}} \quad (1.1.7)$$

где $\varepsilon > 0$ и $a^j > 0$ — постоянные. Что касается ряда для функций $r^{-1}A_{jr}$, то, так как $J_0'(x) = -J_1(x)$ [16], он также будет сходиться абсолютно и равномерно на $[0, R]$, если выполняется условие (1.1.7).

Поскольку в области Ω_1 $-h_1 \leq z \leq 0$, то $z + h_2 \leq h_2$ и $h_1 + z \leq h_1$, кроме того $\operatorname{sh}(\xi_m h_j/R) / \operatorname{sh}(\xi_m (h_1 + h_2)/R) \leq 1$ и из (1.1.6) получаем, что $\Delta_m \geq \min(1, k) \operatorname{sh}(\xi_m (h_1 + h_2)/R)$, то тогда из (1.1.5) для $|\Theta_1|$ имеем оценку:

$$|\Theta_1| \leq \frac{\max(1, k)}{\min(1, k)} \sum_{m=1}^{\infty} |J_0\left(\frac{\xi_m r}{R}\right)| (|a_m^1| + |a_m^2|) \leq \frac{\max(1, k)}{\min(1, k)} (|A_1| + |A_2|). \quad (1.1.8)$$

Аналогично получим, что

$$\begin{aligned} |\Theta_{1rr}| &\leq \frac{\max(1, k)}{\min(1, k)} (|A_{1rr}| + |A_{2rr}|), \\ |r^{-1}\Theta_{1r}| &\leq \frac{\max(1, k)}{\min(1, k)} (|r^{-1}A_{1r}| + |r^{-1}A_{2r}|). \end{aligned} \quad (1.1.9)$$

Поэтому ряды для функций Θ_1 , Θ_{1rr} , $r^{-1}\Theta_{1r}$ сходятся абсолютно и равномерно на $[0, R]$ при $\varepsilon > 0$ и постоянной $a^j > 0$, если справедливо условие (1.1.7).

Поскольку

$$\left| \frac{\partial^2 \Theta_1}{\partial z^2} \right| \leq \frac{\max(1, k)}{\min(1, k)} \sum_{m=1}^{\infty} \xi_m^2 |J_0\left(\frac{\xi_m r}{R}\right)| (|a_m^1| + |a_m^2|), \quad (1.1.10)$$

то совершенно очевидно, что ряд для функций Θ_{1zz} также сходится абсолютно и равномерно на $[0, R]$, если выполняется условие (1.1.7).

Таким образом, нами доказана:

Лемма 1.1.2.: Ряды для функций Θ_1 , Θ_{1rr} , $r^{-1}\Theta_{1r}$, Θ_{1zz} сходятся абсолютно и равномерно на $[0, R]$, если справедливо условие (1.1.7).

Аналогичные рассуждения проводятся и для ряда функций $\Theta_2(r, z)$. Отсюда следует, что решение (1.1.5) задачи (1.1.1), (1.1.2), для случая, когда $A_j(r) \neq 0$, $T_j(z) = 0$ является классическим. Поэтому $\Theta_j(r, z) \in C^2(\Omega_j) \cap C^1(S_j)$.

Решение задачи в случае нулевой температуры на основаниях цилиндра

Теперь будем искать решение задачи (1.1.1), (1.1.2), когда $A_j(r) = 0$, а $T_j(z) \neq 0$. В этом случае воспользуемся решением уравнений (1.1.1) для конечных цилиндров [45]. Для осесимметрического случая оно записывается в виде

$$\begin{aligned} \Theta_1(r, z) &= - \sum_{n=1}^{\infty} \frac{I_0\left(\frac{\pi n r}{h_1}\right)}{I_0\left(\frac{\pi n R}{h_1}\right)} C_{1n} \sin \frac{\pi n z}{h_1} + \sum_{m=1}^{\infty} J_0\left(\frac{\xi_m r}{R}\right) D_{1m} \frac{\text{sh}\left(\frac{\xi_m (h_1 + z)}{R}\right)}{\text{sh}\left(\frac{\xi_m h_1}{R}\right)}, \\ \Theta_2(r, z) &= \sum_{n=1}^{\infty} \frac{I_0\left(\frac{\pi n r}{h_2}\right)}{I_0\left(\frac{\pi n R}{h_2}\right)} C_{2n} \sin \frac{\pi n z}{h_2} + \sum_{m=1}^{\infty} J_0\left(\frac{\xi_m r}{R}\right) D_{2m} \frac{\text{sh}\left(\frac{\xi_m (h_2 - z)}{R}\right)}{\text{sh}\left(\frac{\xi_m h_2}{R}\right)}, \end{aligned} \quad (1.1.11)$$

с неизвестными постоянными C_{jn} , D_{jm} , которые находятся из граничных условий (1.1.2). Разложим функции $T_j(z)$ в ряд Фурье по функциям синуса $\sin(\pi n z/h_j)$

$$T_1(z) = - \sum_{n=1}^{\infty} C_{1n} \sin \frac{\pi n z}{h_1}, \quad T_2(z) = \sum_{n=1}^{\infty} C_{2n} \sin \frac{\pi n z}{h_2},$$

откуда

$$C_{1n} = -\frac{1}{h_1} \int_{-h_1}^0 T_1(z) \sin \frac{\pi n z}{h_1} dz, \quad C_{2n} = \frac{1}{h_2} \int_0^{h_2} T_2(z) \sin \frac{\pi n z}{h_2} dz. \quad (1.1.12)$$

Из равенства температур при $z = 0$ (четвёртое условие из (1.1.2)) получаем, что $D_{1m} = D_{2m}$. Тогда из равенства потоков тепла (пятое условие из (1.1.2))

$$\begin{aligned} \pi \left[\frac{k}{h_1} \sum_{n=1}^{\infty} \frac{n C_{1n}}{I_0\left(\frac{\pi n R}{h_1}\right)} I_0\left(\frac{\pi n r}{h_1}\right) + \frac{1}{h_2} \sum_{n=1}^{\infty} \frac{n C_{2n}}{I_0\left(\frac{\pi n R}{h_2}\right)} I_0\left(\frac{\pi n r}{h_2}\right) \right] = \\ = \frac{1}{R} \sum_{m=1}^{\infty} D_{1m} \xi_m q_m J_0\left(\frac{\xi_m r}{R}\right), \end{aligned} \quad (1.1.13)$$

где

$$q_m = k \operatorname{cth} \left(\frac{\xi_m h_1}{R} \right) + \operatorname{cth} \left(\frac{\xi_m h_2}{R} \right). \quad (1.1.14)$$

Разложим в ряд Фурье по функциям Бесселя функцию $I_0(\pi n r/h_j)$ при $0 \leq r < R$ [16]

$$I_0\left(\frac{\pi n r}{h_j}\right) = \sum_{m=1}^{\infty} d_{jm} J_0\left(\frac{\xi_m r}{R}\right),$$

где [46]

$$\begin{aligned} d_{jm} &= \frac{2}{R^2 J_1^2(\xi_m)} \int_0^R r I_0\left(\frac{\pi n r}{h_j}\right) J_0\left(\frac{\xi_m r}{R}\right) dr = \\ &= \frac{2 h_j^2 \xi_m}{(h_j^2 \xi_m^2 + \pi^2 n^2 R^2) J_1(\xi_m)} I_0\left(\frac{\pi n R}{h_j}\right). \end{aligned} \quad (1.1.15)$$

Теперь равенство (1.1.13) примет вид

$$\begin{aligned} 2\pi \sum_{m=1}^{\infty} \frac{\xi_m}{J_1(\xi_m)} \left[\sum_{n=1}^{\infty} n \left(\frac{k h_1 C_{1n}}{(h_1^2 \xi_m^2 + \pi^2 n^2 R^2) J_1(\xi_m)} + \right. \right. \\ \left. \left. + \frac{h_2 C_{2n}}{(h_2^2 \xi_m^2 + \pi^2 n^2 R^2) J_1(\xi_m)} \right) \right] J_0\left(\frac{\xi_m r}{R}\right) = \frac{1}{R} \sum_{m=1}^{\infty} D_{1m} \xi_m q_m J_0\left(\frac{\xi_m r}{R}\right). \end{aligned} \quad (1.1.16)$$

Тогда

$$D_{1m} = D_{2m} = \frac{2\pi R}{q_m J_1(\xi_m)} (kH_{1m} + H_{2m}), \quad (1.1.17)$$

здесь

$$H_{jm} = \sum_{n=1}^{\infty} \frac{h_j n C_{jn}}{(h_j^2 \xi_m^2 + \pi^2 n^2 R^2)}. \quad (1.1.18)$$

Таким образом, мы получили формальное решение задачи (1.1.1), (1.1.2) в виде рядов (1.1.11) с коэффициентами (1.1.12), (1.1.17), (1.1.18). Докажем, что полученное решение является классическим.

Рассмотрим ряд для функции $\Theta_1(r, z)$. Ранее было отмечено, что в области Ω_1 $-h_1 \leq z \leq 0$, то $z + h_2 \leq h_2$ и $h_1 + z \leq h_1$. Кроме того $|\sin(\pi n z / h_1)| \leq 1$, а также $\text{sh}(\xi_m(h_1 + z)/R) / \text{sh}(\xi_m h_1/R) \leq 1$. Тогда оценка по модулю ряда для функций $\Theta_1(r, z)$, определяемого формулой (1.1.11) имеет вид

$$|\Theta_1| \leq \sum_{n=1}^{\infty} \frac{\left| I_0\left(\frac{\pi n r}{h_1}\right) \right|}{\left| I_0\left(\frac{\pi n R}{h_1}\right) \right|} |C_{1n}| + \sum_{m=1}^{\infty} \left| J_0\left(\frac{\xi_m r}{R}\right) \right| |D_{1m}|. \quad (1.1.19)$$

Известно, что [16] при $x \gg 1$ для $I_0(x)$ имеет место асимптотическая формула $I_0(x) \approx (2\pi x)^{-1/2} e^x$. Поэтому, так как $0 \leq r \leq R$, то $I_0(\pi n r / h_1) / I_0(\pi n R / h_1) \leq 1$. Для функции Бесселя справедливо неравенство [16],

$$|J_p(z)| \leq \frac{|z/2|^p e^{|\text{Im}z|}}{\Gamma(p+1)}, \quad p \geq -1/2, \quad \Gamma - \text{гамма-функция}. \quad (1.1.20)$$

Тогда в нашем случае $|J_0(\xi_m r / R)| \leq 1$. Согласно лемме [24], если функции $T_1(z)$ на $[-h_1, 0]$ и $T_2(z)$ на $[0, h_2]$ имеют непрерывные производные до порядка $s - 1$ включительно и кусочно-непрерывную производную порядка s ($s \geq 1$), причём $T_1^{(i)}(-h_1) = T_1^{(i)}(0)$, $T_2^{(i)}(0) = T_2^{(i)}(h_2)$, $i = 0, \dots, s - 1$, то тогда для коэффициентов C_{jn} выполняется следующее условие

$$|C_{jn}| \leq \frac{\varepsilon_j}{n^s}, \quad n = 1, 2, \dots, \quad (1.1.21)$$

где $\varepsilon_j > 0$.

Из (1.1.14) имеем $|q_m| \geq \min(1, k) \text{cth}(\xi_m z_1 / R) \geq \min(1, k)$, где $z_1 = \max(h_1, h_2)$. Таким образом, с учётом выше сказанного, формулы (1.1.18), асимптотической формулы для функции Бесселя, получаем при $m \gg 1$

$$|D_{jm}| \approx \frac{2\pi^{3/2} R \xi_m^{1/2}}{\min(1, k)} \sum_{n=1}^{\infty} \left(\left| \frac{k h_1 \varepsilon_1}{n^{s-1} (h_1^2 \xi_m^2 + \pi^2 n^2 R^2)} \right| + \left| \frac{h_2 \varepsilon_2}{n^{s-1} (h_2^2 \xi_m^2 + \pi^2 n^2 R^2)} \right| \right). \quad (1.1.22)$$

Используя (1.1.20) - (1.1.22), получим, что ряд (1.1.19) сходится, если сходится ряд

$$\sum_{n=1}^{\infty} \left[\frac{\varepsilon_1}{n^s} + \sum_{m=1}^{\infty} \frac{2\pi^{3/2} R \xi_m^{1/2}}{\min(1, k)} \left(k \left| \frac{h_1 \varepsilon_1}{n^{s-1} (h_1^2 \xi_m^2 + \pi^2 n^2 R^2)} \right| + \left| \frac{h_2 \varepsilon_2}{n^{s-1} (h_2^2 \xi_m^2 + \pi^2 n^2 R^2)} \right| \right) \right]. \quad (1.1.23)$$

Так как, при $m \gg 1$ имеем $\xi_m \approx m\pi$ [16], то найдутся такие m_0 и n_0 , что при $m > m_0$, $n > n_0$ и $s > 2$ модуль разности между частичной суммой ряда (1.1.23) и самой суммой этого ряда есть малая величина. Таким образом, по определению [19] сам ряд (1.1.23) сходится. Тогда по признаку Вейерштрасса [19] исходный ряд для функции $\Theta_1(r, z)$ сходится абсолютно и равномерно, если справедливо условие (1.1.21) при $s > 2$. Рассмотрим теперь ряд для функции Θ_{1zz}

$$\Theta_{1zz} = \frac{\pi^2}{h_1^2} \sum_{n=1}^{\infty} \frac{n^2 I_0 \left(\frac{\pi n r}{h_1} \right)}{I_0 \left(\frac{\pi n R}{h_1} \right)} C_{1n} \sin \frac{\pi n z}{h_1} + \frac{1}{R^2} \sum_{m=1}^{\infty} \xi_m^2 J_0 \left(\frac{\xi_m r}{R} \right) D_{1m} \frac{\text{sh} \left(\frac{\xi_m (h_1 + z)}{R} \right)}{\text{sh} \left(\frac{\xi_m h_1}{R} \right)}. \quad (1.1.24)$$

Известно, что при больших x имеем $\text{sh} x \approx e^x$. Значит при $m \gg 1$ получим, что $|\text{sh}(\xi_m(h_1 + z)/R)| / |\text{sh}(\xi_m h_1/R)| \leq e^{m\pi z/R}$. Тогда ряд для $|\partial^2 \Theta_1 / \partial z^2|$ сходится, если сходится ряд

$$\sum_{n=1}^{\infty} \left[\frac{\varepsilon_1}{n^{s-2}} + \sum_{m=1}^{\infty} \frac{2\pi^{3/2} R m^{3/2}}{\min(1, k)} e^{m\pi z/R} \left(k \left| \frac{h_1 \varepsilon_1}{n^{s-1} (h_1^2 m^2 + \pi^2 n^2 R^2)} \right| + \left| \frac{h_2 \varepsilon_2}{n^{s-1} (h_2^2 m^2 + \pi^2 n^2 R^2)} \right| \right) \right]. \quad (1.1.25)$$

Так как $-h_1 \leq z \leq 0$, то ряд (1.1.25) сходится по определению при $s > 3$. Значит, ряд для функции Θ_{1zz} сходится по признаку Вейерштрасса абсолютно и равномерно если справедливо условие (1.1.21) при $s > 3$.

Далее, с учётом рекуррентных формул для функций $J_p(x)$ и $I_p(x)$, $p = 0, 1$ — порядок функций, ряд для Θ_{1rr} имеет вид

$$\Theta_{1rr} = \frac{\pi^2}{2h_1^2} \sum_{n=1}^{\infty} \frac{n^2 C_{1n}}{I_0 \left(\frac{\pi n R}{h_1} \right)} \left[I_0 \left(\frac{\pi n r}{h_1} \right) + I_2 \left(\frac{\pi n r}{h_1} \right) \right] \sin \frac{\pi n z}{h_1} + \frac{1}{R} \sum_{m=1}^{\infty} D_{1m} \xi_m \left[\frac{1}{r} J_1 \left(\frac{\xi_m r}{R} \right) - \frac{\xi_m}{R} J_0 \left(\frac{\xi_m r}{R} \right) \right] \frac{\text{sh} \left(\frac{\xi_m (h_1 + z)}{R} \right)}{\text{sh} \left(\frac{\xi_m h_1}{R} \right)}. \quad (1.1.26)$$

Используя неравенство (1.1.20), получим

$$\left| \frac{1}{r} J_1 \left(\frac{\xi_m r}{R} \right) - \frac{\xi_m}{R} J_0 \left(\frac{\xi_m r}{R} \right) \right| \leq \frac{3}{2} \frac{\xi_m}{R}.$$

Так как асимптотическая формула для модифицированных функций Бесселя не зависит от порядка самих функций, то при $n \gg 1$

$$\frac{\left| I_0\left(\frac{\pi nr}{h_1}\right) \right| + \left| I_2\left(\frac{\pi nr}{h_1}\right) \right|}{I_0\left(\frac{\pi nR}{h_1}\right)} \leq 2.$$

Тогда, чтобы ряд для $|\Theta_{1rr}|$ сходился, если сходится ряд (1.1.25). Значит ряд (1.1.26) по признаку Вейерштрасса сходится абсолютно и равномерно, выполнено условие (1.1.21) при $s > 3$.

Теперь рассмотрим ряд для функций $r^{-1}\Theta_{1r}$

$$\frac{1}{r}\Theta_{1r} = -\frac{\pi}{h_1} \sum_{n=1}^{\infty} \frac{nI_1\left(\frac{\pi nr}{h_1}\right)}{rI_0\left(\frac{\pi nR}{h_1}\right)} C_{1n} \sin \frac{\pi nz}{h_1} - \frac{1}{R} \sum_{m=1}^{\infty} D_{1m} \frac{\xi_m}{r} J_1\left(\frac{\xi_m r}{R}\right) \frac{\operatorname{sh}\left(\frac{\xi_m(h_1+z)}{R}\right)}{\operatorname{sh}\left(\frac{\xi_m h_1}{R}\right)} \quad (1.1.27)$$

Для доказательства абсолютной и равномерной сходимости данного ряда воспользуемся неравенством (1.1.20), асимптотической формулой для модифицированной функции Бесселя и неравенством: $I_1(x) \leq xI_0(x)/2$, $x \geq 0$. Тогда, учитывая, что $0 \leq r \leq R$, получаем

$$\frac{\left| I_1\left(\frac{\pi nr}{h_1}\right) \right|}{\left| rI_0\left(\frac{\pi nR}{h_1}\right) \right|} \leq \frac{\pi n}{2h_1}, \quad \left| \frac{1}{r} J_1\left(\frac{\xi_m r}{R}\right) \right| \leq \frac{\xi_m}{2R}. \quad (1.1.28)$$

Отсюда видно, что ряд (1.1.27) для $|r^{-1}\partial\Theta_1/\partial r|$ сходится, если сходится ряд (1.1.25). Тогда по признаку Вейерштрасса, если выполняется условие (1.1.21) при $s > 3$, ряд (1.1.27) сходится абсолютно и равномерно.

Нами доказана

Лемма 1.1.3. Ряды для функций Θ_1 , Θ_{1rr} , $r^{-1}\Theta_{1r}$, Θ_{1zz} сходятся абсолютно и равномерно, если функция $T_1(z) \in C^{s-1}(\Omega_1)$ и имеет кусочно-непрерывную производную порядка s , где $s > 3$.

Аналогичные рассуждения проводятся и для ряда функций $\Theta_2(r, z)$. Отсюда следует, что решение (1.1.11) задачи (1.1.1), (1.1.2) для случая, когда $A_j(r) = 0$, $T_j(z) \neq 0$ является классическим.

Таким образом доказана

Теорема 1.1.1. Формальное решение (1.1.5) сопряжённой задачи (1.1.1), (1.1.2) для случая, когда $A_j(r) \neq 0$, $T_j(z) = 0$ является классическим, если выполняется условие (1.1.7). Если $A_j(r) = 0$, $T_j(z) \neq 0$, то формальное решение сопряжённой задачи (1.1.1), (1.1.2) имеет вид (1.1.11) и является классическим, если функции $T_j(z) \in C^{s-1}(\Omega_j)$ и имеют кусочно-непрерывную производную порядка s , где $s > 3$.

1.2 Решение нестационарной задачи

В покоящейся жидкой среде температурное поле может быть нестационарным за счёт молекулярного переноса тепла и нестационарных граничных условий. Рассмотрим осесимметрический случай и пусть, как и в пункте 1.1 жидкости покоятся ($\mathbf{u}_j = 0$) (рисунок 1), $p_j = \text{const}$, а поля температур в своих областях определения Ω_1 и Ω_2 удовлетворяют уравнениям теплопроводности

$$\frac{\partial \Theta_j}{\partial t} = \chi_j \left(\frac{\partial^2 \Theta_j}{\partial r^2} + \frac{1}{r} \frac{\partial \Theta_j}{\partial r} + \frac{\partial^2 \Theta_j}{\partial z^2} \right). \quad (1.2.1)$$

Граничные условия имеют вид

$$\begin{aligned} \Theta_1(r, -h_1, t) &= A_1(r, t), & \Theta_2(r, h_2, t) &= A_2(r, t), \\ \Theta_1(r, 0, t) &= \Theta_2(r, 0, t), & k_1 \frac{\partial \Theta_1}{\partial z}(r, 0, t) &= k_2 \frac{\partial \Theta_2}{\partial z}(r, 0, t), \\ \Theta_1(R, z, t) &= T_1(z, t), & -h_1 \leq z < 0; & \Theta_2(R, z, t) = T_2(z, t), & 0 \leq z \leq h_2 \end{aligned} \quad (1.2.2)$$

с заданными функциями $T_j(z, t)$, $A_j(r, t)$, то есть на боковой поверхности цилиндров, нижнем и верхнем основаниях известно нестационарное распределение температуры.

Кроме того, $|\Theta_j(0, z, t)| < \infty$ и в начальный момент времени

$$\Theta_j(r, z, 0) = \Theta_j^0(r, z). \quad (1.2.3)$$

Для гладких решений должны быть выполнены условия согласования

$$\begin{aligned} \Theta_1^0(r, -h_1) &= A_1(r, 0), & \Theta_2^0(r, h_2) &= A_2(r, 0), \\ \Theta_1^0(r, 0) &= \Theta_2^0(r, 0), & k_1 \frac{\partial \Theta_1^0}{\partial z}(r, 0) &= k_2 \frac{\partial \Theta_2^0}{\partial z}(r, 0), \\ T_1(-h_1, t) &= A_1(R, t), & T_2(h_2, t) &= A_2(R, t), \\ T_1(0, t) &= T_2(0, t), & k_1 \frac{\partial T_1}{\partial z}(0, t) &= k_2 \frac{\partial T_2}{\partial z}(0, t), \\ T_j(z, 0) &= \Theta_j^0(R, z). \end{aligned} \quad (1.2.4)$$

Решение задачи в случае нулевой температуры на боковых стенках

Предположим вначале, что на боковой поверхности цилиндров температура равна нулю: $T_1(z, t) = 0$, $T_2(z, t) = 0$. Ищем решение задачи (1.2.1) - (1.2.4) в виде рядов Фурье

$$\Theta_j(r, z, t) = \sum_{m=1}^{\infty} C_m^j(z, t) J_0 \left(\frac{\xi_m r}{R} \right), \quad (1.2.5)$$

где ξ_m — m -й корень уравнения $J_0(\xi) = 0$, причём коэффициенты ряда удовлетворяют параболическим уравнениям

$$\frac{\partial C_m^j}{\partial t} = \chi_j \frac{\partial^2 C_m^j}{\partial z^2} - \chi_j \left(\frac{\xi_m}{R} \right)^2 C_m^j, \quad (1.2.6)$$

$-h_1 < z < 0$ для $j = 1$ и $0 < z < h_2$ для $j = 2$. Таким образом, произведено частичное разделение переменных.

Разлагая заданные функции $A_j(r, t)$ ($A_j(R, t) = 0$) в ряды Фурье по бesselевым функциям $J_0(\xi_m r/R)$ [18]) с коэффициентами $c_m^j(t)$

$$c_m^j(t) = \frac{\int_0^R r A_j(r, t) J_0\left(\frac{\xi_m r}{R}\right) dr}{R^2 J_1^2(\xi_m)}, \quad (1.2.7)$$

получим из первых граничных условий (1.2.2)

$$C_m^1(-h_1, t) = c_m^1(t), \quad C_m^2(h_2, t) = c_m^2(t), \quad (1.2.8)$$

На поверхности раздела при $z = 0$ найдём из соотношений (1.2.2) ещё два равенства для коэффициентов $C_m^j(z, t)$:

$$C_m^1(0, t) = C_m^2(0, t), \quad k_1 \frac{\partial C_m^1}{\partial z}(0, t) = k_2 \frac{\partial C_m^2}{\partial z}(0, t). \quad (1.2.9)$$

Начальные условия (1.2.3) дают аналогичные данные для $C_m^j(z, t)$:

$$C_m^j(z, 0) = \frac{\int_0^R r \Theta_j^0(r, z) J_0\left(\frac{\xi_m r}{R}\right) dr}{R^2 J_1^2(\xi_m)}, \quad (1.2.10)$$

Итак, для уравнений (1.2.6) имеются начальные (1.2.10) и граничные (1.2.8), (1.2.9) условия, причём функции $c_m^j(t)$, определённые из (1.2.7), считаются известными.

Замечание 1.2.1. Дальнейшее разделение переменных в начально-краевых задачах для $C_m^j(z, t)$ невозможно, так как из равенства экспоненциальных рядов (рядов Дирихле [27, 39]) не следует равенство коэффициентов этих рядов.

Применим преобразование Лапласа, которое функции $u(t)$ (оригиналу) сопоставляет $\hat{u}(s)$ (изображение) по формуле

$$\hat{u}(s) = \int_0^{\infty} e^{-st} u(t) dt.$$

Свойства преобразования Лапласа и область его применимости изложены, например, в [25]. В изображениях по Лапласу получим из (1.2.6), (1.2.7) - (1.2.10) краевую задачу для ОДУ

$$\frac{d^2 \widehat{C}_m^j}{dz^2} - \left[\left(\frac{\xi_m}{R} \right)^2 + \frac{s}{\chi_j} \right] \widehat{C}_m^j = - \frac{C_m^j(z, 0)}{\chi_j}, \quad (1.2.11)$$

$$\widehat{C}_m^1(-h_1, s) = \widehat{c}_m^1(s), \quad \widehat{C}_m^2(h_2, s) = \widehat{c}_m^2(s), \quad (1.2.12)$$

$$k_1 \frac{d\widehat{C}_m^1(0, s)}{dz} = k_2 \frac{d\widehat{C}_m^2(0, s)}{dz}, \quad \widehat{C}_m^1(0, s) = \widehat{C}_m^2(0, s).$$

Введём обозначение

$$\lambda_m^j = \sqrt{\left(\frac{\xi_m}{R} \right)^2 + \frac{s}{\chi_j}}, \quad (1.2.13)$$

тогда общее решение уравнений (1.2.11) имеет вид

$$\begin{aligned} \widehat{C}_m^j(z, s) = & a_j \sinh(\lambda_m^j z) + b_j \cosh(\lambda_m^j z) - \\ & - \frac{1}{\chi_j \lambda_m^j} \int_{l_j}^z C_m^j(x, 0) \sinh(\lambda_m^j(z-x)) dx, \end{aligned} \quad (1.2.14)$$

где $l_1 = -h_1$, $l_2 = 0$; a_j , b_j — величины, зависящие от s . Подстановка (1.2.14) в граничные условия (1.2.12) приводит к четырём алгебраическим уравнениям на a_j , b_j ($j = 1, 2$):

$$\begin{aligned} -a_1 \sinh(\lambda_m^1 h_1) + b_1 \cosh(\lambda_m^1 h_1) &= \widehat{c}_m^1(s), \\ a_2 \sinh(\lambda_m^2 h_2) + b_2 \cosh(\lambda_m^2 h_2) &= \\ = \widehat{c}_m^2(s) + \frac{1}{\lambda_m^2} \int_0^{h_2} C_m^2(x, 0) \sinh(\lambda_m^2(h_2-x)) dx, \\ b_1 &= b_2 - \frac{1}{\lambda_m^1} \int_{-h_1}^0 C_m^1(x, 0) \sinh(\lambda_m^1 x) dx, \\ k \lambda_m^1 a_1 &= \lambda_m^2 a_2 + k \int_{-h_1}^0 C_m^1(x, 0) \cosh(\lambda_m^1 x) dx, \quad k = k_1/k_2. \end{aligned}$$

Решение полученной системы таково

$$\begin{aligned}
a_1 &= \frac{1}{\Delta} (\hat{c}_m^1(s) \cosh(\lambda_m^2 h_2) + f(s) \cosh(\lambda_m^1 h_1)), \\
b_1 &= \frac{1}{\Delta} (f(s) \sinh(\lambda_m^1 h_1) + k \lambda_m \sinh(\lambda_m^2 h_2) \hat{c}_m^1(s)), \quad \lambda_m = \lambda_m^1 / \lambda_m^2, \\
a_2 &= k \lambda_m a_1 - \frac{k}{\lambda_m^1} \int_{h_1}^0 C_m^1(x, 0) \cosh(\lambda_m^1 x) dx, \\
b_2 &= b_1 + \frac{1}{\lambda_m^1} \int_{h_1}^0 C_m^1(x, 0) \sinh(\lambda_m^1 x) dx,
\end{aligned} \tag{1.2.15}$$

$$\begin{aligned}
\Delta &= \sinh(\lambda_m^1 h_1) \cosh(\lambda_m^2 h_2) + k \lambda_m \cosh(\lambda_m^1 h_1) \sinh(\lambda_m^2 h_2), \\
f(s) &= \hat{c}_{nm}^2(s) + \frac{1}{\lambda_m^2} \int_0^{h_2} C_m^2(x, 0) \sinh(\lambda_m^2 (h_2 - x)) dx + \\
&+ \frac{1}{\lambda_m^1} \int_{h_1}^0 C_m^1(x, 0) (k \sinh(\lambda_m^2 h_2) \cosh(\lambda_m^1 x) - \cosh(\lambda_m^2 h_2) \sinh(\lambda_m^1 x)) dx.
\end{aligned}$$

Оригиналы C_m^j восстанавливаются с помощью формулы обратного преобразования Лапласа

$$u(t) = \frac{1}{2\pi i} \int_{a-i\infty}^{a+i\infty} e^{-st} \hat{u}(s) ds,$$

где интеграл берётся вдоль любой прямой $\text{Res} = a > a_0 \geq 0$ [25].

Следовательно, справедлива

Лемма 1.2.1. Решение задачи (1.2.1) - (1.2.3) представимо в виде формальных рядов Фурье (1.2.5) с коэффициентами $C_m^j(z, t)$, определяемые путём обращения преобразования Лапласа формул (1.2.14), (1.2.15).

Замечание 2. Если функции $A_j(r, t)$ определены на конечном промежутке $[0, T]$ по времени, то таковыми являются и $c_m^j(t)$ (см. формулы (1.2.7)). Для применения преобразования Лапласа достаточно A_j продолжить нулём при $t > T$, считая, что они в точке $t = T$ имеют разрыв первого рода.

О сходимости рядов (1.2.5)

Рассмотрим задачу для $C_m^j(z, t)$. Обозначим для краткости

$$\begin{aligned} v_j(z, t) &= C_m^j(z, t), \quad \beta_j = \chi_j \left(\frac{\xi_m}{R} \right)^2, \\ c_m^1(t) &= a_1(t), \quad c_m^2(t) = a_2(t), \\ v_{10}(z) &= C_m^1(z, 0), \quad v_{20}(z) = C_m^2(z, 0). \end{aligned} \quad (1.2.16)$$

Тогда упомянутая выше задача для $C_m^j(z, t)$ в новых терминах переписывается так

$$v_{1t} = \chi_1 v_{1zz} - \beta_1 v_1, \quad -h_1 < z < 0, \quad (1.2.17)$$

$$v_{2t} = \chi_2 v_{2zz} - \beta_2 v_2, \quad 0 < z < h_2; \quad (1.2.18)$$

$$v_1(-h_1, t) = a_1(t), \quad v_2(h_2, t) = a_2(t); \quad (1.2.19)$$

$$v_1(0, t) = v_2(0, t), \quad k_1 \frac{\partial v_1}{\partial z}(0, t) = k_2 \frac{\partial v_2}{\partial z}(0, t); \quad (1.2.20)$$

$$v_1(z, 0) = v_{10}(z), \quad v_2(z, 0) = v_{20}(z), \quad (1.2.21)$$

причём выполнены условия согласования

$$\begin{aligned} v_{10}(0) &= v_{20}(0), \quad k_1 \frac{\partial v_{10}}{\partial z}(0) = k_2 \frac{\partial v_{20}}{\partial z}(0), \\ v_{10}(-h_1) &= a_1(0), \quad v_{20}(h_2) = a_2(0). \end{aligned} \quad (1.2.22)$$

Замена искомых функций

$$v_j(z, t) = \bar{v}_j(z, t) + \frac{z^2}{h_j^2} a_j(t) \quad (1.2.23)$$

приводит к начально-краевой задаче с однородными краевыми условиями

$$\bar{v}_{1t} = \chi_1 \bar{v}_{1zz} - \beta_1 \bar{v}_1 + g_1(z, t), \quad -h_1 < z < 0, \quad (1.2.24)$$

$$\bar{v}_{2t} = \chi_2 \bar{v}_{2zz} - \beta_2 \bar{v}_2 + g_2(z, t), \quad 0 < z < h_2; \quad (1.2.25)$$

$$\bar{v}_1(-h_1, t) = 0, \quad \bar{v}_2(h_2, t) = 0; \quad (1.2.26)$$

$$\bar{v}_1(0, t) = \bar{v}_2(0, t), \quad k_1 \frac{\partial \bar{v}_1}{\partial z}(0, t) = k_2 \frac{\partial \bar{v}_2}{\partial z}(0, t); \quad (1.2.27)$$

$$\bar{v}_j(z, 0) = \bar{v}_{j0}(z) = v_{j0} - \frac{z^2}{h_j^2} a_j(0). \quad (1.2.28)$$

Свободные члены в уравнениях (1.2.24), (1.2.25) имеют вид

$$g_j(z, t) = \frac{1}{h_j^2} (2\chi_j - \beta_j z^2) a_j(t) - \frac{z^2}{h_j^2} a_j'(t), \quad (1.2.29)$$

где штрих означает дифференцирование по t .

Умножим уравнение (1.2.24) на $\rho_1 c_{p_1} \bar{v}_1$, уравнение (1.2.25) на $\rho_2 c_{p_2} \bar{v}_2$, затем проинтегрируем по их областям определения и результаты сложим. Получим тождество

$$\begin{aligned} \frac{dV}{dt} + \beta_1 \rho_1 c_{p_1} \int_{-h_1}^0 \bar{v}_1^2 dz + \beta_2 \rho_2 c_{p_2} \int_0^{h_2} \bar{v}_2^2 dz + k_1 \int_{-h_1}^0 \bar{v}_{1z}^2 dz + k_2 \int_0^{h_2} \bar{v}_{2z}^2 dz = \\ = \rho_1 c_{p_1} \int_{-h_1}^0 g_1 \bar{v}_1 dz + \rho_2 c_{p_2} \int_0^{h_2} g_2 \bar{v}_2 dz, \end{aligned} \quad (1.2.30)$$

где

$$V(t) = \frac{1}{2} \rho_1 c_{p_1} \int_{-h_1}^0 \bar{v}_1^2 dz + \frac{1}{2} \rho_2 c_{p_2} \int_0^{h_2} \bar{v}_2^2 dz, \quad (1.2.31)$$

а функции $g_j(z, t)$ определены равенством (1.2.29).

Поскольку функции \bar{v}_1, \bar{v}_2 удовлетворяют однородным условиям (1.2.26), (1.2.27), то для них имеет место неравенство [3]

$$\int_{-h_1}^0 \bar{v}_1^2 dz + \int_0^{h_2} \bar{v}_2^2 dz \leq M_0 \left(k_1 \int_{-h_1}^0 \bar{v}_{1z}^2 dz + k_2 \int_0^{h_2} \bar{v}_{2z}^2 dz \right) \quad (1.2.32)$$

с положительной постоянной M_0 , зависящей от k_1, k_2 и h_1, h_2 . Более точно, $M_0 = h_2^2/k_1 z_0^2$, где z_0 — первый положительный корень трансцендентного уравнения

$$\sin(\alpha_1 z) \cos(\alpha_2 z) + \alpha_2 \sin(\alpha_2 z) \cos(\alpha_1 z) = 0, \quad \alpha_1 = h_1/h_2, \quad \alpha_2 = (k_1/k_2)^{1/2}.$$

С учётом (1.2.32) левая часть тождества (1.2.30) оценивается снизу так

$$\frac{dV}{dt} + 2\delta V, \quad \delta = \min_j(\beta_j) + \frac{1}{M_0} \min_j \left(\frac{\chi_j}{k_j} \right). \quad (1.2.33)$$

Для правой части, находим оценку сверху

$$\begin{aligned}
\rho_1 c_{p_1} \int_{-h_1}^0 g_1 \bar{v}_1 dz + \rho_2 c_{p_2} \int_0^{h_2} g_2 \bar{v}_2 dz &\leq \rho_1 c_{p_1} \left(\int_{-h_1}^0 g_1^2 dz \right)^{1/2} \left(\int_{-h_1}^0 \bar{v}_1^2 dz \right)^{1/2} + \\
&+ \rho_2 c_{p_2} \left(\int_0^{h_2} g_2^2 dz \right)^{1/2} \left(\int_0^{h_2} \bar{v}_2^2 dz \right)^{1/2} \leq 2 \left[\sqrt{\frac{1}{2} \rho_1 c_{p_1}} \left(\int_{-h_1}^0 g_1^2 dz \right)^{1/2} + \right. \\
&\left. + \sqrt{\frac{1}{2} \rho_2 c_{p_2}} \left(\int_0^{h_2} g_2^2 dz \right)^{1/2} \right] V^{1/2} \equiv 2G(t)V^{1/2}
\end{aligned} \tag{1.2.34}$$

и $V(t)$ удовлетворяет неравенству

$$\frac{dV}{dt} + 2\delta V \leq 2G(t)V^{1/2}. \tag{1.2.35}$$

Значит

$$V(t) \leq \left[\sqrt{V(0)} + \int_0^t G(\tau) e^{\delta\tau} d\tau \right]^2 e^{-2\delta t}, \tag{1.2.36}$$

$$V(0) = \frac{1}{2} \rho_1 c_{p_1} \int_{-h_1}^0 \bar{v}_{10}^2 dz + \frac{1}{2} \rho_2 c_{p_2} \int_0^{h_2} \bar{v}_{20}^2 dz,$$

где \bar{v}_{j0} определены в (1.2.28). Из (1.2.31) и (1.2.36) следует ограниченность L_2 -норм функций $\bar{v}_j(z, t)$ для всех $t \in [0, T]$ (величина T зависит от области определения $a_j(t)$, $a'_j(t)$).

Для оценки производных \bar{v}_{jz} в этих же нормах воспользуемся ещё одним тождеством справедливым для начально-краевой задачи (1.2.24) - (1.2.29), именно

$$\begin{aligned}
&\rho_1 c_{p_1} \int_{-h_1}^0 \bar{v}_{1t}^2 dz + \rho_2 c_{p_2} \int_0^{h_2} \bar{v}_{2t}^2 dz + \frac{1}{2} \frac{\partial}{\partial t} \left[\beta_1 \rho_1 c_{p_1} \int_{-h_1}^0 \bar{v}_1^2 dz + \right. \\
&\left. + \beta_2 \rho_2 c_{p_2} \int_0^{h_2} \bar{v}_2^2 dz + k_1 \int_{-h_1}^0 \bar{v}_{1z}^2 dz + k_2 \int_0^{h_2} \bar{v}_{2z}^2 dz \right] = \\
&= \rho_1 c_{p_1} \int_{-h_1}^0 g_1 \bar{v}_{1t} dz + \rho_2 c_{p_2} \int_0^{h_2} g_2 \bar{v}_{2t} dz.
\end{aligned} \tag{1.2.37}$$

Оно получается путём умножения уравнений (1.2.24), (1.2.25) на $\rho_1 c_{p_1} \bar{v}_{1t}$, $\rho_2 c_{p_2} \bar{v}_{2t}$, соответственно, интегрирования по z и сложения с учётом равенства $\bar{v}_{1t}(0, t) = \bar{v}_{2t}(0, t)$, которое следует из первого граничного условия (1.2.20).

Правая часть (1.2.37) не превосходит

$$\frac{1}{2} \rho_1 c_{p_1} \int_{-h_1}^0 g_1^2 dz + \frac{1}{2} \rho_2 c_{p_2} \int_0^{h_2} g_2^2 dz + \frac{1}{2} \rho_1 c_{p_1} \int_{-h_1}^0 \bar{v}_{1t}^2 dz + \frac{1}{2} \rho_2 c_{p_2} \int_0^{h_2} \bar{v}_{2t}^2 dz$$

Поэтому из (1.2.37) выводим необходимое для нас неравенство

$$\begin{aligned} k_1 \int_{-h_1}^0 \bar{v}_{1z}^2 dz + k_2 \int_0^{h_2} \bar{v}_{2z}^2 dz &\leq k_1 \int_{-h_1}^0 \bar{v}_{10z}^2 dz + k_2 \int_0^{h_2} \bar{v}_{20z}^2 dz + \\ &+ \rho_1 c_{p_1} \int_0^t \int_{-h_1}^0 g_1^2 dz d\tau + \rho_2 c_{p_2} \int_0^t \int_0^{h_2} g_2^2 dz d\tau \equiv G_1(t), \end{aligned} \quad (1.2.38)$$

откуда

$$\int_{-h_1}^0 \bar{v}_{1z}^2 dz \leq \frac{G_1(t)}{k_1}, \quad \int_0^{h_2} \bar{v}_{2z}^2 dz \leq \frac{G_1(t)}{k_2}. \quad (1.2.39)$$

Поскольку

$$\bar{v}_1^2(z, t) = 2 \int_{-h_1}^z \bar{v}_1 \bar{v}_{1z} dz, \quad \bar{v}_2^2(z, t) = -2 \int_z^{h_2} \bar{v}_2 \bar{v}_{2z} dz,$$

то в силу оценок (1.2.36), (1.2.39), находим

$$|\bar{v}_j(z, t)| \leq \left(\frac{8}{k_j \rho_j c_{p_j}} V(t) G_1(t) \right)^{1/4}. \quad (1.2.40)$$

Учитывая замену (1.2.23), получим оценки v_j :

$$|v_j(z, t)| \leq |a_j(t)| + \left(\frac{8}{k_j \rho_j c_{p_j}} V(t) G_1(t) \right)^{1/4}, \quad (1.2.41)$$

которые означают ограниченность $v_j(z, t)$ при $z \in [-h_1, 0]$ ($j = 1$), $z \in [0, h_2]$ ($j = 2$) и $t \in [0, T]$.

Для нахождения оценок производных по времени, достаточно продифференцировать уравнения (1.2.24), (1.2.25) и граничные условия (1.2.26), (1.2.27) по t . Для функций $w_j(z, t) = \bar{v}_{jt}(z, t)$ получим задачу аналогичную рассмотренной с заменой в (1.2.29) $a_j(t)$ на $a'_j(t)$, $a'_j(t)$ на $a''_j(t)$, предполагая существование

последней при $t \in [0, T]$. Начальные данные таковы

$$w_j(z, 0) = w_{j0}(z) = \chi_j \bar{v}_{j0zz} - \beta_j \bar{v}_{j0} + \frac{1}{h_j^2} (2\chi_j - \beta_j z^2) a_j(0) - \frac{z^2}{h_j^2} a'_j(0) \quad (1.2.42)$$

где $\bar{v}_{j0}(z)$ есть начальные данные из (1.2.28).

Поэтому для v_{jt} имеют место оценки вида (1.2.41)

$$|v_{jt}(z, t)| \leq |a'_j(t)| + \left(\frac{8}{k_j \rho_j c_{p_j}} W(t) G_2(t) \right)^{1/4}, \quad (1.2.43)$$

в которых

$$\begin{aligned} W(t) &= \frac{1}{2} \rho_1 c_{p_1} \int_{-h_1}^0 w_1^2 dz + \frac{1}{2} \rho_2 c_{p_2} \int_0^{h_2} w_2^2 dz, \\ W(0) &= \frac{1}{2} \rho_1 c_{p_1} \int_{-h_1}^0 w_{10}^2 dz + \frac{1}{2} \rho_2 c_{p_2} \int_0^{h_2} w_{20}^2 dz, \\ G_2(t) &= \rho_1 c_{p_1} \int_0^t \int_{-h_1}^0 g_3^2 dz d\tau + \rho_2 c_{p_2} \int_0^t \int_0^{h_2} g_4^2 dz d\tau + \\ &\quad + k_1 \int_{-h_1}^0 w_{10z}^2 dz + k_2 \int_0^{h_2} w_{20z}^2 dz. \end{aligned} \quad (1.2.44)$$

В (1.2.44) w_{j0} определены формулами (1.2.42), а

$$\begin{aligned} g_3(z, t) &= \frac{1}{h_1^2} (2\chi_1 - \beta_1 z^2) a'_1(t) - \frac{z^2}{h_1^2} a''_1(t), \\ g_4(z, t) &= \frac{1}{h_2^2} (2\chi_2 - \beta_2 z^2) a'_2(t) - \frac{z^2}{h_2^2} a''_2(t). \end{aligned} \quad (1.2.45)$$

Функция $W(t)$ удовлетворяют неравенству вида (1.2.36)

$$W(t) \leq \left[\sqrt{W(0)} + \int_0^t G_0(\tau) e^{\delta\tau} d\tau \right]^2 e^{-2\delta t}, \quad (1.2.46)$$

где (см. (1.2.34))

$$G_0(t) = \sqrt{\frac{1}{2} \rho_1 c_{p_1}} \left(\int_{-h_1}^0 g_3^2 dz \right)^{1/2} + \sqrt{\frac{1}{2} \rho_2 c_{p_2}} \left(\int_0^{h_2} g_4^2 dz \right)^{1/2}. \quad (1.2.47)$$

Значит, если $a_j(t)$, $a'_j(t)$, $a''_j(t)$ — непрерывны и ограничены при $t \in [0, T]$, то непрерывны и равномерно ограничены функции $v_{jt}(z, t)$ на своих областях

определения. Аналогичным свойством обладают и вторые производные v_{jzz} – это следует из уравнений (1.2.17), (1.2.18) и оценок (1.2.41), (1.2.42):

$$|v_{jzz}(z, t)| \leq \frac{1}{\chi_j} \left\{ \beta_j |a_j(t)| + |a'_j(t)| + \left(\frac{8}{k_j \rho_j c_{p_j}} \right)^{1/4} \left[(V(t)G_1(t))^{1/4} + (W(t)G_2(t))^{1/4} \right] \right\}. \quad (1.2.48)$$

Нами доказана

Лемма 1.2.2. Если $a_j^{(k)}(t)$, $k = 0, 1, 2$ непрерывны при $t \in [0, T]$, $v_{10}(z) \in C^1[-h_1, 0]$, $v_{20}(z) \in C^1[0, h_2]$ и выполнены условия согласования (1.2.22), то решение сопряжённой задачи (1.2.17) - (1.2.21) единственно и справедливы равномерные по z оценки (1.2.41), (1.2.43), (1.2.48).

Единственность следует из априорных оценок, так как при $a_j(t) \equiv 0$, $v_{j0}(z) \equiv 0$ получим $v_j(z, t) \equiv 0$ на своих областях определения.

Наша ближайшая цель установить сходимость рядов (1.2.5) и привести условия, при которых они дают классическое решение исходной задачи (1.2.1) - (1.2.4). Для этого предположим, что сходятся ряды функций $A_j(r, t)$ и их производных A_{jt} , A_{jtt} , A_{jr} , A_{jrr} . Для $A_j(r, t)$, A_{jt} , A_{jtt} имеем (равенства Парсеваля-Стеклова [18]).

$$\begin{aligned} \sum_{m=1}^{\infty} (c_m^j(t))^2 &= \|A_j\|^2, \quad \|A_j\|^2 = \int_0^R r A_j^2 dr, \\ \sum_{m=1}^{\infty} \left(\frac{dc_m^j(t)}{dt} \right)^2 &= \|A_{jt}\|^2, \quad \sum_{m=1}^{\infty} \left(\frac{d^2 c_m^j(t)}{dt^2} \right)^2 = \|A_{jtt}\|^2. \end{aligned} \quad (1.2.49)$$

Ясно, что нормы в правых частях равенств (1.2.49) есть непрерывные функции, а из выражений (1.2.7) следует, что $c_m^j(t)$ — непрерывны на $[0, T]$. Следовательно, по теореме Дини [50] ряды для функций $A_j(r, t)$ равномерно сходятся на $[0, T]$.

Докажем сначала равномерную сходимость ряда (1.2.5) при $t \in [0, T]$. Коэффициенты ряда $C_m^j(z, t)$ удовлетворяют оценке (1.2.41) с $a_j(t) = c_m^j(t)$:

$$|C_m^j(z, t)| \leq |c_m^j(t)| + \left(\frac{8V(t)G_1(t)}{k_j \rho_j c_{p_j}} \right)^{1/4}. \quad (1.2.50)$$

Из определения (1.2.38) функции $G_1(t)$ и (1.2.29) имеем

$$\begin{aligned}
G_1(t) \leq & \frac{2\rho_1 c_{p_1}}{h_1^3} \left[\left(4\chi_1^2 - \frac{4}{3} \chi_1 \beta_1 h_1^2 + \frac{\beta_1^2 h_1^4}{5} \right) \int_0^t (c_m^1(\tau))^2 d\tau + \right. \\
& \left. + \frac{h_1^4}{5} \int_0^t \left(\frac{dc_m^1(\tau)}{d\tau} \right)^2 d\tau \right] + \\
& + \frac{2\rho_2 c_{p_2}}{h_2^3} \left[\left(4\chi_2^2 - \frac{4}{3} \chi_2 \beta_2 h_2^2 + \frac{\beta_2^2 h_2^4}{5} \right) \int_0^t (c_m^2(\tau))^2 d\tau + \right. \\
& \left. + \frac{h_2^4}{5} \int_0^t \left(\frac{dc_m^2(\tau)}{d\tau} \right)^2 d\tau \right] + k_1 \int_{-h_1}^0 \bar{v}_{10z}^2 dz + k_2 \int_0^{h_2} \bar{v}_{20z}^2 dz. \tag{1.2.51}
\end{aligned}$$

Функция $V(t)$ удовлетворяет оценке (1.2.36), в которой

$$\begin{aligned}
G(t) = & \left(\frac{\rho_1 c_{p_1}}{2} \int_{-h_1}^0 g_1^2 dz \right)^{1/2} + \left(\frac{\rho_2 c_{p_2}}{2} \int_0^{h_2} g_2^2 dz \right)^{1/2} \leq \\
\leq & \left\{ \frac{\rho_1 c_{p_1}}{h_1^3} \left[\left(4\chi_1^2 - \frac{4}{3} \chi_1 \beta_1 h_1^2 + \frac{\beta_1^2 h_1^4}{5} \right) (c_m^1(t))^2 + \frac{h_1^4}{5} \left(\frac{dc_m^1(t)}{dt} \right)^2 \right] \right\}^{1/2} + \\
+ & \left\{ \frac{\rho_2 c_{p_2}}{h_2^3} \left[\left(4\chi_2^2 - \frac{4}{3} \chi_2 \beta_2 h_2^2 + \frac{\beta_2^2 h_2^4}{5} \right) (c_m^2(t))^2 + \frac{h_2^4}{5} \left(\frac{dc_m^2(t)}{dt} \right)^2 \right] \right\}^{1/2}, \tag{1.2.52}
\end{aligned}$$

$$\begin{aligned}
V(0) = & \frac{\rho_1 c_{p_1}}{2} \int_{-h_1}^0 \left[v_{10}(z) - \frac{z^2}{h_1^2} c_m^1(0) \right]^2 dz + \frac{\rho_2 c_{p_2}}{2} \int_0^{h_2} \left[v_{20}(z) - \frac{z^2}{h_2^2} c_m^2(0) \right]^2 dz \leq \\
\leq & \rho_1 c_{p_1} \int_{-h_1}^0 v_{10}^2(z) dz + \rho_2 c_{p_2} \int_0^{h_2} v_{20}^2(z) dz + \frac{\rho_1 c_{p_1} h_1}{5} (c_m^1(0))^2 + \frac{\rho_2 c_{p_2} h_2}{5} (c_m^2(0))^2. \tag{1.2.53}
\end{aligned}$$

Полученные априорные оценки (1.2.41), (1.2.43) позволяют оценить зависимость $C_m^j(z, t)$ от $c_m^j(t)$. При больших m имеем $\xi_m \approx m\pi$ [18], тогда, согласно (1.2.16),

$$\beta_j \approx \frac{\chi_j m^2 \pi^2}{R^2}, \tag{1.2.54}$$

поэтому из (1.2.51), (1.2.52) получим

$$G_1(t) \approx \beta_1^2 \int_0^t (c_m^1(\tau))^2 d\tau + \int_0^t \left(\frac{dc_m^1(\tau)}{d\tau} \right)^2 d\tau + \beta_2^2 \int_0^t (c_m^2(\tau))^2 d\tau + \\ + \int_0^t \left(\frac{dc_m^2(\tau)}{d\tau} \right)^2 d\tau + k_1 \int_{-h_1}^0 \bar{v}_{10z}^2 dz + k_2 \int_0^{h_2} \bar{v}_{20z}^2 dz \equiv I_1, \quad (1.2.55)$$

$$G(t) \approx \left[\beta_1^2 (c_m^1(t))^2 + \left(\frac{dc_m^1(t)}{dt} \right)^2 \right]^{1/2} + \left[\beta_2^2 (c_m^2(t))^2 + \left(\frac{dc_m^2(t)}{dt} \right)^2 \right]^{1/2} \leq \\ \leq \beta_1 |c_m^1(t)| + \left| \frac{dc_m^1(t)}{dt} \right| + \beta_2 |c_m^2(t)| + \left| \frac{dc_m^2(t)}{dt} \right|. \quad (1.2.56)$$

Используя неравенства (1.2.36), (1.2.53), (1.2.56), $(a+b)^2 \leq 2a^2 + 2b^2$ и неравенство Гёльдера, получим

$$V(t) \leq 2e^{-2\delta t} \left(\rho_1 c_{p_1} \int_{-h_1}^0 v_{10}^2(z) dz + \rho_2 c_{p_2} \int_0^{h_2} v_{20}^2(z) dz \right. \\ \left. + \frac{\rho_1 c_{p_1} h_1}{5} (c_m^1(0))^2 + \frac{\rho_2 c_{p_2} h_2}{5} (c_m^2(0))^2 \right) + 4tI_1. \quad (1.2.57)$$

Снова воспользовавшись неравенствами Гёльдера, $(a+b)^2 \leq 2a^2 + 2b^2$, а также (1.2.55) и неравенством (1.2.50), в итоге из (1.2.50) при $m \gg 1$ имеем

$$|C_m^j(z, t)| \leq |c_m^j(t)| + \left\{ \frac{16e^{-2\delta t}}{k_j \rho_j c_{p_j}} \left[\rho_1 c_{p_1} \int_{-h_1}^0 v_{10}^2(z) dz + \rho_2 c_{p_2} \int_0^{h_2} v_{20}^2(z) dz + \right. \right. \\ \left. \left. + \frac{\rho_1 c_{p_1} h_1}{5} (c_m^1(0))^2 + \frac{\rho_2 c_{p_2} h_2}{5} (c_m^2(0))^2 \right] I_1 + \frac{128t^2}{k_j \rho_j c_{p_j}} I_2 \right\}^{1/4}, \quad (1.2.58)$$

здесь

$$I_2 = \beta_1^4 \int_0^t (c_m^1(\tau))^4 d\tau + \int_0^t \left(\frac{dc_m^1(\tau)}{d\tau} \right)^4 d\tau + \beta_2^4 \int_0^t (c_m^2(\tau))^4 d\tau + \\ + \int_0^t \left(\frac{dc_m^2(\tau)}{d\tau} \right)^4 d\tau + \left[k_1 \int_{-h_1}^0 \bar{v}_{10z}^2 dz + k_2 \int_0^{h_2} \bar{v}_{20z}^2 dz \right]^2. \quad (1.2.59)$$

Если

$$|c_m^j(t)| \leq \frac{|c^j(t)|}{m^{1+s+\varepsilon}}, \quad (1.2.60)$$

где $\varepsilon > 0$, $|c^j(t)| \leq M_1 \equiv \text{const}$ и $|dc^j(t)/dt| \leq M_2 \equiv \text{const}$ при $t \in [0, T]$, то, принимая во внимание (1.2.54), получаем оценку

$$\begin{aligned}
|C_m^j(z, t)| \leq & \frac{|c^j(t)|}{m^{1+s+\varepsilon}} + \left\{ \frac{16e^{-2\delta t}}{k_j \rho_j c_{p_j} m^{2(1+s+\varepsilon)}} \left[\rho_1 c_{p_1} \int_{-h_1}^0 v_{10}^2(z) dz + \right. \right. \\
& + \rho_2 c_{p_2} \int_0^{h_2} v_{20}^2(z) dz + \frac{\rho_1 c_{p_1} h_1}{5} \frac{(c_m^1(0))^2}{m^{2(1+s+\varepsilon)}} + \left. \frac{\rho_2 c_{p_2} h_2}{5} \frac{(c_m^2(0))^2}{m^{2(1+s+\varepsilon)}} \right] \\
& \left[\frac{\chi_1^2 m^4 \pi^4}{R^4} \int_0^t (c^1(\tau))^2 d\tau + \int_0^t \left(\frac{dc^1(\tau)}{d\tau} \right)^2 d\tau + \frac{\chi_2^2 m^4 \pi^4}{R^4} \int_0^t (c^2(\tau))^2 d\tau + \right. \\
& + \left. \int_0^t \left(\frac{dc^2(\tau)}{d\tau} \right)^2 d\tau + k_1 \int_{-h_1}^0 \bar{v}_{10z}^2 dz + k_2 \int_0^{h_2} \bar{v}_{20z}^2 dz \right] + \\
& + \frac{128t^2}{k_j \rho_j c_{p_j} m^{4(1+s+\varepsilon)}} \left[\frac{\chi_1^4 m^8 \pi^8}{R^8} \int_0^t (c^1(\tau))^4 d\tau + \int_0^t \left(\frac{dc^1(\tau)}{d\tau} \right)^4 d\tau + \right. \\
& + \frac{\chi_2^4 m^8 \pi^8}{R^8} \int_0^t (c^2(\tau))^4 d\tau + \int_0^t \left(\frac{dc^2(\tau)}{d\tau} \right)^4 d\tau + \\
& \left. \left. + \left(k_1 \int_{-h_1}^0 \bar{v}_{10z}^2 dz + k_2 \int_0^{h_2} \bar{v}_{20z}^2 dz \right)^2 \right] \right\}^{1/4} \quad (1.2.61)
\end{aligned}$$

С учётом обозначений (1.2.16), потребуем, чтобы функции $\Theta_{jz}^0(r, z)$ и $\Theta_j^0(r, z) = \sum_{m=1}^{\infty} C_m^j(z, 0) J_0(\xi_m r/R)$ были ограничены в пространстве $L_2([0, R] \times l_j)$ ($l_1 = [-h_1, 0]$, $l_2 = [0, h_2]$), то есть

$$\begin{aligned}
\|\Theta_j^0\|_{L_2([0, R] \times l_j)} &= \left(\sum_{m=1}^{\infty} \int_{l_j} \int_0^R r (C_m^j(z, 0))^2 J_0^2 \left(\frac{\xi_m r}{R} \right) dr dz \right)^{1/2} = \\
&= \left(\sum_{m=1}^{\infty} \frac{R^2}{2} J_1^2(\xi_m) \int_{l_j} (C_m^j(z, 0))^2 dz \right)^{1/2} < \infty
\end{aligned}$$

и

$$\left\| \frac{\partial \Theta_j^0}{\partial z} \right\|_{L_2([0,R] \times l_j)} = \left(\sum_{m=1}^{\infty} \frac{R^2}{2} J_1^2(\xi_m) \int_{l_j} \left(\frac{C_m^j(z, 0)}{\partial z} \right)^2 dz \right)^{1/2} < \infty.$$

Откуда (см. обозначения (1.2.16)),

$$\rho_1 c_{p_1} \int_{-h_1}^0 v_{10}^2(z) dz + \rho_2 c_{p_2} \int_0^{h_2} v_{20}^2(z) dz < \infty$$

и

$$k_1 \int_{-h_1}^0 v_{10z}^2(z) dz + k_2 \int_0^{h_2} v_{20z}^2(z) dz < \infty.$$

Тогда при $m \gg 1$

$$|C_m^j(z, t)| \approx \frac{|c^j(t)|}{m^{1+s+\varepsilon}} + \left\{ \frac{S_1 e^{-2\delta t}}{m^{2(s+\varepsilon)-2}} + \frac{S_2 e^{-2\delta t}}{m^{4(s+\varepsilon)}} + \frac{S_3 e^{-2\delta t}}{m^{2(1+s+\varepsilon)}} + \frac{S_4 e^{-2\delta t}}{m^{4(1+s+\varepsilon)}} + \frac{S_5}{m^{4(s+\varepsilon)-4}} + \frac{S_6}{m^{4(1+s+\varepsilon)}} \right\}^{1/4}, \quad (1.2.62)$$

здесь $S_i = \text{const}$, $i = 1, \dots, 6$. Используя (1.2.33), делаем вывод, что ряд

$$\sum_{m=1}^{\infty} \left(\frac{|c^j(t)|}{m^{1+s+\varepsilon}} + \left\{ \frac{S_1 e^{-2\delta t}}{m^{2(s+\varepsilon)-2}} + \frac{S_2 e^{-2\delta t}}{m^{4(s+\varepsilon)}} + \frac{S_3 e^{-2\delta t}}{m^{2(1+s+\varepsilon)}} + \frac{S_4 e^{-2\delta t}}{m^{4(1+s+\varepsilon)}} + \frac{S_5}{m^{4(s+\varepsilon)-4}} + \frac{S_6}{m^{4(1+s+\varepsilon)}} \right\}^{1/4} \right)$$

сходится при $s \geq 2$, значит, ряд для функций $C_m^j(z, t)$, в силу неравенств (1.2.36) - (1.2.61), сходится по признаку Вейерштрасса [19] абсолютно и равномерно.

Далее, с учётом неравенства (1.2.43) и введённых обозначений (1.2.16), получим

$$\left| \frac{\partial C_m^j(z, t)}{\partial t} \right| \leq \left| \frac{dc_m^j(t)}{dt} \right| + \left(\frac{8}{k_j \rho_j c_{p_j}} W(t) G_2(t) \right)^{1/4}, \quad (1.2.63)$$

Из определения (1.2.44) функции $G_2(t)$ и (1.2.45) имеем

$$\begin{aligned}
G_2(t) \leq & \frac{2\rho_1 c_{p_1}}{h_1^3} \left[\left(4\chi_1^2 - \frac{4}{3} \chi_1 \beta_1 h_1^2 + \frac{\beta_1^2 h_1^4}{5} \right) \int_0^t \left(\frac{dc_m^1(\tau)}{d\tau} \right)^2 d\tau + \right. \\
& \left. + \frac{h_1^4}{5} \int_0^t \left(\frac{d^2 c_m^1(\tau)}{d\tau^2} \right)^2 d\tau \right] + \\
& + \frac{2\rho_2 c_{p_2}}{h_2^3} \left[\left(4\chi_2^2 - \frac{4}{3} \chi_2 \beta_2 h_2^2 + \frac{\beta_2^2 h_2^4}{5} \right) \int_0^t \left(\frac{dc_m^2(\tau)}{d\tau} \right)^2 d\tau + \right. \\
& \left. + \frac{h_2^4}{5} \int_0^t \left(\frac{d^2 c_m^2(\tau)}{d\tau^2} \right)^2 d\tau \right] + k_1 \int_{-h_1}^0 w_{10z}^2 dz + k_2 \int_0^{h_2} w_{20z}^2 dz. \tag{1.2.64}
\end{aligned}$$

Функция $W(t)$ удовлетворяет оценке (1.2.46), в которой

$$\begin{aligned}
G_0(t) = & \left(\frac{\rho_1 c_{p_1}}{2} \int_{-h_1}^0 g_3^2 dz \right)^{1/2} + \left(\frac{\rho_2 c_{p_2}}{2} \int_0^{h_2} g_4^2 dz \right)^{1/2} \leq \\
\leq & \left\{ \frac{\rho_1 c_{p_1}}{h_1^3} \left[\left(4\chi_1^2 - \frac{4}{3} \chi_1 \beta_1 h_1^2 + \frac{\beta_1^2 h_1^4}{5} \right) \left(\frac{dc_m^1(t)}{dt} \right)^2 + \frac{h_1^4}{5} \left(\frac{d^2 c_m^1(t)}{dt^2} \right)^2 \right] \right\}^{1/2} + \\
+ & \left\{ \frac{\rho_2 c_{p_2}}{h_2^3} \left[\left(4\chi_2^2 - \frac{4}{3} \chi_2 \beta_2 h_2^2 + \frac{\beta_2^2 h_2^4}{5} \right) \left(\frac{dc_m^2(t)}{dt} \right)^2 + \frac{h_2^4}{5} \left(\frac{d^2 c_m^2(t)}{dt^2} \right)^2 \right] \right\}^{1/2}, \tag{1.2.65}
\end{aligned}$$

$$\begin{aligned}
W(0) = & \frac{\rho_1 c_{p_1}}{2} \int_{-h_1}^0 \left[\chi_1 v_{10zz}(z) - \beta_1 v_{10} - \frac{z^2}{h_1^2} \frac{dc_m^1(0)}{dt} \right]^2 dz + \\
& + \frac{\rho_2 c_{p_2}}{2} \int_0^{h_2} \left[\chi_2 v_{20zz}(z) - \beta_2 v_{20} - \frac{z^2}{h_2^2} \frac{dc_m^2(0)}{dt} \right]^2 dz \leq \\
\leq & \rho_1 c_{p_1} \int_{-h_1}^0 [\chi_1^2 v_{10zz}^2(z) + \beta_1^2 v_{10}^2(z)] dz + \rho_2 c_{p_2} \int_0^{h_2} [\chi_2^2 v_{20zz}^2(z) + \beta_2^2 v_{20}^2(z)] dz + \\
& + \frac{\rho_1 c_{p_1} h_1}{5} \left(\frac{dc_m^1(0)}{dt} \right)^2 + \frac{\rho_2 c_{p_2} h_2}{5} \left(\frac{dc_m^2(0)}{dt} \right)^2. \tag{1.2.66}
\end{aligned}$$

Учитывая (1.2.54), из (1.2.64), (1.2.65) получим

$$G_2(t) \approx \beta_1^2 \int_0^t \left(\frac{dc_m^1(\tau)}{d\tau} \right)^2 d\tau + \int_0^t \left(\frac{d^2c_m^1(\tau)}{d\tau^2} \right)^2 d\tau + \beta_2^2 \int_0^t \left(\frac{dc_m^2(\tau)}{d\tau} \right)^2 d\tau + \int_0^t \left(\frac{d^2c_m^2(\tau)}{d\tau^2} \right)^2 d\tau + k_1 \int_{-h_1}^0 w_{10z}^2 dz + k_2 \int_0^{h_2} w_{20z}^2 dz \equiv I_3, \quad (1.2.67)$$

$$G_0(t) \approx \left[\beta_1^2 \left(\frac{dc_m^1(t)}{dt} \right)^2 + \left(\frac{d^2c_m^1(t)}{dt^2} \right)^2 \right]^{1/2} + \left[\beta_2^2 \left(\frac{dc_m^2(t)}{dt} \right)^2 + \left(\frac{d^2c_m^2(t)}{dt^2} \right)^2 \right]^{1/2} \leq \beta_1 \left| \frac{dc_m^1(t)}{dt} \right| + \left| \frac{d^2c_m^1(t)}{dt^2} \right| + \beta_2 \left| \frac{dc_m^2(t)}{dt} \right| + \left| \frac{d^2c_m^2(t)}{dt^2} \right|. \quad (1.2.68)$$

Используя неравенства (1.2.46), (1.2.66), (1.2.68), Гёльдера и $(a+b)^2 \leq 2a^2 + 2b^2$, имеем

$$W(t) \leq 2e^{-2\delta t} \left(\rho_1 c_{p_1} \int_{-h_1}^0 \left[\beta_1^2 v_{10}^2(z) + \chi_1^2 \left(\frac{d^2v_{10}(z)}{dz^2} \right)^2 \right] dz + \rho_2 c_{p_2} \int_0^{h_2} \left[\beta_2^2 v_{20}^2(z) + \chi_2^2 \left(\frac{d^2v_{20}(z)}{dz^2} \right)^2 \right] dz + \frac{\rho_1 c_{p_1} h_1}{5} \left(\frac{dc_m^1(0)}{dt} \right)^2 + \frac{\rho_2 c_{p_2} h_2}{5} \left(\frac{dc_m^2(0)}{dt} \right)^2 \right) + 4tI_3. \quad (1.2.69)$$

Снова воспользовавшись неравенствами Гёльдера и $(a+b)^2 \leq 2a^2 + 2b^2$, а также (1.2.67) и неравенством (1.2.63), в итоге получаем

$$\left| \frac{\partial C_m^j(z, t)}{\partial t} \right| \leq \left| \frac{dc_m^j(t)}{dt} \right| + \left\{ \frac{16e^{-2\delta t}}{k_j \rho_j c_{p_j}} \left[\rho_1 c_{p_1} \int_{-h_1}^0 \left[\beta_1^2 v_{10}^2(z) + \chi_1^2 \left(\frac{d^2v_{10}(z)}{dz^2} \right)^2 \right] dz + \rho_2 c_{p_2} \int_0^{h_2} \left[\beta_2^2 v_{20}^2(z) + \chi_2^2 \left(\frac{d^2v_{20}(z)}{dz^2} \right)^2 \right] dz + \frac{\rho_1 c_{p_1} h_1}{5} \left(\frac{dc_m^1(0)}{dt} \right)^2 + \frac{\rho_2 c_{p_2} h_2}{5} \left(\frac{dc_m^2(0)}{dt} \right)^2 \right] I_3 + \frac{128t^2}{k_j \rho_j c_{p_j}} I_4 \right\}^{1/4}. \quad (1.2.70)$$

Здесь

$$\begin{aligned}
I_4 = & \beta_1^4 \int_0^t \left(\frac{dc_m^1(\tau)}{d\tau} \right)^4 d\tau + \int_0^t \left(\frac{d^2c_m^1(\tau)}{d\tau^2} \right)^4 d\tau + \beta_2^4 \int_0^t \left(\frac{dc_m^2(\tau)}{d\tau} \right)^4 d\tau + \\
& + \int_0^t \left(\frac{d^2c_m^2(\tau)}{d\tau^2} \right)^4 d\tau + \left(k_1 \int_{-h_1}^0 w_{10z}^2 dz + k_2 \int_0^{h_2} w_{20z}^2 dz \right)^2. \quad (1.2.71)
\end{aligned}$$

Очевидно, что ряд для функций $\partial C_m^j / \partial t$ также будет сходиться абсолютно и равномерно по признаку Вейерштрасса, если выполняется условие (1.2.60) при $s \geq 2$, при этом $c^j(t) \in C^2([0, T])$ и $\|\Theta_{jrr}^0\|_{L_2([0, R] \times l_j)} < \infty$, $\|\Theta_{jz}^0\|_{L_2([0, R] \times l_j)} < \infty$, $\|\Theta_{jzz}^0\|_{L_2([0, R] \times l_j)} < \infty$, $\|\Theta_{jzzz}^0\|_{L_2([0, R] \times l_j)} < \infty$.

Используя неравенство (1.2.48), из (1.2.52), (1.2.53), (1.2.55), (1.2.64) – (1.2.66) следует ограниченность функции $|\partial^2 C_m^j / \partial z^2|$. Кроме того, если выполняется условие (1.2.60) при $s \geq 2$ и $|d^2 c^j(t) / dt^2| \leq M_3 \equiv \text{const}$, то ряд для функций $\partial^2 C_m^j / \partial z^2$ сходится абсолютно и равномерно.

Поскольку $|J_0(\xi_m r / R)| \leq 1$ [16], то

$$\begin{aligned}
|\Theta_j| & \leq \sum_{m=1}^{\infty} |C_m^j(z, t)|, \quad \left| \frac{\partial \Theta_j}{\partial t} \right| \leq \sum_{m=1}^{\infty} \left| \frac{\partial C_m^j(z, t)}{\partial t} \right|, \\
\left| \frac{\partial^2 \Theta_j}{\partial z^2} \right| & \leq \sum_{m=1}^{\infty} \left| \frac{\partial^2 C_m^j(z, t)}{\partial z^2} \right|. \quad (1.2.72)
\end{aligned}$$

Так как было показано, что ряды для функций $C_m^j(z, t)$, $\partial C_m^j(z, t) / \partial t$, а также $\partial^2 C_m^j(z, t) / \partial z^2$ сходятся абсолютно и равномерно, значит, по признаку Вейерштрасса [19] ряды для функций $\Theta_j(r, z, t)$, $\partial \Theta_j(r, z, t) / \partial t$ и $\partial^2 \Theta_j(r, z, t) / \partial z^2$ также сходятся абсолютно и равномерно.

Далее, используя рекуррентную формулу для функции Бесселя и неравенство (1.1.20), получим

$$\begin{aligned}
\left| \frac{\partial^2 \Theta_j}{\partial r^2} \right| & \leq \frac{1}{R} \sum_{m=1}^{\infty} |C_m^j(z, t)| \xi_m \left[\left| \frac{1}{r} J_1 \left(\frac{\xi_m r}{R} \right) \right| + \left| \frac{\xi_m}{R} J_0 \left(\frac{\xi_m r}{R} \right) \right| \right] \leq \\
& \leq \frac{3}{2R^2} \sum_{m=1}^{\infty} \xi_m^2 |C_m^j(z, t)|, \quad (1.2.73)
\end{aligned}$$

$$\left| \frac{1}{r} \frac{\partial \Theta_j}{\partial r} \right| \leq \sum_{m=1}^{\infty} \frac{1}{R} |C_m^j(z, t)| \xi_m \left| \frac{1}{r} J_1 \left(\frac{\xi_m r}{R} \right) \right| \leq \frac{1}{2R^2} \sum_{m=1}^{\infty} \xi_m^2 |C_m^j(z, t)|. \quad (1.2.74)$$

Очевидно, что ряды для функций $r^{-1} \partial \Theta_j(r, z, t) / \partial r$, $\partial^2 \Theta_j(r, z, t) / \partial r^2$ сходятся абсолютно и равномерно, если справедливо условие (1.2.60) при $s \geq 4$.

Таким образом, нами доказана

Теорема 1.2.1. Ряды для функций Θ_j , Θ_{jt} , Θ_{jzz} , $r^{-1}\Theta_{jr}$, Θ_{jrr} сходятся абсолютно и равномерно, если справедливо условие (1.2.60) при $s \geq 4$, где $\varepsilon > 0$, $|c^j(t)| \leq M_1 \equiv \text{const}$, $|dc^j(t)/dt| \leq M_2 \equiv \text{const}$, $|d^2c^j(t)/dt^2| \leq M_3 \equiv \text{const}$ при $t \in [0, T]$ и $\|\Theta_j^0\|_{L_2([0,R] \times l_j)} < \infty$, $\|\Theta_{jrr}^0\|_{L_2([0,R] \times l_j)} < \infty$, $\|\Theta_{jz}^0\|_{L_2([0,R] \times l_j)} < \infty$, $\|\Theta_{jzz}^0\|_{L_2([0,R] \times l_j)} < \infty$, $\|\Theta_{jzzz}^0\|_{L_2([0,R] \times l_j)} < \infty$.

Таким образом, при сформулированных условиях решение является классическим.

Решение задачи в случае нулевой температуры на основаниях цилиндра

Теперь рассмотрим случай, когда температура, задаваемая на основаниях цилиндра равна нулю, то есть $A_j(r, t) = 0$, а на боковых стенках сосуда она отлична от нуля ($T_j(z, t) \neq 0$). Выполним замену

$$\Theta_j(r, z, t) = \bar{\Theta}_j(r, z, t) + \frac{r^2}{R^2}T_j(z, t), \quad (1.2.75)$$

тогда задача (1.2.1) - (1.2.3) примет вид

$$\bar{\Theta}_{jt} = \chi_j \Delta \bar{\Theta}_j + \bar{F}_j(r, z, t), \quad (1.2.76)$$

$$\bar{\Theta}_1(r, -h_1, t) = 0, \quad \bar{\Theta}_2(r, h_2, t) = 0, \quad \bar{\Theta}_j(R, z, t) = 0, \quad (1.2.77)$$

$$\bar{\Theta}_1(r, 0, t) = \bar{\Theta}_2(r, 0, t), \quad k_1 \bar{\Theta}_{1z}(r, 0, t) = k_2 \bar{\Theta}_{2z}(r, 0, t).$$

$$\bar{\Theta}_j(r, z, 0) = \Theta_j^0(r, z) - \frac{r^2}{R^2}T_j(z, 0). \quad (1.2.78)$$

Здесь

$$\bar{F}_j(r, z, t) = \frac{\chi_j}{R^2}(4T_j + r^2T_{jzz}) - \frac{r^2}{R^2}T_{jt}. \quad (1.2.79)$$

Таким образом, потребуем, чтобы $T_j(z, t) \in C^2(l_j) \cap C^1([0, T])$, где $l_1 = [-h_1, 0]$, $l_2 = [0, h_2]$. Разложим в ряд функцию $\bar{F}_j(r, z, t)$ на $0 < r < R$ [54]

$$\bar{F}_j(r, z, t) = \sum_{m=1}^{\infty} F_m^j(z, t) J_0 \left(\frac{\xi_m r}{R} \right), \quad (1.2.80)$$

где с учётом (1.2.79) [46]

$$\begin{aligned} F_m^j(z, t) &= \frac{2}{R^2 J_1^2(\xi_m)} \int_0^R r \bar{F}_j(r, z, t) J_0 \left(\frac{\xi_m r}{R} \right) dr = \\ &= \frac{2}{\xi_m J_1(\xi_m)} \left[\frac{\chi_j}{R^2} \left(4T_j + \frac{R^2}{\xi_m^2} (\xi_m^2 - 4) T_{jzz} \right) - \frac{1}{\xi_m^2} (\xi_m^2 - 4) T_{jt} \right]. \end{aligned} \quad (1.2.81)$$

Будем искать решение задачи (1.2.75) - (1.2.78) в виде рядов Фурье

$$\bar{\Theta}_j(r, z, t) = \sum_{m=1}^{\infty} D_m^j(z, t) J_0\left(\frac{\xi_m r}{R}\right), \quad (1.2.82)$$

где ξ_m — m -й корень уравнения $J_0(\xi) = 0$. Подставив (1.2.82) с учётом (1.2.79), (1.2.80) в (1.2.75), получим задачу для функций $D_m^j(z, t)$

$$\frac{\partial D_m^j}{\partial t} = \chi_j \frac{\partial^2 D_m^j}{\partial z^2} - \chi_j \frac{\xi_m^2}{R^2} D_m^j + F_m^j. \quad (1.2.83)$$

Из граничных условий следует, что

$$\begin{aligned} D_m^1(-h_1, t) = 0, \quad D_m^2(h_2, t) = 0, \\ D_m^1(0, t) = D_m^2(0, t), \quad k_1 \frac{\partial D_m^1}{\partial z}(0, t) = k_2 \frac{\partial D_m^2}{\partial z}(0, t). \end{aligned} \quad (1.2.84)$$

Начальные условия (1.2.78) дают аналогичные данные для $D_m^j(z, t)$

$$D_m^j(z, 0) = \frac{2}{R^2 J_1(\xi_m)} \int_0^R r \left[\Theta_j^0(r, z) - \frac{r^2}{R^2} T_j(z, 0) \right] J_0\left(\frac{\xi_m r}{R}\right) dr. \quad (1.2.85)$$

Далее, как и в первом параграфе, применим преобразование Лапласа. В изображениях по Лапласу получим из (1.2.83) - (1.2.85) краевую задачу для ОДУ

$$\frac{d^2 \hat{D}_m^j}{dz^2} - \left[\left(\frac{\xi_m}{R} \right)^2 + \frac{s}{\chi_j} \right] \hat{D}_m^j = -\frac{D_m^j(z, 0)}{\chi_j} - \hat{F}_m^j, \quad (1.2.86)$$

$$\hat{D}_m^1(-h_1, s) = 0, \quad \hat{D}_m^2(h_2, s) = 0,$$

$$k_1 \frac{d\hat{D}_m^1}{dz}(0, s) = k_2 \frac{d\hat{D}_m^2}{dz}(0, s), \quad \hat{D}_m^1(0, s) = \hat{D}_m^2(0, s). \quad (1.2.87)$$

Введём обозначение

$$\lambda_m^j = \sqrt{\left(\frac{\xi_m}{R} \right)^2 + \frac{s}{\chi_j}}, \quad d_m^j = -\frac{D_m^j(z, 0)}{\chi_j} - \hat{F}_m^j, \quad (1.2.88)$$

тогда общее решение уравнений (1.2.86) имеет вид

$$\begin{aligned} \hat{D}_m^j(z, s) = \bar{a}_j \sinh(\lambda_m^j z) + \bar{b}_j \cosh(\lambda_m^j z) - \\ - \frac{1}{\lambda_m^j} \int_{y_j}^z d_m^j \sinh(\lambda_m^j(z-x)) dx, \end{aligned} \quad (1.2.89)$$

где $y_1 = -h_1$, $y_2 = 0$; \bar{a}_j, \bar{b}_j — величины, зависящие от s . Подстановка (1.2.89) в граничные условия (1.2.87) приводит к четырём алгебраическим уравнениям на \bar{a}_j, \bar{b}_j ($j = 1, 2$):

$$\begin{aligned}
& -\bar{a}_1 \sinh(\lambda_m^1 h_1) + \bar{b}_1 \cosh(\lambda_m^1 h_1) = 0, \\
& \bar{a}_2 \sinh(\lambda_m^2 h_2) + \bar{b}_2 \cosh(\lambda_m^2 h_2) = \\
& = \frac{1}{\lambda_m^2} \int_0^{h_2} d_m^j \sinh(\lambda_m^2 (h_2 - x)) dx, \\
& \bar{b}_1 = \bar{b}_2 - \frac{1}{\lambda_m^1} \int_{-h_1}^0 d_m^j \sinh(\lambda_m^1 x) dx, \\
& k \lambda_m^1 \bar{a}_1 = \lambda_m^2 \bar{a}_2 + k \int_{-h_1}^0 d_m^j \cosh(\lambda_m^1 x) dx, \quad k = k_1/k_2.
\end{aligned} \tag{1.2.90}$$

Решение системы (1.2.90) таково

$$\begin{aligned}
\bar{a}_1 &= \frac{\bar{f}(s) \cosh(\lambda_m^1 h_1)}{\Delta}, \\
\bar{b}_1 &= \frac{\bar{f}(s) \sinh(\lambda_m^1 h_1)}{\Delta}, \\
\bar{a}_2 &= k \lambda_m \bar{a}_1 - \frac{k}{\lambda_m^2} \int_{h_1}^0 d_m^1 \cosh(\lambda_m^1 x) dx, \quad \lambda_m = \lambda_m^1/\lambda_m^2, \\
\bar{b}_2 &= \bar{b}_1 + \frac{1}{\lambda_m^1} \int_{h_1}^0 d_m^1 \sinh(\lambda_m^1 x) dx, \\
\Delta &= \lambda_m^2 \sinh(\lambda_m^1 h_1) \cosh(\lambda_m^2 h_2) + k \lambda_m^1 \cosh(\lambda_m^1 h_1) \sinh(\lambda_m^2 h_2), \\
\bar{f}(s) &= \int_0^{h_2} d_m^2 \sinh(\lambda_m^2 (h_2 - x)) dx + \\
&+ \int_{h_1}^0 d_m^1 \left(\frac{1}{\lambda_m} \cosh(\lambda_m^2 h_2) \sinh(\lambda_m^1 x) - k \sinh(\lambda_m^2 h_2) \cosh(\lambda_m^1 x) \right) dx.
\end{aligned} \tag{1.2.91}$$

Оригиналы D_m^j восстанавливаются с помощью формулы обратного преобразования Лапласа. Следовательно, справедлива

Лемма 2.2.1. Решение задачи (1.2.83) - (1.2.85) представимо в виде формальных рядов Фурье (1.2.82) с коэффициентами $D_m^j(z, t)$, определяемые путём обращения преобразования Лапласа формул (1.2.89), (1.2.91).

О сходимости рядов (1.2.82)

Рассмотрим задачу для $D_m^j(z, t)$. Обозначим для краткости

$$u_j(z, t) = D_m^j(z, t), \quad \beta_j = \chi_j \frac{\xi_m^2}{R^2}, \quad (1.2.92)$$

$$u_{j0}(z) = D_m^j(z, 0), \quad f_j(z, t) = F_m^j(z, t). \quad (1.2.93)$$

Тогда, с учётом (1.2.92), (1.2.93), задача (1.2.83) - (1.2.85) примет вид

$$u_{1t} - \chi_1 u_{1zz} + \beta_1 u_1 + f_1(z, t) = 0, \quad -h_1 < z < 0, \quad (1.2.94)$$

$$u_{2t} - \chi_2 u_{2zz} + \beta_2 u_2 + f_2(z, t) = 0, \quad 0 < z < h_2, \quad (1.2.95)$$

$$u_1(-h_1, t) = 0, \quad u_2(h_2, t) = 0, \quad (1.2.96)$$

$$u_1(0, t) = u_2(0, t), \quad u_{1z}(0, t) = u_{2z}(0, t), \quad (1.2.97)$$

$$u_{j0} = \frac{2}{R^2 J_1^2(\xi_m)} \int_0^R r \left[\Theta_j^0(r, z) - \frac{r^2}{R^2} T_j(z, 0) \right] J_0 \left(\frac{\xi_m r}{R} \right) dr. \quad (1.2.98)$$

Замечание 1.2.3. Полученная начально-краевая задача (1.2.94) - (1.2.98) для функции $u_j(z, t)$ подобна задаче (1.2.24) - (1.2.28) для функции $\bar{v}_j(z, t)$. Тогда, учитывая (1.2.92), оценки для следующих функций $|D_m^j(z, t)|$, $|\partial D_m^j(z, t)/\partial t|$, $|\partial^2 D_m^j(z, t)/\partial^2 z|$ будут также подобны оценкам для функций $|\bar{v}_j(z, t)|$, $|\bar{v}_{jt}(z, t)|$, $|\bar{v}_{jzz}(z, t)|$ соответственно ((1.2.41), (1.2.43), (1.2.48)).

Значит для функций $|D_m^j(z, t)|$ при $t \in [0, T]$ имеем следующую оценку

$$|D_m^j(z, t)| \leq \left\{ \frac{8}{k_j \rho_j c_{p_j}} Q_1(t) [2TQ_1(t) + e^{-2\delta t} \left(\rho_1 c_{p_1} \int_{-h_1}^0 u_{10}^2 dz + \rho_2 c_{p_2} \int_0^{h_2} u_{20}^2 dz \right)] \right\}^{1/4}, \quad (1.2.99)$$

где δ определяется формулой (1.2.33) и

$$Q_1(t) = \rho_1 c_{p_1} \int_0^t \int_{-h_1}^0 f_1^2(z, \tau) dz d\tau + \rho_2 c_{p_2} \int_0^t \int_0^{h_2} f_2^2(z, \tau) dz d\tau + k_1 \int_{-h_1}^0 \left(\frac{\partial u_{10}}{\partial z} \right)^2 dz + k_2 \int_0^{h_2} \left(\frac{\partial u_{20}}{\partial z} \right)^2 dz. \quad (1.2.100)$$

Используя неравенство $(a + b)^2 \leq 2a^2 + 2b^2$ и асимптотическую формулу для функции Бесселя, получим при $m \gg 1$

$$\begin{aligned} f_j^2 &\leq \frac{4\pi}{\xi_m} \left[\frac{4\chi_j^2}{R^4} \left(8T_j^2 + \frac{R^4}{\xi_m^4} (\xi_m^4 + 16) T_{jzz}^2 \right) + \frac{1}{\xi_m^4} (\xi_m^4 + 16) T_{jt}^2 \right], \\ u_{j0}^2 &\leq \frac{4\pi^2 \xi_m^2}{R^2} \left[\int_0^R r^2 (\Theta_j^0) dr + \frac{4R^4}{\pi^2 \xi_m^8} (\xi_m^4 + 16) T_j^2(z, 0) \right]. \end{aligned} \quad (1.2.101)$$

Далее, для функция $|\partial D_m^j(z, t)/\partial t|$ имеем следующую оценку ($\bar{u}_j = u_{jt}$, $\bar{u}_j(z, 0) = \bar{u}_{j0}$)

$$\begin{aligned} \left| \frac{\partial D_m^j(z, t)}{\partial t} \right| &\leq \left\{ \frac{8}{k_j \rho_j c_{p_j}} Q_2(t) [2T Q_2(t) + \right. \\ &\quad \left. + e^{-2\delta t} \left(\rho_1 c_{p_1} \int_{-h_1}^0 \bar{u}_{10}^2 dz + \rho_2 c_{p_2} \int_0^{h_2} \bar{u}_{20}^2 dz \right) \right] \right\}^{1/4}, \end{aligned} \quad (1.2.102)$$

где

$$\begin{aligned} Q_2(t) &= \rho_1 c_{p_1} \int_0^t \int_{-h_1}^0 f_{1t}^2(z, \tau) dz d\tau + \rho_2 c_{p_2} \int_0^t \int_0^{h_2} f_{2t}^2(z, \tau) dz d\tau + \\ &\quad + k_1 \int_{-h_1}^0 \left(\frac{\partial \bar{u}_{10}}{\partial z} \right)^2 dz + k_2 \int_0^{h_2} \left(\frac{\partial \bar{u}_{20}}{\partial z} \right)^2 dz, \\ \bar{u}_{j0} &= \chi_j \frac{d^2 u_{j0}}{dz^2} - \beta_j u_{j0} + f_{jt}(z, 0). \end{aligned} \quad (1.2.103)$$

Используя уравнения (1.2.83), обозначения (1.2.93), оценки для функций $|D_m^j(z, t)|$, $|\partial D_m^j(z, t)/\partial t|$, находим оценку для функции $|\partial^2 D_m^j(z, t)/\partial z^2|$

$$\left| \frac{\partial^2 D_m^j(z, t)}{\partial z^2} \right| \leq \frac{1}{\chi_j} \left(\left| \frac{\partial D_m^j(z, t)}{\partial t} \right| + \beta_j |D_m^j(z, t)| + |f_j(z, t)| \right). \quad (1.2.104)$$

Разложим в ряд Фурье функцию температуры на боковой поверхности цилиндра с учётом (1.2.4)

$$T_j(z, t) = \sum_{m=1}^{\infty} \bar{a}_m^j(t) \sin \left(\frac{\pi m z}{h_j} \right),$$

откуда

$$\bar{a}_m^j(t) = \frac{(-1)^j}{h_j} \int_{l_j} T_j(z, t) \sin \frac{\pi n z}{h_j} dz, \quad (1.2.105)$$

Пусть функции $|\bar{a}_m^j(t)|$ удовлетворяют следующим условиям

$$|\bar{a}_m^j(t)| \leq \frac{|\bar{a}^j(t)|}{m^{1+s_1+\varepsilon_1}}, \quad (1.2.106)$$

где $\varepsilon_1 > 0$, $s_1 \geq 3/2$, функции $|\bar{a}^j(t)|$, а также её производные $|\bar{a}_t^j(t)|$ и $|\bar{a}_{tt}^j(t)|$ ограничены при $t \in [0, T]$. Потребуем, чтобы: 1) функции $T_j(z, t)$ имели непрерывные производные третьего порядка на l_j при $t \in [0, T]$; 2) функции $\Theta_j^0(r, z)$, $\Theta_{jz}^0(r, z)$, $\Theta_{jzz}^0(r, z)$ были ограничены в пространстве $L_2([0, R] \times l_j)$, то есть $\|\Theta_j^0(r, z)\|_{L_2([0, R] \times l_j)} < \infty$, $\|\Theta_{jz}^0(r, z)\|_{L_2([0, R] \times l_j)} < \infty$, $\|\Theta_{jzz}^0(r, z)\|_{L_2([0, R] \times l_j)} < \infty$. Так как при больших m имеем $\xi_m \approx \pi m$ [16], используя неравенство $|\sin(x)| \leq 1$, получим, что по признаку Вейерштрасса [19] с учётом (1.2.100) и неравенств (1.2.101) ряд для функций $D_m^j(z, t)$ будет сходиться абсолютно и равномерно. При тех же условиях будет абсолютно и равномерно сходиться ряд для функций $\partial D_m^j(z, t)/\partial t$. Что касается ряда для функции $\partial^2 D_m^j(z, t)/\partial z^2$, то в виду второго слагаемого в неравенстве (1.2.104), с учётом (1.2.92) он будет сходиться абсолютно и равномерно при $s_1 \geq 7/2$.

Как уже было отмечено ранее, $|J_0(\xi_m r/R)| \leq 1$ [16]. Поэтому, с учётом (1.2.82), справедливы следующие неравенства

$$\begin{aligned} |\Theta_j| &\leq \sum_{m=1}^{\infty} |D_m^j(z, t)|, & \left| \frac{\partial \Theta_j}{\partial t} \right| &\leq \sum_{m=1}^{\infty} \left| \frac{\partial D_m^j(z, t)}{\partial t} \right|, \\ \left| \frac{\partial^2 \Theta_j}{\partial z^2} \right| &\leq \sum_{m=1}^{\infty} \left| \frac{\partial^2 D_m^j(z, t)}{\partial z^2} \right|. \end{aligned} \quad (1.2.107)$$

Так как было показано, что выражения для функций $D_m^j(z, t)$, $\partial D_m^j(z, t)/\partial t$ и $\partial^2 D_m^j(z, t)/\partial z^2$ сходятся абсолютно и равномерно, то, с учётом поставленных условий для функции $T_j(z, t)$ и $\Theta_j^0(r, z)$, по признаку Вейерштрасса [19] ряды для функций $\Theta_j(r, z, t)$, $\partial \Theta_j(r, z, t)/\partial t$ и $\partial^2 \Theta_j(r, z, t)/\partial z^2$ также сходятся абсолютно и равномерно.

Далее, используя рекуррентные формулы для функции Бесселя $J_0(x)$, неравенство (1.1.20), получим

$$\begin{aligned} \left| \frac{\partial^2 \Theta_j}{\partial r^2} \right| &\leq \frac{1}{R} \sum_{m=1}^{\infty} |D_m^j(z, t)| \xi_m \left[\left| \frac{1}{r} J_1 \left(\frac{\xi_m r}{R} \right) \right| + \left| \frac{\xi_m}{R} J_0 \left(\frac{\xi_m r}{R} \right) \right| \right] \leq \\ &\leq \frac{3}{2R^2} \sum_{m=1}^{\infty} \xi_m^2 |D_m^j(z, t)|, \end{aligned} \quad (1.2.108)$$

$$\left| \frac{1}{r} \frac{\partial \Theta_j}{\partial r} \right| \leq \frac{1}{R} \sum_{m=1}^{\infty} |D_m^j(z, t)| \xi_m \left| \frac{1}{r} J_1 \left(\frac{\xi_m r}{R} \right) \right| \leq \frac{1}{2R^2} \sum_{m=1}^{\infty} \xi_m^2 |D_m^j(z, t)|. \quad (1.2.109)$$

Очевидно, что ряды для функций $r^{-1}\partial\Theta_j(r, z, t)/\partial r$, $\partial^2\Theta_j(r, z, t)/\partial r^2$ сходятся абсолютно и равномерно, если справедливо условие (1.2.106) при $s_1 \geq 3.5$.

Таким образом, нами доказана

Теорема 1.2.2. Ряды для функций Θ_j , Θ_{jt} , Θ_{jzz} , $r^{-1}\Theta_{jr}$, Θ_{jrr} сходятся абсолютно и равномерно, если: 1) справедливо условие (1.2.106) при $s_1 \geq 3.5$, где $\varepsilon_1 > 0$ и функции $|\bar{a}^j(t)|$, а также её производные $|\bar{a}_t^j(t)|$ и $|\bar{a}_{tt}^j(t)|$ ограничены при $t \in [0, T]$; 2) функции $T_j(z, t)$ имеют непрерывные производные третьего порядка на l_j при $t \in [0, T]$; 3) функции $\Theta_j^0(r, z)$, $\Theta_{jz}^0(r, z)$, $\Theta_{jzz}^0(r, z)$, $\Theta_{jzzz}^0(r, z)$ ограничены в пространстве $L_2([0, R] \times l_j)$.

Таким образом, при сформулированных условиях решение задачи (1.2.1) - (1.2.4) для случая, когда $T_j(z, t) \neq 0$, $A_j(r, z) = 0$ является классическим.

Выход решения на стационарный режим

Докажем, что решение задачи (1.2.1) - (1.2.4) сходится при $t \rightarrow \infty$ к решению стационарной задачи (1.1.1), (1.1.2), представленной в виде линейной комбинации (1.1.5) и (1.1.11). Произведём замену

$$\Theta_j(r, z, t) = \bar{\Theta}_j(r, z, t) + \frac{z^2}{h_j^2} [A_j(r, t) - A_j(R, t)] + T_j(z, t). \quad (1.2.110)$$

тогда $\bar{\Theta}_j$ есть решение начально-краевой задачи

$$\bar{\Theta}_{jt} = \chi_j \Delta \bar{\Theta}_j + g_j, \quad (1.2.111)$$

$$\bar{\Theta}_j(r, z, 0) = \Theta_j^0(r, z) - \frac{z^2}{h_j^2} [A_j(r, 0) - A_j(R, 0)] - T_j(z, 0), \quad (1.2.112)$$

$$\bar{\Theta}_j(R, z, t) = 0, \quad \bar{\Theta}_1(r, -h_1, t) = 0, \quad \bar{\Theta}_1(r, h_2, t) = 0, \quad (1.2.113)$$

$$\bar{\Theta}_1(r, 0, t) = \bar{\Theta}_2(r, 0, t), \quad k_1 \frac{\partial \bar{\Theta}_1}{\partial z}(r, 0, t) = k_2 \frac{\partial \bar{\Theta}_2}{\partial z}(r, 0, t),$$

где

$$g_j(r, z, t) = \frac{\chi_j}{h_j^2} [2A_j(r, t) + z^2 \Delta_1 A_j(r, t) - 2A_j(R, t)] + \frac{z^2}{h_j^2} [A_{jt}(R, t) - A_{jt}(r, t)] + \chi_j T_{jzz} - T_{jt}, \quad (1.2.114)$$

$$\Delta_1 A_j = A_{jrr} + \frac{1}{r} A_{jr}.$$

Заметим, что для функций $\bar{\Theta}_j$ имеют место неравенства Фридрикса

$$\int_{\Omega_j} |\bar{\Theta}_j|^2 d\Omega \leq \frac{h_j^2}{2} \int_{\Omega_j} |\nabla \bar{\Theta}_j|^2 d\Omega_j. \quad (1.2.115)$$

Действительно,

$$\bar{\Theta}_1(r, z, t) = \int_{-h_1}^z \bar{\Theta}_{1z}(r, z, t) dz, \quad \bar{\Theta}_2(r, z, t) = \int_{h_2}^z \bar{\Theta}_{2z}(r, z, t) dz,$$

откуда, используя неравенство Коши Буняковского,

$$\bar{\Theta}_1^2 \leq (z + h_1) \int_{-h_1}^0 \bar{\Theta}_{1z}^2 dz, \quad \bar{\Theta}_2^2 \leq (h_2 - z) \int_0^{h_2} \bar{\Theta}_{2z}^2 dz.$$

Интегрируя последние неравенства по Ω_j , приходим к (1.2.115), так как $\bar{\Theta}_{jz}^2 \leq |\nabla \bar{\Theta}_j|^2 = \bar{\Theta}_{jr}^2 + \bar{\Theta}_{jz}^2$.

Умножим уравнение (1.2.111) при $j = 1$ на $\rho_1 c_{p_1} \bar{\Theta}_1$ и при $j = 2$ на $\rho_2 c_{p_2} \bar{\Theta}_2$, проинтегрируем по Ω_j и результаты сложим, получим тождество

$$\begin{aligned} E_t + k_1 \int_{\Omega_1} |\nabla \bar{\Theta}_1|^2 d\Omega_1 + k_2 \int_{\Omega_2} |\nabla \bar{\Theta}_2|^2 d\Omega_2 = \\ = \rho_1 c_{p_1} \int_{\Omega_1} g_1 \bar{\Theta}_1 d\Omega_1 + \rho_2 c_{p_2} \int_{\Omega_2} g_2 \bar{\Theta}_2 d\Omega_2, \end{aligned} \quad (1.2.116)$$

с функцией $E(t)$, равной

$$E(t) = \frac{1}{2} \rho_1 c_{p_1} \int_{\Omega_1} \bar{\Theta}_1^2 d\Omega_1 + \frac{1}{2} \rho_2 c_{p_2} \int_{\Omega_2} \bar{\Theta}_2^2 d\Omega_2. \quad (1.2.117)$$

Левая часть (1.2.116), в силу неравенств (1.2.115), больше или равна

$$E_t + 4\delta E, \quad \delta = \min_{j=1,2} \left(\frac{k_j}{h_j^2 \rho_j c_{p_j}} \right) = \min_{j=1,2} \left(\frac{\chi_j}{h_j^2} \right), \quad (1.2.118)$$

а правая часть не превосходит

$$\begin{aligned} \rho_1 c_{p_1} \left(\int_{\Omega_1} g_1^2 d\Omega_1 \right)^{1/2} \left(\int_{\Omega_1} \bar{\Theta}_1^2 d\Omega_1 \right)^{1/2} + \\ + \rho_2 c_{p_2} \left(\int_{\Omega_2} g_2^2 d\Omega_2 \right)^{1/2} \left(\int_{\Omega_2} \bar{\Theta}_2^2 d\Omega_2 \right)^{1/2} \leq 2G(t) \sqrt{E(t)} \end{aligned} \quad (1.2.119)$$

с функцией

$$G(t) = \left(\frac{\rho_1 c_{p_1}}{2} \int_{\Omega_1} g_1^2 d\Omega_1 \right)^{1/2} + \left(\frac{\rho_2 c_{p_2}}{2} \int_{\Omega_2} g_2^2 d\Omega_2 \right)^{1/2}. \quad (1.2.120)$$

Теперь из (1.2.118) - (1.2.120) следует неравенство

$$E_t + 4\delta E \leq 2G(t)\sqrt{E(t)},$$

интегрирование которого приводит к оценке

$$E(t) \leq \left(\sqrt{E(0)} + \int_0^t G(\tau) e^{2\delta\tau} d\tau \right)^2 e^{-4\delta t}. \quad (1.2.121)$$

Тем самым L_2 -нормы $\bar{\Theta}_j$ ограничены при $t \in [0, T]$, если ограничены на этом промежутке аналогичные нормы $A_j, A_{jt}, \Delta_1 A_1, T_{jt}, T_{jzz}$.

Оценим L_2 -нормы $\nabla \bar{\Theta}_j$. Для этого умножим уравнения (1.2.111) на $\rho_j c_{p_j} \bar{\Theta}_{jt}$, проинтегрируем по области Ω_j и результаты сложим. Получим другое интегральное тождество

$$\begin{aligned} & \rho_1 c_{p_1} \int_{\Omega_1} \bar{\Theta}_{1t}^2 d\Omega_1 + \rho_2 c_{p_2} \int_{\Omega_2} \bar{\Theta}_{2t}^2 d\Omega_2 + \frac{1}{2} \frac{\partial}{\partial t} \left(k_1 \int_{\Omega_1} |\nabla \bar{\Theta}_1|^2 d\Omega_1 + \right. \\ & \left. + k_2 \int_{\Omega_2} |\nabla \bar{\Theta}_2|^2 d\Omega_2 \right) = \rho_1 c_{p_1} \int_{\Omega_1} \bar{\Theta}_{1t} g_1 d\Omega_1 + \rho_2 c_{p_2} \int_{\Omega_2} \bar{\Theta}_{2t} g_2 d\Omega_2. \end{aligned} \quad (1.2.122)$$

В выводе (1.2.122) использована теорема Гаусса - Остроградского и равенство $\bar{\Theta}_{1t}(r, 0, t) = \bar{\Theta}_{2t}(r, 0, t)$. Поскольку правая часть тождества (1.2.122) не превосходит

$$\frac{\rho_1 c_{p_1}}{2} \int_{\Omega_1} \bar{\Theta}_{1t}^2 d\Omega_1 + \frac{\rho_2 c_{p_2}}{2} \int_{\Omega_2} \bar{\Theta}_{2t}^2 d\Omega_2 + \frac{\rho_1 c_{p_1}}{2} \int_{\Omega_1} g_1^2 d\Omega_1 + \frac{\rho_2 c_{p_2}}{2} \int_{\Omega_2} g_2^2 d\Omega_2,$$

приходим к оценке

$$\begin{aligned} & k_1 \int_{\Omega_1} |\nabla \bar{\Theta}_1|^2 d\Omega_1 + k_2 \int_{\Omega_2} |\nabla \bar{\Theta}_2|^2 d\Omega_2 \leq k_1 \int_{\Omega_1} |\nabla \bar{\Theta}_1^0|^2 d\Omega_1 + \\ & + k_2 \int_{\Omega_2} |\nabla \bar{\Theta}_2^0|^2 d\Omega_2 + \rho_1 c_{p_1} \int_0^t \int_{\Omega_1} g_1^2 d\Omega_1 d\tau + \rho_2 c_{p_2} \int_0^t \int_{\Omega_2} g_2^2 d\Omega_2 d\tau \equiv F(t), \end{aligned}$$

откуда

$$\int_{\Omega_j} |\nabla \bar{\Theta}_j|^2 d\Omega_j \leq \frac{F(t)}{k_j}, \quad (1.2.123)$$

Из полученных оценок (1.2.115), (1.2.123) следует

Лемма 1.2.4. Решение начально-краевой задачи (1.2.1) - (1.2.3) единственно при $t \in [0, T]$, причём $\Theta_j, \nabla \Theta_j, \Theta_{jt}, \Delta \Theta_j \in L_2(\Omega_j)$, если $\Theta_j^0, \nabla \Theta_j^0, \Delta \Theta_j^0 \in L_2(\Omega_j)$, $A_j, A_{jt}, A_{jtt}, \Delta_1 A_j, \Delta_1 A_{jt} \in L_2(\Gamma)$, где $\Gamma = [0, R]$ и $T_{jt}, T_{jzz}, T_{jtt}, T_{jtz} \in L_2(l_j)$, здесь $l_1 = [-h_1, 0]$, $l_2 = [0, h_2]$

Действительно, согласно замене (1.2.110) и оценкам (1.2.115), (1.2.123) имеем

$$\begin{aligned} \int_{\Omega_j} |\Theta_j|^2 d\Omega_j &\leq \frac{4E(t)}{\rho_j c_{p_j}} + \frac{2}{5} h_j \int_{\Gamma} |A_j|^2 d\Gamma + 2 \int_{l_j} |T_j|^2 dz, \quad (d\Gamma = r dr), \\ \int_{\Omega_j} |\nabla \Theta_j|^2 d\Omega_j &\leq \frac{2F(t)}{k_j} + \frac{2}{5} h_j \int_{\Gamma} |A_{jr}|^2 d\Gamma + \frac{8}{3h_j} \int_{\Gamma} |A_j|^2 d\Gamma + 2 \int_{l_j} |T_{jz}|^2 dz. \end{aligned} \quad (1.2.124)$$

При $\Theta_j^0 \equiv 0$, $A_j \equiv 0$, $T_j \equiv 0$ имеем $E(t) \equiv 0$, $F(t) \equiv 0$, значит $\Theta_j \equiv 0$, откуда и следует единственность решения.

Дифференцированием по времени задачи (1.2.1) - (1.2.3), проводя аналогичные оценки, получим $\Theta_{jt} \in L_2(\Omega_j)$. Для этого необходимо предполагать, что $A_{jtt}, \Delta_1 A_{jt} \in L_2(\Gamma)$, $T_{jtt}, T_{jtz} \in L_2(l_j)$, $\Delta \Theta_j^0 \in L_2(\Omega_j)$. Первые два возникают при дифференцировании функций g_j из (1.2.114), а третьи – при нахождении начальных условий для $\bar{\Theta}_{jt}(r, z, 0) = \chi_j \Delta \Theta_j^0 + g_{jt}(r, z, 0)$. Принадлежность $\Delta \Theta_j \in L_2(\Omega_j)$ теперь вытекает из уравнений (1.2.1). Лемма доказана.

Теорема 1.2.3. Решение нестационарной начально-краевой задачи (1.2.1) - (1.2.3) с ростом времени выходит на стационарный режим в пространстве L_2 , если

$$\int_0^{\infty} \|A_j^s - A_j\|_{L_2(\Gamma)} e^{\delta\tau} d\tau < \infty, \quad \int_0^{\infty} \|T_j^s - T_j\|_{L_2(l_j)} e^{\delta\tau} d\tau < \infty. \quad (1.2.125)$$

Доказательство. Пусть $\Theta_j^s(r, z)$ – есть линейная комбинация стационарных решений (1.1.5) и (1.1.11) задачи (1.1.1), (1.1.2) с данными

$$\begin{aligned} \Theta_1^s(r, -h_1) &= A_1^s(r), \quad \Theta_2^s(r, h_2) = A_2^s(r), \\ \Theta_j^s(R, z) &= T_j^s(z). \end{aligned}$$

Введём обозначения

$$N_j(r, z, t) = \Theta_j^s(r, z) - \Theta_j(r, z, t),$$

$$N_{j0}(r, z, 0) = \Theta_j^s(r, z) - \Theta_j^0(r, z, 0).$$

Тогда $N_j(r, z, t)$ удовлетворяют той же сопряжённой задаче, что и $\Theta_j(r, z, t)$, но с изменёнными данными.

Значит справедливы оценки вида (1.2.121), (1.2.123) уже для N_j и при выполнении (1.2.125) получим неравенства

$$\|\Theta_j - \Theta_j^s\|_{L_2(\Gamma \times l_j)} \leq C_j e^{-\delta t}. \quad (1.2.126)$$

и решение нестационарной задачи с ростом времени выходит на стационарный режим, найденный в пункте 1.1.1.

Полученная оценка (1.2.126) показывает, что стационарное решение $\Theta_j^s(r, z)$ является экспоненциально устойчивым в L_2 -нормах, если выполнены условия (1.2.125).

2 Решение спектральных задач о потере устойчивости равновесия жидкостей в конечном цилиндре

В данной главе рассматриваются задачи о потере устойчивости равновесия двух жидкостей в цилиндре при наличии границы раздела и однослойной жидкости в цилиндрическом контейнере с верхней свободной границей, на которой задано третье краевое условие – теплообмен с окружающей средой. В первом и во втором случае получена явная зависимость числа Марангони (спектрального параметра) от геометрических параметров сосуда и физических параметров жидкостей.

2.1 Возникновение конвекции в двухслойной системе жидкостей в конечном цилиндре

Рассмотрим стационарный осесимметрический случай, когда цилиндрический контейнер, заполненный двумя покоящимися жидкостями с общей поверхностью раздела (рисунок 1). Обозначим через $\Omega_1 = (0, R) \times (-h_1, 0)$ и $\Omega_2 = (0, R) \times (0, h_2)$ области, которые занимают соответственно первая и вторая жидкости. Здесь R, h_1, h_2 – радиус цилиндра и высоты слоёв соответственно. Тогда из (1) получим

$$\mathbf{u}_j = 0, \quad (2.1.1)$$

$$p_{jz} = \rho_{oj}g\beta_j\Theta_j, \quad (2.1.2)$$

$$\Theta_j = A_jz + B_j. \quad (2.1.3)$$

На общей поверхности раздела Γ ($z = 0$) условия равенства температур (8), потоков тепла (25), динамическое и кинематическое условия (21), (3) соответственно примут вид

$$\Theta_1 = \Theta_2, \quad k_1 \frac{\partial \Theta_1}{\partial z} = k_2 \frac{\partial \Theta_2}{\partial z}, \quad (2.1.4)$$

$$(-p_2 + p_1) \mathbf{n} = \nabla_{11}\sigma, \quad V_n = 0, \quad (2.1.5)$$

где V_n – скорость перемещения поверхности раздела Γ в направлении \mathbf{n} . Заметим, что поверхность раздела суть плоскость, поэтому её средняя кривизна равна нулю. Для давления получаем следующее выражение

$$p_j = \rho_{oj}g\beta_j \left(\frac{A_j}{2} z^2 + B_j z \right) + C_j, \quad C_j = \text{const.}$$

На основаниях соответственно задаётся температура Θ_{01} и Θ_{02} . Исходя из этого и из условий (2.1.4) температурные коэффициенты вычисляются следующим

образом

$$\begin{aligned} A_1 &= \frac{k(\Theta_{02} - \Theta_{01})}{h_2 + kh_1}, & A_2 &= \frac{\Theta_{02} - \Theta_{01}}{h_2 + kh_1}, \\ B_1 = B_2 &= \frac{kh_1\Theta_{02} + h_2\Theta_{01}}{h_2 + kh_1}, & k &= k_2/k_1. \end{aligned} \quad (2.1.6)$$

Заметим, что $A_1 = kA_2$, причём A_1, A_2 зависят от разности температур на основаниях цилиндров. Далее предполагаем, что $\Theta_{02} = 0$, так что

$$A_1 = -\frac{k\Theta_{01}}{h_2 + kh_1}, \quad A_2 = -\frac{\Theta_{01}}{h_2 + kh_1}, \quad B_1 = B_2 = \frac{h_2\Theta_{01}}{h_2 + kh_1} \quad (2.1.7)$$

2.1.1 Возмущённое решение

Когда температура на нижнем основании достигает некоторого критического значения, то возникает движение – конвекция. С целью определения Θ_{01} рассматривается линеаризованная на равновесном состоянии (2.1.1) - (2.1.6) задача о малых осесимметрических возмущениях системы в рамках модели Обербека-Буссинеска (1), решение которой ищется в виде нормальных волн

$$(\mathbf{U}_j, P_j, T_j, N) = (\mathbf{U}_j(r, z), P_j(r, z), T_j(r, z), N(r)) \exp[-iCt],$$

где $P_j, T_j, \mathbf{U}_j = (U_j, V_j, W_j)$ – возмущение основного решения p_j, Θ_j и $\mathbf{u}_j = (u_j, v_j, w_j)$; N – отклонение амплитуды возмущений свободной границы по нормали; $C = C_r + iC_i$ – комплексный декремент. Далее применяем принцип монотонности возмущений, то есть полагаем $C = 0$. Тогда в безразмерных переменных (в качестве масштаба длины, времени, скорости, давления и температуры выбраны соответственно $h_1, h_1^2/\nu_1, \nu_1/h_1, \rho_1\nu_1^2/h_1^2, A_1h_1$) получим в областях $\Omega_1 = (0, 1/\alpha) \times (-h, 0)$ и $\Omega_2 = (0, 1/\alpha) \times (0, 1)$, где $\alpha = h_1/R, h = h_1/h_2$ задачу в безразмерных переменных

$$P_{jr} = \frac{\mu_j}{\mu_1} \left(U_{jrr} + \frac{1}{r}U_{jr} + U_{jzz} - \frac{1}{r^2}U_j \right), \quad (2.1.8)$$

$$P_{jz} - \frac{\beta_j\rho_j}{\beta_1\rho_1}GT_j = \frac{\mu_j}{\mu_1} \left(W_{jrr} + \frac{1}{r}W_{jr} + W_{jzz} \right), \quad (2.1.9)$$

$$U_{jr} + \frac{1}{r}U_j + W_{jz} = 0, \quad (2.1.10)$$

$$\frac{k_1}{k_j}W_j = \frac{\chi_j}{\chi_1\text{Pr}} \left(T_{jrr} + \frac{1}{r}T_{jr} + T_{jzz} \right). \quad (2.1.11)$$

где $\rho = \rho_2/\rho_1; \mu = \mu_2/\mu_1; \beta = \beta_2/\beta_1; \chi = \chi_2/\chi_1; k = k_2/k_1; \text{Pr} = \nu_1/\chi_1$ – число Прандтля; $G = A_1g\beta_1h_1^4/\nu_1^2$ – число Грасгофа.

Граничные условия на поверхности раздела таковы

$$kT_1 + kN = T_2 + N, \quad (2.1.12)$$

$$\mathbf{U}_1 = \mathbf{U}_2, \quad (2.1.13)$$

$$P_1 - P_2 + 2(\mu W_{2z} - W_{1z}) = \{(\rho\beta - 1)G' + (1 - \rho)Ga\}N + \\ + \text{We} \left(N_{rr} + \frac{1}{r}N_r \right), \quad (2.1.14)$$

$$\mu(W_{2r} + U_{2z}) - (W_{1r} + U_{1z}) = -M(N_r + T_{1r}), \quad (2.1.15)$$

$$kT_{2z} - T_{1z} = M_1 \left(U_{1r} + \frac{1}{r}U_1 + \frac{1}{r}V_1 \right), \quad (2.1.16)$$

$$W_1 = 0, \quad (2.1.17)$$

где $\text{We} = \sigma h_1 / \rho_1 \nu_1^2$ – число Вебера; $M = A_1 \alpha h_1^2 / \rho_1 \nu_1^2$ – число Марангони; $Ga = gh_1^3 / \nu_1^2$ – число Галилео; $G' = B_1 g \beta_1 h_1^3 / \nu_1^2$ – число Грасгофа; $M_1 = \alpha^2 B_1 \nu_1 / k_1 \rho_1 \nu_1$. Параметр M_1 характеризует энергию, затрачиваемую на деформацию поверхности раздела. Заметим, что в силу (2.1.6), числа M , G' и G прямо пропорциональны искомой температуре на нижнем основании цилиндра. Выразим G , G' и M_1 через M

$$G = \frac{g\beta_1 h_1^2 \rho_1}{\alpha} M, \quad G' = -\frac{g\beta_1 h_1^2 \rho_1}{kh\alpha} M, \quad M_1 = -\frac{\alpha \nu_1}{k_2 h_1 h} M. \quad (2.1.18)$$

Таким образом задача (2.1.8) - (2.1.17) является спектральной относительно параметра M – числа Марангони. Особенностью этой задачи является, в силу (2.1.18), вхождение спектрального параметра в систему уравнений (2.1.8) - (2.1.11) и граничные условия (2.1.12) - (2.1.17).

На основаниях цилиндра выполняются условия прилипания и возмущения температур равны нулю ($0 < r < 1/\alpha$)

$$U_1(r, -h) = W_1(r, -h) = 0, \quad T_1(r, -h) = 0. \quad (2.1.19)$$

$$U_2(r, 1) = W_2(r, 1) = 0, \quad T_2(r, 1) = 0. \quad (2.1.20)$$

На боковых стенках контейнера справедливо условие просачивания жидкости по нормали к ним

$$U_j \left(\frac{1}{\alpha}, z \right) \neq 0, \quad W_j \left(\frac{1}{\alpha}, z \right) = 0, \quad T_j \left(\frac{1}{\alpha}, z \right) = 0, \quad (2.1.21)$$

то есть жидкость может просачиваться по нормали к стенке, при этом её общий поток через всю боковую поверхность равен нулю.

Замечание 2.1.1. Общий поток жидкости через всю боковую поверхность равен нулю.

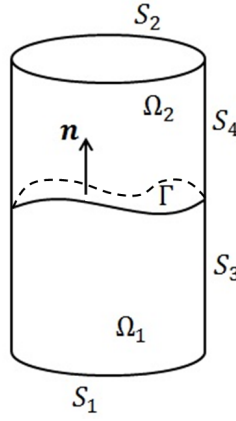


Рисунок 2. Цилиндр с поверхностью раздела

Действительно, рассмотрим рисунок 2. Пусть \mathbf{u}_j – скорость перемещения частиц j -ой жидкости. В области $\Omega_1 = (0, a) \times (-h_1, 0)$ имеем

$$0 = I_1 = \int_{\Omega_1} \operatorname{div} \mathbf{u}_1 d\Omega_1 = \int_{S_1} \mathbf{u}_1 \cdot \mathbf{n}_{S_1} dS_1 + \int_{S_3} \mathbf{u}_1 \cdot \mathbf{n}_{S_3} dS_3 + \int_{\Gamma} \mathbf{u}_1 \cdot \mathbf{n}_{\Gamma} d\Gamma.$$

Так как, на основаниях цилиндра выполняется условие прилипания, то в итоге получим, что

$$I_1 = \int_{S_3} \mathbf{u}_1 \cdot \mathbf{n}_{S_3} dS_3 + \int_{\Gamma} \mathbf{u}_1 \cdot \mathbf{n}_{\Gamma} d\Gamma.$$

Аналогичные рассуждения проводим для области $\Omega_2 = (0, a) \times (0, h_2)$

$$0 = I_2 = \int_{\Omega_2} \operatorname{div} \mathbf{u}_2 d\Omega_2 = \int_{S_4} \mathbf{u}_2 \cdot \mathbf{n}_{S_4} dS_4 - \int_{\Gamma} \mathbf{u}_2 \cdot \mathbf{n}_{\Gamma} d\Gamma.$$

Так как, на поверхности раздела Γ $\mathbf{u}_1 = \mathbf{u}_2$, то

$$I_1 + I_2 = \int_{S_3} \mathbf{u}_1 \cdot \mathbf{n}_{S_3} dS_3 + \int_{S_4} \mathbf{u}_2 \cdot \mathbf{n}_{S_4} dS_4 = 0$$

На всей боковой поверхности S нормаль $\mathbf{n}_S = (1, 0, 0)$; $\mathbf{u}_j = (u_j, v_j, w_j)$. Обозначим через

$$\mathbf{u} = \begin{cases} \mathbf{u}_1 & \text{на } S_3, \\ \mathbf{u}_2 & \text{на } S_4. \end{cases}$$

В итоге

$$\int_{S_3} \mathbf{u}_1 dS_3 + \int_{S_4} \mathbf{u}_2 dS_4 = \int_S \mathbf{u} dS = 0.$$

Данное равенство выполняется тогда и только тогда, когда $2\pi a \int_{-h_1}^{h_2} \mathbf{u}(a, z) = 0$, то есть расход $Q = 0$ через боковую поверхность (следствие уравнения сохранения масс). Если $\mathbf{u}|_S = 0$, то это тоже выполняется автоматически.

2.1.2 Зависимость числа Марангони от геометрии контейнера и физических параметров жидкости

Задача (2.1.8) - (2.1.21) допускает разделение переменных, именно

$$U_j = R_r(r)F_{jz}(z), \quad (2.1.22)$$

$$W_j = m^2 R(r)F_j(z), \quad (2.1.23)$$

$$T_j = m^2 R(r)D_j(z), \quad (2.1.24)$$

$$P_j = m^2 R(r)\Psi_j(z), \quad (2.1.25)$$

где

$$R = R_n(r) = J_0(mr), \quad (2.1.26)$$

здесь $m = \alpha\delta_n = h_1\delta_n/a$, а δ_n , $n = 1, 2, \dots$ есть решение уравнения

$$J_0(\delta) = 0. \quad (2.1.27)$$

Из (2.1.26), (2.1.27) получим, что условия на боковой поверхности для возмущения температуры и касательной скорости заведомо выполнены. Также заметим, что согласно (2.1.22) - (2.1.24) величина N пропорциональна $R(r)$, то есть

$$N \equiv N_0 m^2 J_0(mr), \quad N_0 = \text{const.}$$

Подстановка выражений (2.1.22) - (2.1.25) в уравнения (2.1.8) - (2.1.11) приводит к обыкновенному дифференциальному уравнению шестого порядка

$$\frac{1}{\text{Pr}} L^3 D_j - m^2 G D_j = 0, \quad (2.1.28)$$

где $L = d^2/dz^2 - m^2$. В результате функции D_j определяется с точностью до двенадцати постоянных, которые находятся из тринадцати граничных условий (N_0 входит в число неизвестных постоянных) (2.1.12) - (2.1.21). Функция $F_j(z)$ определяется равенством

$$F_j = \frac{k_j \chi_j}{k_1 \chi_1 \text{Pr}} L D_j. \quad (2.1.29)$$

В свою очередь $\Psi_j(z)$ есть

$$\Psi_j(z) = F_{jzzz} - m^2 F_{jz}.$$

Решение уравнения (2.1.28) выглядит следующим образом

$$\begin{aligned}
D_j = & \frac{H_{j1}}{3m^2} \left(\frac{8(\cosh(\lambda_{j1}z) - \cos(\lambda_{j3}z) \cosh(\lambda_{j2}z) - \sqrt{3} \sin(\lambda_{j3}z) \sinh(\lambda_{j2}z))}{b_j^2} + \right. \\
& \left. + \frac{4\sqrt{3} \sin(\lambda_{j3}z) \sinh(\lambda_{j2}z)}{b_j} \right) + \\
& + \frac{H_{j2}}{3m^2} \left(\frac{8(\cosh(\lambda_{j1}z) - \cos(\lambda_{j3}z) \sinh(\lambda_{j2}z) - \sqrt{3} \sin(\lambda_{j3}z) \cosh(\lambda_{j2}z))}{b_j^2} + \right. \\
& \left. + \frac{4\sqrt{3} \sin(\lambda_{j3}z) \cosh(\lambda_{j2}z)}{b_j} \right) + \\
& + \frac{H_{j3}}{3mb_j} \frac{4\sqrt{3} \sin(\lambda_{j3}z) \cosh(\lambda_{j2}z)}{b_j} + \frac{H_{j4}}{3m} \frac{4\sqrt{3} \sin(\lambda_{j3}z) \sinh(\lambda_{j2}z)}{b_j} + \\
& + H_{j5} \cosh(\lambda_{j1}z) + H_{j6} \sinh(\lambda_{j1}z), \tag{2.1.30}
\end{aligned}$$

где

$$\begin{aligned}
\lambda_{j1} &= m(1 + b_j)^{1/2}, \\
\lambda_{j2} &= \frac{\sqrt{2}}{2} m \left[1 - \frac{b_j}{2} + ((1 - b_j)^2 + b_j)^{1/2} \right]^{1/2}, \\
\lambda_{j3} &= \frac{mb_j \sqrt{6}}{4 \left[1 - \frac{b_j}{2} + ((1 - b_j)^2 + b_j)^{1/2} \right]^{1/2}}, \\
b_j &= \sqrt[3]{\frac{k_2 \nu_2 \chi_2 \beta_j \text{PrG}}{k_j \nu_j \chi_j \beta_j m^4}},
\end{aligned}$$

а H_{ji} , $i = 1..6$, $j = 1, 2$ — неизвестные постоянные. Используя (2.1.29), найдем функцию $F_j(z)$, а затем, подставляя найденное решение в условия (2.1.12)–(2.1.20), получим систему уравнений, которая будет являться однородной относительно постоянных H_{ji} , $i = 1..6$, $j = 1, 2$. Нетривиальное решение существует тогда и только тогда, когда её определитель равен нулю. Это даёт возможность найти критические числа Марангони путём аналитических вычислений в системе Maple. В результате доказана

Лемма 2.1.1. Критические числа Марангони зависят от геометрии контейнера и физических параметров жидкости $M(\alpha, h, \text{We}, \text{Ga}, \text{Pr}, \delta_n)$ и находятся в явном виде.

Формула, выражающая данную зависимость, приводиться не будет, так как имеет слишком громоздкий вид. Поэтому для анализа данной зависимости далее были рассмотрены конкретные жидкости, когда в нижней части цилиндра расположена муравьиная кислота, а в верхней – трансформаторное масло. Их физические параметры таковы: $\rho_2 = 0.86 \cdot 10^3$ кг/м³, $\rho_1 = 1.2196 \cdot 10^3$ кг/м³,

$\nu_2 = 18.49 \cdot 10^{-6} \text{ м}^2/\text{с}$, $\nu_1 = 1.2 \cdot 10^{-6} \text{ м}^2/\text{с}$, $\chi_2 = 1.21 \cdot 10^{-5} \text{ м}^2/\text{с}$, $\chi_1 = 1.7 \cdot 10^{-5} \text{ м}^2/\text{с}$, $k_2 = 0.63519 \cdot 10^{-4} \text{ кг м/с}^3\text{К}$, $k_1 = 1.55 \cdot 10^{-4} \text{ кг м/с}^3\text{К}$, $\beta_2 = 0.7 \cdot 10^{-3} \text{ К}^{-1}$, $\beta_1 = 1.025 \cdot 10^{-3} \text{ К}^{-1}$, $\varkappa = 0.0022 \text{ Н/мК}$, $\sigma = 3.81 \cdot 10^{-2} \text{ Н/м}$.

Ниже приведен ряд таблиц, в которых можно проследить зависимость $M(\delta_n, \alpha, h, \text{We}, \text{Ga})$

Таблица 1. $\text{We} = 10^4$, $\text{Ga} = 1.32 \cdot 10^7$, $h = 1$, $\alpha = 1$						
δ	2.40482	5.52	14.93	21.212	27.493	33.776
M	-2.0067	-80.67	-475.86	-2643.11	-3600	-4645.4

Таблица 2. $\text{We} = 10^4$, $\text{Ga} = 1.32 \cdot 10^7$, $\delta_1 = 2.40482$, $h = 1$						
α	0.05	0.1	0.5	1	3	5
M	-1477.305	-373.5675	-21.2636	-2.0067	-25.491	-263.25

Таблица 3. $\text{We} = 10^4$, $\delta_1 = 2.40482$, $h = 1$, $\alpha = 1$						
Ga	0.13	13.4	1344.2	$1.3 \cdot 10^6$	$6.7 \cdot 10^6$	$1.32 \cdot 10^7$
M	-3.96	-3.93	-3.79	-3.187	-2.74	-2.0067

Таблица 4. $\text{We} = 10^4$, $\text{Ga} = 1.32 \cdot 10^7$, $\delta_1 = 2.40482$, $\alpha = 1$						
h	0.1	0.2	0.5	0.8	1	5
M	-126.37	-135.499	-156.4	-135.459	-2.0067	-7.855

Из представленных данных можно сделать следующие выводы, а именно, что при увеличении номера корня функции Бесселя (табл. 1, здесь $n = 1, 3, 5, 7, 9, 11$) критические числа Марангони также увеличиваются по модулю. При изменении α от 0.05 до 1, $|M|$ убывает. Увеличение Ga приводит к незначительному уменьшению значения числа Марангони по модулю. При изменении h от 0.1 до 0.5, $|M|$ убывает (табл. 4). При увеличении числа Вебера значение числа Марангони убывает. Так, для $\text{We} = 10^4$, $M = -2.0067$, когда $\delta_1 = 2.404$, $h = 1$, $\alpha = 1$ и $\text{Ga} = 1.32 \cdot 10^7$. То есть, используя формулу для числа Марангони (2.1.6) и предположение о том, что $\Theta_{02} = 0$, получим, что температура на нижнем основании цилиндра $\Theta_{01} \approx 0.03\text{К}$.

Предположим, что $\text{Ga} = 0$ (условие полной невесомости), тогда решение уравнения (2.1.28) есть

$$D_j = (H_{j1}z^2 + H_{j3}z + H_{j5}) \cosh mz + (H_{j2}z^2 + H_{j4}z + H_{j6}) \sinh mz, \quad (2.1.31)$$

где $H_{ji}, i = 1, 2, \dots, 6$ также некоторые неизвестные постоянные.

Замечание 2.1.2. Формула для функции $D_j(z)$ (2.1.30), являющееся решением уравнения (2.1.28) для случая, когда $g \neq 0$, при $g \rightarrow 0$ совпадает с решением этого же уравнения при $g = 0$ (условие полной невесомости) (2.1.31).

Далее, доказана

Лемма 2.1.2. В условии полной невесомости зависимость числа Марангони от геометрии контейнеров и физических параметров жидкости выражается следующим образом

$$M = \frac{4m^2 \text{Pr} (A - k\mu S_1 S_2 M_1 (m^2 - S_2^2) (m^2 h^2 - S_1^2))}{\text{Pr} Z - Q \text{We}^{-1}}, \quad (2.1.32)$$

где

$$\begin{aligned} A &= 2(kS_1 C_2 + S_2 C_1) (m^3 h^2 \mu + m^3 h - m^2 S_1 C_1 - m^2 h^2 \mu S_2 C_2 - \\ &\quad - m h S_2^2 - m \mu S_1^2 + \mu S_2 S_1^2 C_2 + S_2^2 S_1 C_1); \\ Z &= k\mu (m^5 h^3 \chi S_2 C_1 - m^3 h^3 \chi S_2^3 C_1 + m^3 S_1^3 C_2 + m^2 h^2 S_2^3 S_1 - m^5 h^2 S_1 C_2 - \\ &\quad - m^2 \chi S_1^3 S_2 + \chi S_1^3 S_2^3 - S_1^3 S_2^3); \\ Q &= 8km^3 (S_1 C_2 + S_2 C_1) (m^2 h^2 \mu - m^2 h^2 + h^2 S_2^2 - \mu S_1^2); \end{aligned}$$

где, $\mu = \rho_2 \nu_2 / \rho_1 \nu_1$, $S_1 = \text{sh } mh$, $C_1 = \text{ch } mh$, $S_2 = \text{sh } m$, $C_2 = \text{ch } m$.

Замечание 2.1.3. Если в формуле, выражающей зависимость числа Марангони от физических параметров жидкости и геометрии контейнера в лемме 2.1.1 перейти к пределу при $g \rightarrow 0$, то получим выражение для M (2.1.32).

Для той же конфигурации жидкостей: муравьиная кислота и трансформаторное масло приведена зависимость спектрального параметра $M(\alpha)$, следующая из формулы (2.1.32), при различных значениях δ_n (рисунок 3) и при различных значениях h (рисунок 4).

Из рисунках 3,4 видно, что с ростом номера корня функции Бесселя и с увеличением h , критическая температура на нижнем основании уменьшается по модулю, но, при этом, чем больше α , тем меньше влияния оказывают рост номера корня функции Бесселя и увеличение h на M .

Замечание 2.1.4. Если рассмотреть табл. 3 и рисунок 3, то увидим, что значение числа Марангони при $\text{Ga} = 0.13$ совпадает со значением M на рисунке 3 при $\alpha = 1$, то есть имеет место указанный выше предельный переход при $g \rightarrow 0$.

2.2 Зависимость числа Марангони от геометрических параметров в случае однослойной жидкости

Предположим, что у нас имеется однослойная жидкость ($h_2 = 0$) с верхней свободной деформируемой границей, на которой задан теплообмен с окружающей средой. Равновесное состояние системы в рамках модели Обербека-Буссинеска в цилиндрической системе координат r , z описывается уравнениями (2.1.1)-(2.1.3). На свободной границе Γ ($z = 0$) справедливы следующие

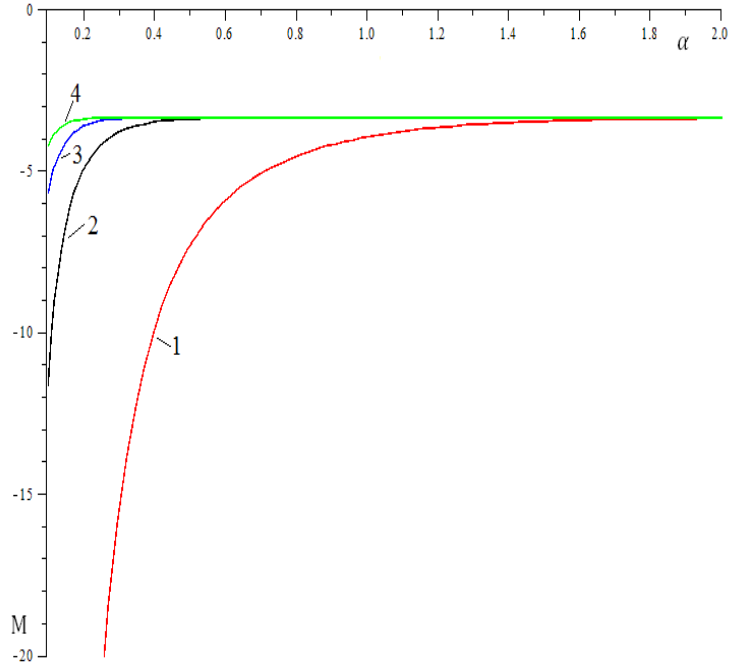


Рисунок 3. График зависимости числа Марангони от α при $We = 10^4$, $h = 1$, кривая 1: $\delta_1 = 2.40482$; кривая 2: $\delta_3 = 8.654$; кривая 3: $\delta_5 = 14.9309$; кривая 4: $\delta_7 = 21.2116$.

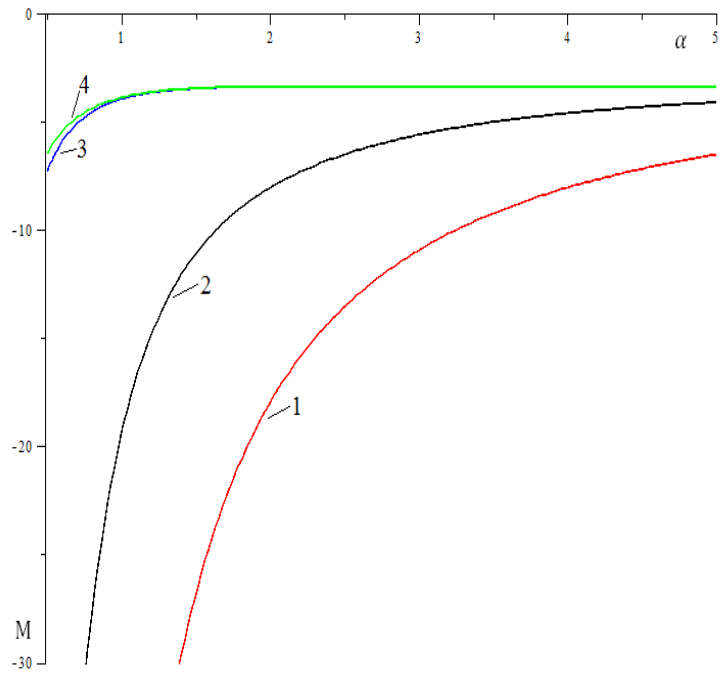


Рисунок 4. График зависимости числа Марангони от α , $\delta_1 = 2.40482$, $We = 10^4$, кривая 1: $h = 0.01$; кривая 2: $h = 0.1$; кривая 3: $h = 1$; кривая 4: $h = 10$.

условия [8]

$$k \frac{\partial \Theta}{\partial z} + \gamma \Theta = 0, \quad (2.2.1)$$

$$(p_{\text{out}} - p) \mathbf{n} = \nabla_{11} \sigma, \quad V_n = 0, \quad (2.2.2)$$

здесь k — коэффициент теплопроводности; γ — коэффициент межфазного теплообмена; p_{out} — постоянное давление окружающей среды; $\mathbf{n} = (0, 0, 1)$ — единичный вектор нормали к Γ , направленный из Ω ; V_n — скорость перемещения свободной границы в направлении \mathbf{n} . На нижнем основании цилиндра задаётся температура $\Theta_{1\text{in}}$. Исходя из этого и из условия теплового контакта (2.2.1) температурные коэффициенты вычисляются следующим образом

$$A = -\frac{\text{Bi}\Theta_1}{(1 + \text{Bi})h}, \quad B = \frac{\Theta_1}{1 + \text{Bi}}, \quad (2.2.3)$$

здесь $\Theta_1 = \Theta_{1\text{in}} - \Theta_{\text{out}}$; $\text{Bi} = \gamma h/k$ — число Био. Заметим, что $\text{Bi} \neq 0$, так как в противном случае получим, что $\Theta = \text{const}$, то есть состояние равновесия и свободная поверхность будут изотермическими. В силу равенства (2.1.3) $\nabla_{11}\sigma = 0$ и с помощью первого равенства (2.2.2) давление квадратично зависит от z и имеет вид

$$p = \rho_0 g \beta \left(\frac{A}{2} z^2 + Bz \right) + p_{\text{out}}.$$

Аналогично, как и для случая двухслойной системы жидкостей, для определения критической разности температур на основаниях цилиндра рассматривается линеаризованная на равновесном состоянии задача о малых возмущениях системы в рамках модели Обербека-Буссинеска, решение которой ищется в виде нормальных волн. Сама задача для монотонных возмущений в безразмерных переменных описывается уравнениями

$$P_r = U_{rr} + \frac{1}{r}U_r + U_{zz} - \frac{1}{r^2}U, \quad (2.2.4)$$

$$P_z - \text{GT} = W_{rr} + \frac{1}{r}W_r + W_{zz}, \quad (2.2.5)$$

$$U_r + \frac{U}{r} + W_z = 0, \quad (2.2.6)$$

$$W = \frac{1}{\text{Pr}} \left(T_{rr} + \frac{1}{r}T_r + T_{zz} \right), \quad (2.2.7)$$

На свободной границе выполняются следующие условия [8]

$$-P + 2W_z = (\text{G}' + \text{Ga}) + \text{We} \left(N_{rr} + \frac{1}{r}N_r \right), \quad (2.2.8)$$

$$W_r + U_z = -\frac{\text{M}}{\text{Pr}} (N_r + T_r), \quad (2.2.9)$$

$$T_z + \text{Bi} (T + N) = 0, \quad (2.2.10)$$

$$W = 0, \quad (2.2.11)$$

Условия на нижнем основании ($z = -1$) дают

$$U(r, -1) = W(r, -1) = 0, \quad T(r, -1) = 0. \quad (2.2.12)$$

На боковой поверхности ($r = 1/\alpha$, где $\alpha = h/R$) выполняются условия (2.1.21). Также выполняется условие сохранения объёма жидкости в сосуде.

Задача (2.2.4) - (2.2.12), (2.1.21) также решается методом разделения переменных (2.1.22) - (2.1.25). В результате получается однородное дифференциальное уравнение шестого порядка с постоянными коэффициентами, решение которого имеет вид (2.1.30). Далее, как и в случае двухслойной системы путём аналитических вычислений в системе Maple находим критические числа Марангони.

Лемма 2.2.1. Критические числа Марангони зависят от геометрии контейнера и физических параметров жидкости $M(\alpha, h, We, Ga, Pr, Bi, \delta_n)$ и определяются в явном виде.

Так как формула, выражающая данную зависимость имеет громоздкий вид, то для её анализа далее рассмотрена конкретная жидкость, а именно, когда в сосуде расположено трансформаторное масло, физические параметры которой были даны в предыдущем параграфе. Ниже приведён ряд таблиц, в которых можно проследить зависимость $M(\delta_n, \alpha, Ga, Bi, We)$

Таблица 5. $We = 129.58, Ga = 29.25, \alpha = 1, Bi = 2$					
δ_n	2.40482	8.6537	14.9309	21.2116	27.493
M	-145.65	-737.56	-2022.32	-3938.8	-6487

Таблица 6. $We = 129.58, Ga = 29.25, \delta_1 = 2.40482, Bi = 2$						
α	0.4	0.8	1	2	4	10
M	-195.1356	-148.0515	-145.65	-269.32	-894.12	-5011.313

Таблица 7. $Bi = 2, We = 129.58, \delta_1 = 2.40482, \alpha = 1$				
Ga	$2.925 \cdot 10^{-7}$	$2.925 \cdot 10^{-3}$	0.2925	29.25
M	-146.057	-145.5103	-145.5097	-145.65

Таблица 8. $Bi = 2, Ga = 29.25, \delta_1 = 2.40482, \alpha = 1$					
We	1.2958	12.958	129.58	1295.8	129580
M	-87.3485	-119.995	-145.65	-150.09375	-150.6187

Таблица 9. $We = 129.58, Ga = 29.25, \delta_1 = 2.40482, \alpha = 1$				
Bi	1	2	5	10
M	-112.8857	-145.65	-243.9331	-407.67

Из представленных данных можно сделать следующие выводы, а именно, что при увеличении номера корня функции Бесселя (табл. 5, здесь $n = 1, 3, 5, 7, 9$), при $\alpha \geq 1$ (табл. 6), при увеличении значения чисел Вебера и Био (табл. 8,9) критические числа Марангони возрастают по модулю. Увеличение Ga (табл. 7) приводит к незначительному понижению значения $|M|$.

Приведённые результаты имеют место в области значения параметров Буссинеска $\beta\Theta_1$ и числа Грасгофа G для которых справедлива модель Обербека-Буссинеска [22]. Именно, $\beta\Theta_1 \rightarrow 0$, где Θ_1 – характерная разность температур на нижней стенке цилиндра и воздуха, а число Грасгофа конечно. Так как коэффициент теплового расширения жидкости фиксирован ($\beta = 0.7 \cdot 10^{-3} \text{ K}^{-1}$), то чем меньше значение критической разности температур Θ_1 , тем меньше значения параметра $\beta\Theta_1$. Из формулы для числа Марангони находим $\Theta_1 = \rho_0 \nu \chi (1 + \text{Bi}) M / \alpha h \text{Bi}$. Таким образом можно сделать вывод, что при фиксированной высоте цилиндра, значение Θ_1 уменьшается при уменьшении значения M . Из входящих в таблицы результатов при максимальном по модулю критическом значении числа Марангони $|M| = 6487$ (табл. 5 при $n = 9$) получим, что $\Theta_1 = 851\text{K}$, тогда параметр $\beta\Theta_1 \approx 0.596$, а $G \approx 5.808$. При минимальном по модулю критическом значении числа Марангони $|M| = 87.3485$ (табл. 6 при $\text{We} = 1.2958$) имеем $\Theta_1 = 11.459\text{K}$, значит, параметр $\beta\Theta_1 \approx 0.008$, а $G \approx 0.08$. Из формулы для Θ_1 и полученных результатов из табл. 9 можно сделать вывод, что увеличивая высоту цилиндра, то есть чем больше We , тем меньше значение параметра Буссинеска. Заметим, что температура застывания трансформаторного масла от 208.15K до 228.15K, температура вспышки от 430.15K до 423.15K, а температура самовоспламнения 623.15 - 673.15K.

На основании выше изложенного можно сделать вывод о том, что для данной жидкости, чтобы $\beta\Theta_1 \rightarrow 0$ и при этом $G \rightarrow 0$ необходимо изменять геометрию контейнера, а именно уменьшать отношение высоты цилиндра к его радиусу (параметр α), либо увеличивая только высоту, при фиксированном α .

Если в формуле для спектрального параметра M , определяемого леммой 2.2.1 $g \rightarrow 0$, то в пределе получим результат

Лемма 2.2.2. В условии полной невесомости зависимость числа Марангони от геометрии контейнеров и физических параметров жидкости выражается следующим образом

$$M = \frac{8m (\text{Bi sh } m + m \text{ ch } m) (m - \text{sh } m \cosh m)}{m^3 \text{ ch } m - \text{sh}^3 m - 8m^3 \text{ ch } m (\text{PrWe})^{-1}}. \quad (2.2.13)$$

Замечание 2.2.1 Если $R \rightarrow \infty$, $n \rightarrow \infty$ таким образом, что $m = h\delta_{0n}/R \rightarrow m_0 = \text{const}$, то выражение (2.2.13) в точности совпадает с числом Марангони для бесконечного слоя [52].

Далее, пусть в цилиндрическом контейнере расположено трансформаторное масло, физические параметры которого приведены выше.

На рисунках 5, 6 показана зависимость числа Марангони от физических параметров жидкости и геометрии контейнера при $0.1 \leq \alpha \leq 3$. На рисунке 5 кривые 1 – 5 показывают, что с ростом номера корня функции Бесселя, критическая температура на нижнем основании сосуда увеличивается по модулю. На рисунке 6, рассмотрев кривые 2 – 4, 6 можно сказать, что чем больше

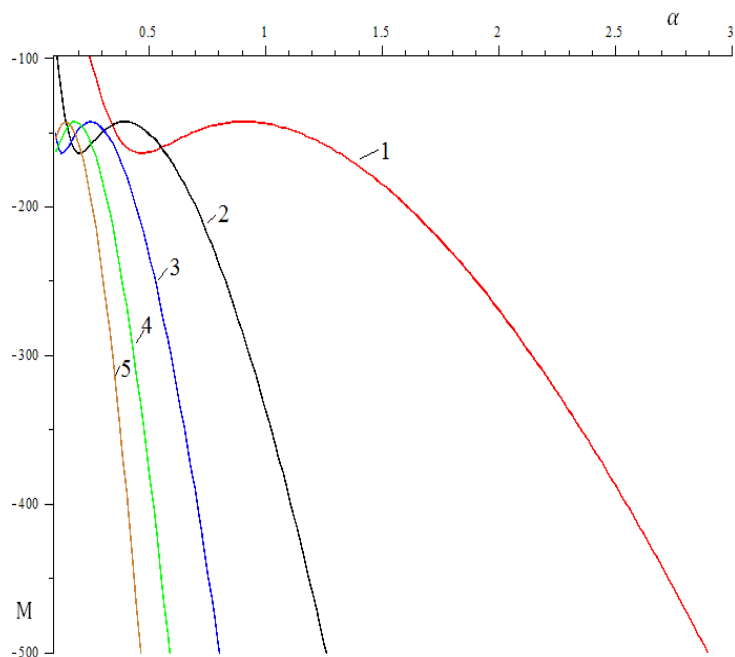


Рисунок 5. График зависимости числа Марангони от α при $We = 10^4$ и $Bi = 2$, кривая 1: $\delta_1 = 2.40482$; кривая 2: $\delta_2 = 5.52$; кривая 3: $\delta_3 = 8.654$; кривая 4: $\delta_4 = 11.7915$; кривая 5: $\delta_5 = 14.9309$.

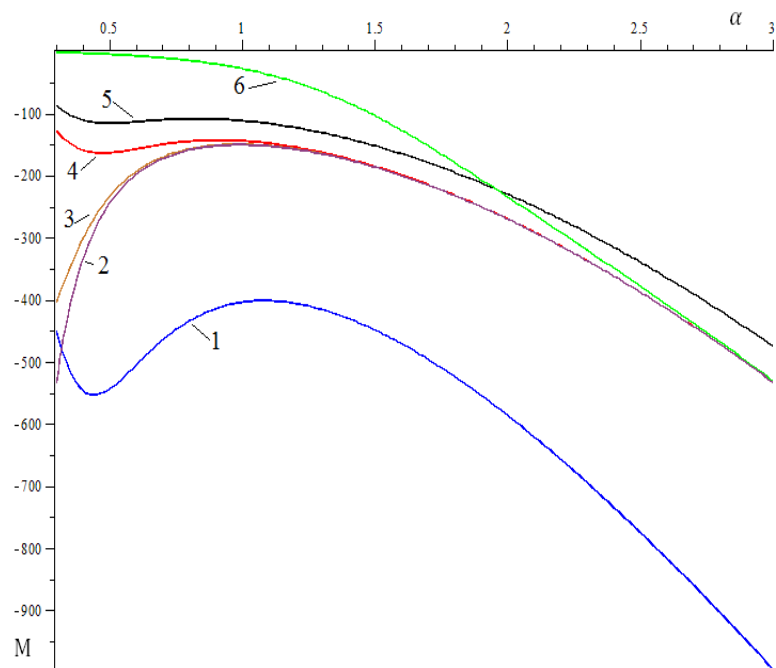


Рисунок 6. График зависимости числа Марангони от α при $\delta_1 = 2.4048$, кривая 1: $Bi = 10$, $We = 10^4$; кривая 2: $Bi = 2$, $We = \infty$; кривая 3: $Bi = 2$, $We = 10^5$; кривая 4: $Bi = 2$, $We = 10^4$; кривая 5: $Bi = 2$, $We = 10^2$.

значение числа Вебера, тем значение числа Марангони по модулю больше, но, начиная с $We = 10^5$, влияние данного параметра на M уменьшается. Также можно добавить, что с ростом α кривые 2 – 4, 6 стремятся к кривой 2. Рассмотр-

рев остальные графики на рисунке 6, можно заметить, что с ростом числа Био, растёт критическая температура на нижнем основании по модулю.

Если сравнить полученные данные из таблицы 7 для $Ga = 2.925 \cdot 10^{-7}$ и рисунок 5 (кривая 1), то можно увидеть, что при малых Ga значение числа Марангони, когда система находится в поле силы тяжести, совпадает со значением числа Марангони при $Ga = 0$ (случай полной невесомости).

Таким образом, из всего выше представленного, можно сделать следующий вывод, что зная заранее геометрию контейнера, физические параметры жидкости, находящейся в нём, можно определить спектральный параметр – число Марангони, а по нему и критическую разность температур, при которой возникнет конвекция.

3 Априорные оценки сопряжённой задачи, описывающей осесимметричное термокапиллярное движение при малом числе Марангони с подвижной общей поверхностью раздела

В данной главе исследуется линейная задача об осесимметричном термокапиллярном движении двух несмешивающихся вязких теплопроводных жидкостей в цилиндрической трубе. Их общая поверхность раздела является подвижной и недеформируемой. Задача является обратной, так как градиенты давлений есть искомые функции. Установлены априорные оценки. Доказано, что решение с ростом времени экспоненциально стремится к нулю.

3.1 Постановка задачи

Уравнения, описывающие осесимметричное движение вязкой теплопроводной жидкости в отсутствие массовых сил имеют вид (1), в которой $v = 0$, $\mathbf{g} = (0, 0, 0)$.

Система (1) допускает четырёхмерную подалгебру Ли $G_4 = \langle \partial_z, \partial_w + t\partial_z, \partial_p, \partial_\theta \rangle$ [10]. Инварианты подалгебры G_4 суть t, r и частично инвариантные решения ранга 2 и дефекта 3 [42] системы (1) следует искать в виде

$$u = u(r, t), \quad w = w(r, z, t), \quad p = p(r, z, t), \quad \theta = \theta(r, z, t). \quad (3.1.1)$$

Подстановка выражений для u, w и p из (3.1.1) в уравнения движения (1) приводит к соотношениям

$$\begin{aligned} w &= v(r, t)z + g(r, t), \quad u_r + \frac{1}{r}u + v = 0, \\ v_t + uv_r + v^2 &= \nu(v_{rr} + \frac{1}{r}v_r) + f(t), \\ \frac{1}{\rho}p &= d(r, t) - \frac{f(t)}{2}z^2, \quad d_r = \nu(u_{rr} + \frac{1}{r}u_r - \frac{u}{r^2}) - u_t - uu_r, \\ g_t + ug_r + vg &= 0 \end{aligned} \quad (3.1.2)$$

с пока произвольной функцией $f(t)$.

Уравнение для температуры из (1) перепишется так

$$\theta_t + u(r, t)\theta_r + (v(r, t)z + g(r, t))\theta_z = \chi\Delta\theta.$$

Среди его решений имеются квадратичные относительно переменной z :

$$\theta(r, z, t) = a(r, t)z^2 + m(r, t)z + b(r, t). \quad (3.1.3)$$

Далее, для простоты предполагается, что $g(r, t) \equiv 0$, $m(r, t) \equiv 0$. Последнее означает, что в точке $z = 0$ температура экстремальная: при $a(r, t) < 0$ она имеет максимум, а при $a(r, t) > 0$ – минимум.

Применим решения (3.1.2), (3.1.3) для описания двухслойного движения вязких теплопроводных жидкостей в цилиндре с твёрдой стенкой $r = R_2 = \text{const}$ и общей поверхностью раздела $r = h(z, t)$, $0 < h(z, t) < R_2$, (рисунок 7).

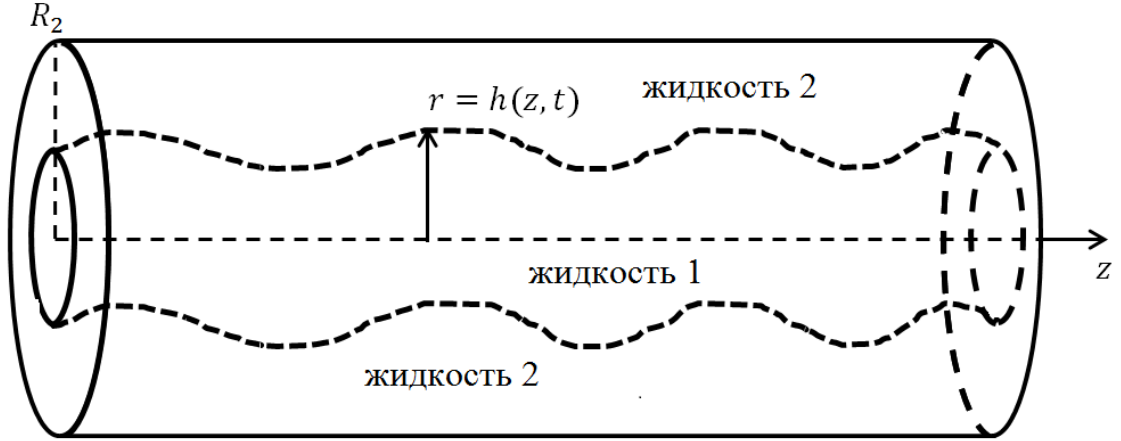


Рисунок 7. Схема области движения

Введём индекс $j = 1, 2$, фиксирующий жидкость. Тогда в области $0 < r < h(z, t)$ функции $v_1(r, t)$, $u_1(r, t)$ удовлетворяют уравнениям

$$\begin{aligned} v_{1t} + u_1 v_{1r} + v_1^2 &= \nu_1 (v_{1rr} + \frac{1}{r} v_{1r}) + f_1(t), \\ u_{1r} + \frac{1}{r} u_1 + v_1 &= 0. \end{aligned} \quad (3.1.4)$$

При этом

$$\frac{1}{\rho_1} p_1 = d_1(r, t) - \frac{f_1(t)}{2} z^2, \quad d_{1r} = \nu_1 (u_{1rr} + \frac{1}{r} u_{1r} - \frac{u_1}{r^2}) - u_{1t} - u_1 u_{1r}. \quad (3.1.5)$$

Точно также, в области $h(z, t) < r < R_2$

$$\begin{aligned} v_{2t} + u_2 v_{2r} + v_2^2 &= \nu_2 (v_{2rr} + \frac{1}{r} v_{2r}) + f_2(t), \\ u_{2r} + \frac{1}{r} u_2 + v_2 &= 0. \end{aligned} \quad (3.1.6)$$

$$\frac{1}{\rho_2} p_2 = d_2(r, t) - \frac{f_2(t)}{2} z^2, \quad d_{2r} = \nu_2 (u_{2rr} + \frac{1}{r} u_{2r} - \frac{u_2}{r^2}) - u_{2t} - u_2 u_{2r}. \quad (3.1.7)$$

Кроме того, в тех же областях определения

$$a_{jt} + 2v_j a_j + v_j a_{jr} = \chi_j (a_{jrr} + \frac{1}{r} a_{jr}), \quad (3.1.8)$$

$$b_{jt} + u_j b_{jr} = \chi_j (b_{jrr} + \frac{1}{r} b_{jr}) + 2\chi_j a_j. \quad (3.1.9)$$

На поверхности раздела $r = h(z, t)$ выполнены условия сопряжения (4) и равенства температур (8), и потоков тепла (25), которые в нашем случае, с учётом (3.1.3) запишутся так

$$v_1(h(z, t), t) = v_2(h(z, t), t), \quad u_1(h(z, t), t) = u_2(h(z, t), t), \quad (3.1.10)$$

$$a_1(h(z, t), t) = a_2(h(z, t), t), \quad k_1 \frac{\partial a_1}{\partial n}(h(z, t), t) = k_2 \frac{\partial a_2}{\partial n}(h(z, t), t), \quad (3.1.11)$$

$$b_1(h(z, t), t) = b_2(h(z, t), t), \quad k_1 \frac{\partial b_1}{\partial n}(h(z, t), t) = k_2 \frac{\partial b_2}{\partial n}(h(z, t), t), \quad (3.1.12)$$

где k_1, k_2 — постоянные коэффициенты теплопроводности жидкостей, нормаль к поверхности $r = h(z, t)$ в цилиндрической системе координат есть $\mathbf{n} = (1 + h_z^2)^{-1/2}(1, 0, -h_z)$.

Дополнительно на поверхности раздела выполнены ещё два условия: (21) — динамическое

$$(p_2 - p_1)\mathbf{n} + 2[\mu_1 D(\mathbf{u}_1) - \mu_2 D(\mathbf{u}_2)] = 2\sigma K\mathbf{n} + \nabla_{11}\sigma \quad (3.1.13)$$

и кинематическое (2)

$$h_t + zv_1(h(z, t), t)h_z = u_1(h(z, t), t). \quad (3.1.14)$$

Граничные условия на твёрдой стенке $r = R_2$ таковы:

$$u_2(R_2, t) = 0, \quad v_2(R_2, t) = 0, \quad (3.1.15)$$

$$a_2(R_2, t) = \alpha(t), \quad b_2(R_2, t) = \beta(t), \quad (3.1.16)$$

с заданными функциями $\alpha(t), \beta(t)$.

Начальные данные для скоростей — нулевые, поскольку рассматривается чисто термокапиллярное движение жидкостей за счёт изменения температуры вдоль твёрдой стенки, то есть функций (3.1.16):

$$u_j(r, t) = 0, \quad v_j(r, t) = 0. \quad (3.1.17)$$

Кроме того

$$h(z, 0) = R_1 = \text{const} > 0, \quad 0 < R_1 < R_2 \quad (3.1.18)$$

$$a_j(r, 0) = a_j^0(r), \quad b_j(r, 0) = b_j^0(r) \quad (3.1.19)$$

и функции $u_1(r, t), v_1(r, t), a_1(r, t), b_1(r, t)$ ограничены при $r = 0$.

Конечно, для гладких решений начальные данные должны быть согласованными. Эти условия будут выписаны ниже для более простой задачи.

Отметим, что поставленная задача является сильно нелинейной и обратной, поскольку наряду с $v_j(r, t), a_j(r, t), b_j(r, t), h(z, t)$ функции $f_j(t)$ также

являются искомыми. Действительно, если из вторых уравнений (3.1.4), (3.1.6) исключить $u_j(r, t)$, то получим сопряжённую задачу для нахождения функций $v_j(r, t)$, $a_j(r, t)$ и $h(z, t)$. При известных $u_j(r, t)$, $a_j(r, t)$ задача для функций $b_j(r, t)$ отделяется. Функции $d_j(r, t)$ восстанавливаются квадратурами из (3.1.5), (3.1.7). Проекция динамического условия (3.1.13) на нормаль и второе условие (3.1.10) дают возможность найти функции $f_j(t)$.

Предположим, что в начальный момент времени поверхность раздела была круглым цилиндром: $R_1 = h(z, 0) = \text{const}$, $0 < R_1 < R_2$. Введём характерные масштабы длины, времени функций v_j , u_j , a_j , d_j , f_j , b_j , соответственно,

$$R_1, \quad \frac{R_1^2}{\chi_1}, \quad \frac{\varkappa a^1 R_1^2}{\mu_1}, \quad a^1, \quad \frac{\varkappa a^1 R_1}{\rho_1}, \quad \frac{\varkappa a^1}{\rho_1 R_1}, \quad a^1 R_1^2, \quad (3.1.20)$$

здесь $a^1 = \max_{t \in [0, T]} |\alpha(t)|$. Функция $\alpha(t)$ по физическому смыслу ограничена для всех t из отрезка $[0, T]$, где T — время существования $\alpha(t)$, а величина $a^1 R_1^2$ есть характерная температура вдоль твёрдой стенки.

В безразмерных переменных в уравнениях (3.1.4), (3.1.6), (3.1.8), (3.1.9) при нелинейных слагаемых появится сомножитель

$$M = \frac{\varkappa a^1 R_1^3}{\mu_1 \chi_1} \quad (3.1.21)$$

число Марангони. Кинематическое условие (3.1.14) примет вид

$$\bar{h}_{\bar{t}} + \bar{z} M \bar{v}_1(\bar{h}(\bar{z}, \bar{t}), \bar{t}) \bar{h}_{\bar{z}} = M \bar{u}_1(\bar{h}(\bar{z}, \bar{t}), \bar{t}), \quad (3.1.22)$$

где черта означает безразмерную величину. Положив $\bar{h} = 1 + M \bar{h}_1(\bar{z}, \bar{t})$ при $M \ll 1$ (ползущее термокапиллярное движение), из (3.1.22) в пределе находим уравнение

$$\bar{h}_{1\bar{t}} = \bar{u}_1(1, \bar{t}), \quad (3.1.23)$$

и уравнения (3.1.4), (3.1.6), (3.1.8), (3.1.9) будут линейными. В размерных переменных в этом случае поверхность раздела есть

$$r = h(t) = R_1 [1 + M h_1(t)]. \quad (3.1.24)$$

Поэтому при $M \rightarrow 0$ нормаль $\mathbf{n} = (1, 0, 0)$ и $\partial/\partial n = \partial/\partial r$. Нормальная составляющая динамического условия даёт соотношение

$$M \left[\frac{\rho_2}{\rho_1} \bar{d}_2 - \bar{d}_1 + \left(\frac{1}{2} \bar{f}_1 - \frac{\rho_2}{2\rho_1} \bar{f}_2 + \bar{a}_1 \right) \bar{z}^2 + 2\bar{u}_{1\bar{r}} - \frac{2\mu_2}{\mu_1} \bar{u}_{2\bar{r}} \right] = \text{We} - M \bar{b}_1, \quad (3.1.25)$$

где $\text{We} = \sigma^0 R_1 / \mu_1 \chi_1$ — число Вебера. Ясно, что при наших условиях должно быть $\text{We} = O(M)$.

Касательная составляющая динамического условия (3.1.13) в сделанных предположениях даст соотношение

$$M(\bar{v}_{1\bar{r}} - \frac{\mu_2}{\mu_1}\bar{v}_{2\bar{r}}) = -2M\bar{a}_1. \quad (3.1.26)$$

Сокращая в (3.1.26) на M и возвращаясь к исходным размерным переменным, приходим к следующей линейной сопряжённой обратной начально-краевой задаче

$$v_{1t} = \nu_1(v_{1rr} + \frac{1}{r}v_{1r}) + f_1(t), \quad 0 < r < R_1 + Mh_1(t), \quad (3.1.27)$$

$$v_{2t} = \nu_2(v_{2rr} + \frac{1}{r}v_{2r}) + f_2(t), \quad R_1 + Mh_1(t) < r < R_2, \quad (3.1.28)$$

$$v_1(R_1, t) = v_2(R_1, t), \quad \int_0^{R_1} rv_1(r, t)dr + \int_{R_1}^{R_2} rv_2(r, t)dr = 0 \quad (3.1.29)$$

$$\mu_1 v_{1r}(R_1, t) - \mu_2 v_{2r}(R_1, t) = -2\alpha a_1(R_1, t), \quad (3.1.30)$$

$$v_2(R_2, t) = 0, \quad (3.1.31)$$

$$v_1(r, 0) = 0, \quad |v_1(0, t)| < \infty, \quad v_2(r, 0) = 0, \quad (3.1.32)$$

$$\rho_1 f_1(t) = \rho_2 f_2(t) - \frac{2\alpha a_1(R_1, t)}{R_1}. \quad (3.1.33)$$

Задача для функций $a_j(r, t)$ является замкнутой:

$$a_{jt} = \chi_j(a_{jrr} + \frac{1}{r}a_{jr}), \quad (3.1.34)$$

$$a_j(r, 0) = a_j^0(r), \quad |a_1(0, t)| < \infty, \quad (3.1.35)$$

$$a_2(R_2, t) = \alpha(t), \quad (3.1.36)$$

$$a_1(R_1, t) = a_2(R_1, t), \quad k_1 a_{1r}(R_1, t) = k_2 a_{2r}(R_2, t). \quad (3.1.37)$$

Функции $u_j(r, t)$ определяются равенствами

$$u_1(r, t) = -\frac{1}{r} \int_0^r rv_1(r, t)dr, \quad u_2(r, t) = -\frac{1}{r} \int_{R_2}^r rv_2(r, t)dr. \quad (3.1.38)$$

С учётом (3.1.38) функция $h_1(t)$ находится из (3.1.23), именно

$$h_1(t) = -\frac{1}{R_1} \int_0^t rv_1(R_1, t)dt. \quad (3.1.39)$$

Наконец, из (3.1.17) в размерных переменных получим

$$\begin{aligned} \rho_2 d_2(R_1, t) - \rho_1 d_1(R_1, t) + 2\mu_1 u_{1r}(R_1, t) - 2\mu_2 u_{2r}(R_1, t) &= \\ &= \frac{\sigma^0}{R_1} - \frac{\varkappa}{R_1} b_1(R_1, t). \end{aligned} \quad (3.1.40)$$

Равенство (3.1.40) позволяет определить одну из функций времени, возникающей при определении, например, d_2 из соотношения (3.1.7)

Замечание 3.1.1. Второе равенство (3.1.29) и конечное соотношение (3.1.33) позволяют найти градиенты давлений вдоль оси z — функции $f_j(t)$.

3.2 Оценки функций $a_j(r, t)$

Поскольку функция $a_1(R_1, t)$ входит в постановку задачи для $v_j(r, t)$, то необходимо начать с оценки $a_j(r, t)$, удовлетворяющим начально-краевой задаче (3.1.34) – (3.1.37). Для гладких решений должны быть выполнены условия согласования

$$\begin{aligned} a_2^0(R_2) &= \alpha(0), \quad a_1^0(R_1) = a_2^0(R_1), \\ k_1 a_{1r}^0(R_1) &= k_2 a_{2r}^0(R_1), \quad |a_1^0(0)| < \infty. \end{aligned} \quad (3.2.1)$$

Произведём замену

$$a_2(r, t) = \bar{a}_2(r, t) + \frac{\alpha(t)(r - R_1)^2}{(R_2 - R_1)^2}. \quad (3.2.2)$$

Тогда граничное условие (3.1.16) для функции $\bar{a}_2(r, t)$ становится однородным и она удовлетворяет неоднородному уравнению

$$\begin{aligned} \bar{a}_{2t} - \chi_2 \left(\bar{a}_{2rr} + \frac{1}{r} \bar{a}_{2r} \right) &= \frac{2\chi_2 \alpha(t)}{(R_2 - R_1)^2} \left(2 - \frac{R_1}{r} \right) - \\ &- \frac{\alpha'(r - R_1)^2}{(R_2 - R_1)^2} \equiv g_2(r, t), \end{aligned} \quad (3.2.3)$$

где штрих означает дифференцирование по t . Что касается условий (3.1.37) на поверхности раздела, то они остаются без изменений для $\bar{a}_2(r, t)$, $a_1(r, t)$.

Умножим уравнение (3.1.34) ($j = 1$) на $\rho_1 c_{p_1} r a_1(r, t)$, уравнение (3.2.3) на $\rho_2 c_{p_2} r a_2(r, t)$, где c_{p_j} — удельные теплоёмкости жидкостей при постоянном давлении. Затем, интегрируя их по областям определения и складывая, приходим к интегральному равенству ($k_j = \rho_j c_{p_j} \chi_j$)

$$\frac{d}{dt} A + k_1 \int_0^{R_1} r a_{1r}^2 dr + k_2 \int_{R_1}^{R_2} r \bar{a}_{2r}^2 dr = \int_{R_1}^{R_2} r \bar{a}_2 g_2(r, t) dr \quad (3.2.4)$$

с функцией

$$A(t) = \frac{\rho_1 c_{p1}}{2} \int_0^{R_1} r a_1^2(r, t) dr + \frac{\rho_2 c_{p2}}{2} \int_{R_1}^{R_2} r \bar{a}_2^2(r, t) dr. \quad (3.2.5)$$

Области, в которых ищутся решения уравнений (3.1.34) таковы: $0 < r < R_1 + Mh_1(t)$ при $j = 1$ и $R_1 + Mh_1(t) < r < R_2$ при $j = 2$. Однако, интегралы

$$\int_0^{R_1 + Mh_1(t)} m^2(r, t) dr \sim \int_0^{R_1} m^2(r, t) dr, \quad \int_{R_1 + Mh_1(t)}^{R_2} m^2(r, t) dr \sim \int_{R_1}^{R_2} m^2(r, t) dr, \quad M \rightarrow 0,$$

поэтому в (3.2.4), (3.2.5) и всюду ниже фактически интегрирование ведётся по фиксированным отрезкам. Имеет место неравенство [3]

$$\int_0^{R_1} r a_1^2 dr + \int_{R_1}^{R_2} r \bar{a}_2^2 dr \leq M_0 \left(k_1 \int_0^{R_1} r a_{1r}^2 dr + k_2 \int_{R_1}^{R_2} r \bar{a}_{2r}^2 dr \right) \quad (3.2.6)$$

с положительной постоянной $M_0 = R_1^2/k_1 x_0^2$, где x_0 — наименьший положительный корень трансцендентного уравнения [3]

$$J_0(x)[J_1(\gamma_2 x)Y_0(\gamma_1 \gamma_2 x) - J_0(\gamma_1 \gamma_2 x)Y_1(\gamma_2 x)] + \\ + \gamma_2 J_1(x)[J_0(\gamma_1 \gamma_2 x)Y_0(\gamma_2 x) - J_0(\gamma_2 x)Y_0(\gamma_1 \gamma_2 x)] = 0, \quad (3.2.7)$$

$\gamma_1 = R_2/R_1$; $\gamma_2 = \sqrt{k_1/k_2} = \sqrt{k}$; J_i, Y_i ($i = 1, 2$) — функции Бесселя 1-го и 2-го рода.

Используя неравенство (3.2.6), получим, что левая часть равенства (3.2.4) больше или равна

$$\frac{d}{dt} A + \frac{1}{M_0} \left(\int_0^{R_1} r a_1^2 dr + \int_{R_1}^{R_2} r \bar{a}_2^2 dr \right). \quad (3.2.8)$$

Для правой части имеем оценку сверху

$$\int_{R_1}^{R_2} r \bar{a}_2 g_2 dr \leq \left(\int_{R_1}^{R_2} r g_2^2 dr \right)^{1/2} \left(\int_{R_1}^{R_2} r \bar{a}_2^2 dr \right)^{1/2} \leq \\ \leq \max_j \left(\frac{2}{\rho_j c_{p_j}} \right)^{1/2} \left(\int_{R_1}^{R_2} r g_2^2 dr \right)^{1/2} \sqrt{A} \equiv G(t) \sqrt{A}. \quad (3.2.9)$$

Теперь из (3.2.8) и (3.2.9) получим неравенство

$$\frac{d}{dt} A + 2\eta A \leq G(t)\sqrt{A}, \quad \eta = \frac{1}{M_0} \min_j \left(\frac{1}{\rho_j c_{p_j}} \right) = \frac{1}{M_0} \min_j \left(\frac{\chi_j}{k_j} \right). \quad (3.2.10)$$

Из (3.2.10) следует оценка

$$A(t) \leq \left(\sqrt{A_0} + \frac{1}{2} \int_0^t G(\tau) e^{\eta\tau} d\tau \right)^2 e^{-2\eta t}, \quad (3.2.11)$$

здесь A_0 — значение функции $A(t)$ при $t = 0$:

$$A(0) = \frac{\rho_1 c_{p_1}}{2} \int_0^{R_1} r (a_1^0)^2(r) dr + \frac{\rho_2 c_{p_2}}{2} \int_{R_1}^{R_2} r (\bar{a}_2^0)^2(r) dr, \quad (3.2.12)$$

$$\bar{a}_2^0(r) = a_2^0(r) - \frac{\alpha_0 (r - R_1)^2}{(R_2 - R_1)^2}, \quad \alpha_0 = \alpha(0).$$

Поэтому из (3.2.5)

$$\int_0^{R_1} r a_1^2(r) dr \leq \frac{2}{\rho_1 c_{p_1}} A(t), \quad (3.2.13)$$

$$\int_{R_1}^{R_2} r \bar{a}_2^2(r) dr \leq \frac{2}{\rho_2 c_{p_2}} A(t).$$

Докажем ограниченность интегралов

$$\int_0^{R_1} r a_{1r}^2 dr, \quad \int_{R_1}^{R_2} r \bar{a}_{2r}^2 dr. \quad (3.2.14)$$

Для этого возведём уравнения (3.1.34) ($j = 1$), (3.2.3) в квадрат, затем умножим их последовательно на $\rho_1 c_{p_1} r$, $\rho_2 c_{p_2} r$, проинтегрируем по их областям определения и по времени, результаты сложим. Получим другое интегральное тождество

$$\begin{aligned} & \rho_1 c_{p_1} \int_0^t \int_0^{R_1} r \left[a_{1t}^2 + \chi_1^2 \left(a_{1rr} + \frac{1}{r} a_{1r} \right)^2 \right] dr dt + \\ & + \rho_2 c_{p_2} \int_0^t \int_{R_1}^{R_2} \left[\bar{a}_{2t}^2 + \chi_2^2 \left(\bar{a}_{2rr} + \frac{1}{r} \bar{a}_{2r} \right)^2 \right] dr dt + k_1 \int_0^{R_1} r a_{1r}^2 dr + k_2 \int_{R_1}^{R_2} r \bar{a}_{2r}^2 dr = \\ & = k_1 \int_0^{R_1} r (a_{1r}^0)^2 dr + k_2 \int_{R_1}^{R_2} r (\bar{a}_{2r}^0)^2 dr + \rho_2 c_{p_2} \int_0^t \int_{R_1}^{R_2} r g_2(r, t) dr dt \equiv A_1(t), \quad (3.2.15) \end{aligned}$$

откуда и следует ограниченность интегралов (3.2.14) $\forall t \in [0, T]$.

Далее, с учётом (3.2.13), (3.2.15),

$$\begin{aligned} \bar{a}_2^2(r, t) &= \left| \int_r^{R_2} (\bar{a}_2^2)_r dr \right| \leq 2 \int_{R_1}^{R_2} \frac{1}{r} \sqrt{r} |\bar{a}_2| \sqrt{r} |\bar{a}_{2r}| dr \leq \\ &\leq \frac{2}{R_1} \left(\int_{R_1}^{R_2} r \bar{a}_2^2 dr \right)^{1/2} \left(\int_{R_1}^{R_2} r a_{2r}^2 dr \right)^{1/2} \leq \frac{4}{R_1} \left(\frac{1}{k_2 \rho_2 c_{\rho_2}} A(t) A_1(t) \right)^{1/2}. \end{aligned} \quad (3.2.16)$$

Значит

$$|\bar{a}_2(r, t)| \leq 2 \left(\frac{1}{R_1^2 k_2 \rho_2 c_{\rho_2}} A(t) A_1(t) \right)^{1/4} \quad (3.2.17)$$

равномерно для любых $r \in [R_1, R_2]$, $t \in [0, T]$.

Из замены (3.2.2) находим оценку

$$|a_2(r, t)| \leq |\alpha(t)| + 2 \left(\frac{1}{R_1^2 k_2 \rho_2 c_{\rho_2}} A(t) A_1(t) \right)^{1/4}. \quad (3.2.18)$$

Замечание 3.2.1. Если продифференцировать по времени уравнения (3.1.34) ($j = 1$), (3.2.3) и граничные условия, то точно так же получим оценку

$$|a_{2t}(r, t)| \leq |\alpha'(t)| + 2 \left(\frac{1}{R_1^2 k_2 \rho_2 c_{\rho_2}} A_2(t) A_3(t) \right)^{1/4}, \quad (3.2.19)$$

где функция $A_2(t)$ отличается от $A(t)$ тем, что в формуле (3.2.5) $a_1(r, t)$, $\bar{a}_2(r, t)$ надо заменить на $a_{1t}(r, t)$, $\bar{a}_{2t}(r, t)$. Аналогичные отличия имеет функция $A_3(t)$ от $A_1(t)$.

Точно также

$$|a_{2tt}(r, t)| \leq |\alpha''(t)| + 2 \left(\frac{1}{R_1^2 k_2 \rho_2 c_{\rho_2}} A_4(t) A_5(t) \right)^{1/4}. \quad (3.2.20)$$

Здесь функция $A_4(t)$ отличается от $A(t)$ тем, что в (3.2.5) вместо $a_1(r, t)$, $\bar{a}_2(r, t)$ будут их вторые производные по времени. Функция $A_5(t)$ вполне аналогична $A_1(t)$, однако $g_2(r, t)$ из (3.2.3) будет содержать вместо $\alpha(t)$ её вторую производную $\alpha''(t)$, а вместо $\alpha'(t)$ её третью производную $\alpha'''(t)$. Оценки (3.2.19) и (3.2.20) нам понадобятся позднее в пункте 4. Там же будут приведены выражения для $A_k(t)$, $k = 2, 3, 4, 5$; здесь же отметим, что эти функции непрерывны при $t \in [0, T]$, если таковыми являются функции $\alpha^{(n)}(t)$, $n = 0, 1, 2, 3$. Кроме того $A_2(t)$, $A_4(t)$ удовлетворяют неравенствам вида (3.2.11) со своими функциями $G(t)$.

Однако подобные рассуждения не годятся для оценки $|a_1(r, t)|$. Поступим следующим образом: из неравенства (3.2.18) и первого равенства (3.1.37) имеем оценку

$$|a_1(R_1, t)| = |a_2(R_1, t)| \leq |\alpha(t)| + 2 \left(\frac{1}{R_1^2 k_2 \rho_2 c_{\rho_2}} A(t) A_1(t) \right)^{1/4}. \quad (3.2.21)$$

Для $a_1(r, t)$ получим задачу при $0 < r < R_1$

$$a_{1t} = \chi_1 \left(a_{1rr} + \frac{1}{r} a_{1r} \right); \quad (3.2.22)$$

$$a_1(R_1, t) = a_2(R_1, t), \quad |a_1(0, t)| < \infty; \quad (3.2.23)$$

$$a_1(r, 0) = a_1^0(r). \quad (3.2.24)$$

Начально-краевая задача для уравнения (3.2.22) – (3.2.24) при заданной $a_1(R_1, t)$ с оценкой (3.2.21) имеет решение [11]

$$\begin{aligned} a_1(r, t) = & \frac{2\chi_1}{R_1^2} \int_0^t a_1(R_1, \tau) \sum_{n=1}^{\infty} \frac{\xi_n J_0(\xi_n r / R_1)}{J_1(\xi_n)} \exp \left[-\frac{\chi_1 \xi_n^2 (t - \tau)}{R_1^2} \right] d\tau + \\ & + \frac{2}{R_1^2} \int_0^{R_1} \zeta a_1^0(\zeta) \sum_{n=1}^{\infty} \frac{J_0(\xi_n r / R_1) J_0(\xi_n \zeta / R_1)}{J_1^2(\xi_n)} \exp \left(-\frac{\chi_1 \xi_n^2 t}{R_1^2} \right) d\zeta, \end{aligned} \quad (3.2.25)$$

где ξ_n — корни уравнения $J_0(\xi) = 0$. Из оценки (3.2.21) и формулы (3.2.25) следует ограниченность $|a_1(r, t)|$ для всех $r \in [0, R_1]$ и $t \in [0, T]$. Действительно, первое слагаемое в (3.2.25) не превосходит

$$2 \left[\max_{t \in [0, T]} |\alpha(t)| + \frac{1}{(R_1^2 k_2 \rho_2 c_{\rho_2})^{1/4}} \max_{t \in [0, T]} (A(t) A_1(t))^{1/4} \right]. \quad (3.2.26)$$

Использовано неравенство (3.2.21) и соотношение [6, с. 690]

$$\sum_{n=1}^{\infty} \frac{J_0(\xi_n r / R_1)}{\xi_n J_1(\xi_n)} = \frac{1}{2} \quad 0 \leq r < R_1. \quad (3.2.27)$$

Второе слагаемое в (3.2.25) не превосходит

$$\max_{r \in [0, R_1]} |a_1^0(r)|. \quad (3.2.28)$$

Нами доказана

Лемма 3.2.1. Решение начально-краевой задачи (3.1.34) – (3.1.37) ограничено для всех $r \in [0, R_1]$ ($j = 1$) и $r \in [R_1, R_2]$ ($j = 2$), и $t \in [0, T]$ и справедливы оценки

$$|a_1(r, t)| \leq 2 \left[\max_{t \in [0, T]} |\alpha(t)| + \frac{1}{(R_1^2 k_2 \rho_2 c_{\rho_2})^{1/4}} \max_{t \in [0, T]} (A(t) A_1(t))^{1/4} \right] + \max_{r \in [0, R_1]} |a_1^0(r)|. \quad (3.2.29)$$

$$|a_2(r, t)| \leq |\alpha(t)| + 2 \left(\frac{1}{R_1^2 k_2 \rho_2 c_{\rho_2}} A(t) A_1(t) \right)^{1/4}.$$

3.3 Оценки функций $v_j(r, t)$

Перейдём к получению априорных оценок функций $v_j(r, t)$, удовлетворяющих уравнениям (3.1.27), (3.1.28), граничным условиям (3.1.29) – (3.1.31) и начальным данным (3.1.32). Для того, чтобы сделать граничное условие (3.1.30) однородным, произведём замену функции $v_2(r, t)$, именно, положим,

$$v_2(r, t) = \bar{v}_2(r, t) - \frac{2\alpha a_1(R_1, t)}{\mu_2} P_4(r). \quad (3.3.1)$$

Полином четвёртого порядка $P_4(r)$ удовлетворяет условиям: 1) $P_4(R_1) = 0$, $P_4(R_2) = 0$; 2) $dP_4/dr = 1$ при $r = R_1$; 3) $\int_{R_1}^{R_2} r P_4(r) dr = 0$. В качестве такого полинома берём

$$P_4(r) = \frac{1}{R_1^2 (R_1 - R_2)} (r^2 - (R_1 + R_2)r + R_1 R_2) (r^2 + C_1 r + C_2) \quad (3.3.2)$$

с постоянными

$$C_1 = -\frac{(R_1 + R_2)(2R_1^2 + 2R_2^2 + R_1 R_2)}{(R_2 - R_1)(3R_2 + 2R_1)}, \quad C_2 = -R_1 C_1. \quad (3.3.3)$$

Кратко поясним построение полинома $P_4(r)$. Из условия 1) вытекает, что $P_4 = g(R_1, R_2) \times (r - a)(r - b)(r^2 + C_1 r + C_2)$. При выборе $g(R_1, R_2) = [R_1^2 (R_1 - R_2)]^{-1}$ из условия 2) выводим равенство $R_1 C_1 + C_2 = 0$. Из равенства 3) следует ещё одно уравнение на C_1 и C_2 :

$$(3R_1^2 + 3R_2^2 + 4R_1 R_2) C_1 + 5(R_1 + R_2) C_2 = -(R_1 + R_2)(2R_1^2 + 2R_2^2 + R_1 R_2),$$

откуда и следуют формулы (3.3.3)

При замене (3.3.1) граничные условия (3.1.29), (3.1.31) останутся прежними (конечно, вместо v_2 надо взять \bar{v}_2). Уравнение на $\bar{v}_2(r, t)$ будет неоднородным

$$\begin{aligned} \bar{v}_{2t} = \nu_2 (\bar{v}_{2rr} + \frac{1}{r} \bar{v}_{2r}) - \frac{2\nu_2 \alpha}{\mu_2} a_1(R_1, t) (P_{4rr} + \frac{1}{r} P_{4r}) + \frac{2\alpha}{\mu_2} a_{1t}(R_1, t) P_4(r) + \\ + f_2(t) \equiv \nu_2 (\bar{v}_{2rr} + \frac{1}{r} \bar{v}_{2r}) + f_2(t) + Q_2(r, t). \end{aligned} \quad (3.3.4)$$

Учитывая третье условие (3.1.32) находим для функции \bar{v}_2 начальные данные:

$$\bar{v}_2(r, 0) = \frac{2\alpha\epsilon}{\mu_2} a_1^0(R_1) P_4(r) \equiv \bar{v}_2^0(r). \quad (3.3.5)$$

Умножим уравнение (3.1.27) на $\rho_1 r v_1$, уравнение (3.3.4) на $\rho_2 r v_2$, проинтегрируем их по областям определения и результаты сложим:

$$\frac{dE}{dt} + \mu_1 \int_0^{R_1} r v_{1r}^2 dr + \mu_2 \int_{R_1}^{R_2} r \bar{v}_{2r}^2 dr = \rho_2 \int_{R_1}^{R_2} r \bar{v}_2 Q_2 dr - \frac{2\alpha\epsilon a_1(R_1, t)}{R_1} \int_0^{R_1} r v_1 dr, \quad (3.3.6)$$

$$E(t) = \frac{\rho_1}{2} \int_0^{R_1} r v_1^2 dr + \frac{\rho_2}{2} \int_{R_1}^{R_2} r \bar{v}_2^2 dr.$$

При выводе тождества (3.3.6) были использованы первое условие (3.1.29), (3.1.30), (3.1.31), а также равенство (3.1.33).

Левая часть (3.3.6) больше или равна

$$\frac{dE}{dt} + \frac{1}{M} \left(\int_0^{R_1} r v_1^2 dr + \int_{R_1}^{R_2} r \bar{v}_{2r}^2 dr \right) \quad (3.3.7)$$

с постоянной $M = R_1^2(\mu_1 x_0^2)^{-1}$, где x_0 — наименьший положительный корень известного трансцендентного уравнения (3.2.7) с $\gamma_2 = \sqrt{\mu_1/\mu_2} = \sqrt{\mu}$.

Правая часть (3.3.6) не превосходит

$$\left[\sqrt{2\rho_2} \left(\int_{R_1}^{R_2} r Q_2^2 dr \right)^{1/2} + \frac{2\alpha\epsilon}{\sqrt{\rho_1}} |a_1(R_1, t)| \right] \sqrt{E(t)}. \quad (3.3.8)$$

Из (3.3.7) и (3.3.8) получим неравенство

$$\frac{dE}{dt} + 2\delta E \leq 2\sqrt{E} \left[\sqrt{\frac{\rho_2}{2}} \left(\int_{R_1}^{R_2} r Q_2^2 dr \right)^{1/2} + \frac{\alpha\epsilon}{\sqrt{\rho_1}} |a_1(R_1, t)| \right] \equiv 2\sqrt{E} H_1(t) \quad (3.3.9)$$

с постоянной $\delta = M^{-1} \min(\rho_1^{-1}, \rho_2^{-1})$. Из (3.3.9) находим оценку величины $E(t)$:

$$E(t) \leq \left[\sqrt{E(0)} + \int_0^t H_1(\tau) e^{\delta\tau} d\tau \right]^2 e^{-2\delta t}, \quad (3.3.10)$$

где, согласно первому равенству (3.1.32) и (3.3.5),

$$E(0) = \frac{\rho_2}{2} \int_{R_1}^{R_2} r \bar{v}_2^0(r) dr = \frac{2\alpha^2 \rho_2}{\mu_2^2} (a_1^0(R_1))^2 \int_{R_1}^{R_2} r P_4^2(r) dr. \quad (3.3.11)$$

Таким образом, из (3.3.10) следуют оценки величин v_1 и \bar{v}_2 в L_2 -нормах $\forall t \in [0, T]$, где определены $\alpha(t)$ и $\alpha'(t)$.

Для оценки производных v_{1r} , \bar{v}_{2r} в L_2 -нормах умножим уравнение (3.1.27) на $\rho_1 r v_{1t}$, уравнение (3.3.4) — на $\rho_2 r \bar{v}_{2t}$, проинтегрируем по их областям определения и результаты сложим, получим ещё одно тождество

$$\begin{aligned} \rho_1 \int_0^{R_1} v_{1t}^2 dr + \rho_2 \int_{R_1}^{R_2} \bar{v}_{2t}^2 dr + \frac{1}{2} \frac{\partial}{\partial t} \left[\mu_1 \int_0^{R_1} r v_{2r}^2 dr + \mu_2 \int_{R_1}^{R_2} r \bar{v}_{1r}^2 dr \right] = \\ = \rho_2 \int_{R_1}^{R_2} r \bar{v}_{2t} Q_2 dr - \frac{2\alpha}{R_1} a_1(R_1, t) \int_0^{R_1} r v_{1t} dr, \end{aligned} \quad (3.3.12)$$

где $Q_2(r, t)$ определено в (3.3.4). Оценим правую часть (3.3.12) так

$$\frac{\rho_2}{2} \int_{R_1}^{R_2} r \bar{v}_{2t}^2 dr + \frac{\rho_2}{2} \int_{R_1}^{R_2} r Q_2^2 dr + \frac{\alpha^2}{2\rho_1} a_1^2(R_1, t) + \rho_1 \int_0^{R_1} r \bar{v}_{1t}^2 dr.$$

Поэтому из (3.3.12) получим искомое неравенство

$$\begin{aligned} \mu_1 \int_0^{R_1} r v_{1r}^2 dr + \mu_2 \int_{R_1}^{R_2} r \bar{v}_{2r}^2 dr \leq \mu_2 \int_{R_1}^{R_2} r (\bar{v}_{2r}^0)^2 dr + \frac{\rho_2}{2} \int_0^t \int_{R_1}^{R_2} r Q_2^2(r, t) dr dt + \\ + \frac{\alpha^2}{\rho_1} \int_0^t a_1^2(R_1, t) dt \equiv H_2(t) \end{aligned} \quad (3.3.13)$$

откуда и следует ограниченность производных v_{1r} , \bar{v}_{2r} в L_2 -нормах $\forall t \in [0, T]$.

Также, как и в п.2., имеем

$$\begin{aligned} \bar{v}_2^2(r, t) = -2 \int_r^{R_2} \bar{v}_2 \bar{v}_{2r}^2 dr \leq \frac{2}{R_1} \left(\int_{R_1}^{R_2} r \bar{v}_2^2 dr \right)^{1/2} \left(\int_{R_1}^{R_2} r \bar{v}_{2r}^2 dr \right)^{1/2} \leq \\ \leq \frac{2}{R_1} \left(\frac{H_2(t)}{\mu_2} \right)^{1/2} \left(\frac{2}{\rho_2} E(t) \right)^{1/2}. \end{aligned}$$

Таким образом, $\forall t \in [0, T], r \in [R_1, R_2]$

$$|\bar{v}_2(r, t)| \leq \sqrt{\frac{2}{R_1}} \left(\frac{2}{\rho_2 \mu_2} H_2(t) E(t) \right)^{1/4}, \quad (3.3.14)$$

где $H_2(t)$ есть правая часть неравенства (3.3.13), а $E(t)$ оценивается выражением (3.3.10). Учитывая замену (3.3.1), получим оценку

$$|v_2(r, t)| \leq \frac{2\alpha}{\mu_2} |a_1(R_1, t)| \max_{r \in [R_1, R_2]} |P_4(r)| + \sqrt{\frac{2}{R_1}} \left(\frac{2}{\rho_2 \mu_2} H_2(t) E(t) \right)^{1/4}. \quad (3.3.15)$$

Аналогично пункту 4.2, дифференцируя задачу для $v_1(r, t), v_2(r, t)$ по t , приходим к априорной оценке вида (3.3.15):

$$|v_{2t}(r, t)| \leq \frac{2\alpha}{\mu_2} |a_{1t}(R_1, t)| \max_{r \in [R_1, R_2]} |P_4(r)| + \sqrt{\frac{2}{R_1}} \left(\frac{2}{\rho_2 \mu_2} H_3(t) E_1(t) \right)^{1/4}, \quad (3.3.16)$$

где $E_1(t)$ отличается от $E(t)$ тем, что v_1, v_2 надо заменить на v_{1t}, v_{2t} ; $H_3(t)$ отличается от $H_2(t)$ тем, что надо заменить $a_1(R_1, t)$ на $a_{1t}(R_1, t), a_{1t}(R_1, t)$ на $a_{1tt}(R_1, t)$, оценки которых, в силу первого равенства (3.1.33) и неравенств (3.2.19), (3.2.20), уже известны.

Для оценки $|v_1(r, t)|$ поступим следующим образом. Рассмотрим задачу

$$v_{1t} = \nu_1(v_{1rr} + \frac{1}{r} v_{1r}) + f_1(t), \quad 0 < r < R_1 \quad (3.3.17)$$

$$v_1(R_1, t) = v_2(R_1, t), \quad |v_1(0, t)| < \infty, \quad v_1(r, 0) = 0,$$

считая $v_2(R_1, t)$ известной, удовлетворяющей оценке (3.3.15). Решение этой задачи даётся формулой [46]

$$v_1(r, t) = \frac{2\nu_1}{R_1} \sum_{n=1}^{\infty} \frac{\xi_n J_0(\xi_n r / R_1)}{J_1(\xi_n)} \int_0^t v_2(R_1, \tau) \exp(-\nu_1 \xi_n^2 (t - \tau) / R_1^2) d\tau + \frac{2}{R_1} \sum_{n=1}^{\infty} \frac{J_0(\xi_n r / R_1)}{\xi_n J_1(\xi_n)} \int_0^t f_1(\tau) \exp(-\nu_1 \xi_n^2 (t - \tau) / R_1^2) d\tau, \quad (3.3.18)$$

ξ_n — корни функции Бесселя $J_0(\xi_n) = 0$.

Заметим, что $f_1(t)$ является неизвестной; найдём её связь с v_1 . Умножая уравнение (3.3.16) на r и интегрируя от 0 до R_1 , находим

$$f_1(t) = -2\nu_1 v_{1r}(R_1, t) + \frac{2}{R_1^2} \frac{\partial}{\partial t} \int_0^{R_1} r v_1 dr = -2\nu_1 v_{1r}(R_1, t) - \frac{2}{R_1^2} \int_{R_1}^{R_2} r v_{2t} dr, \quad (3.3.19)$$

где использовано второе равенство (3.1.29). В равенстве (3.3.19) у нас нет оценки первого слагаемого, второе может быть оценено с помощью неравенства (3.3.16). Продифференцируем уравнение (3.3.17) по r и введём новую функцию $V(r, t) = v_{1r}(r, t)$. Для неё получим уравнение

$$V_t = \nu_1 \left(V_{rr} + \frac{1}{r} V_r - \frac{1}{r^2} V \right), \quad (3.3.20)$$

причём $|V(0, t)| < \infty$. Второе граничное условие для V находится из рассмотрения интеграла

$$\begin{aligned} \int_0^{R_1} r^2 V dr &= \int_0^{R_1} r^2 v_{1r} dr = R_1^2 v_1(R_1, t) - 2 \int_0^{R_1} r v_1 dr = \\ &= R_1^2 v_2(R_1, t) + 2 \int_{R_1}^{R_2} r v_2 dr \equiv g(t) \end{aligned} \quad (3.3.21)$$

с известной априорной оценкой функции $g(t)$, $g(0) = 0$ (использовано второе равенство (3.1.29)).

Произведём замену функции V :

$$V(r, t) = \bar{V}(r, t) + \left(r^4 - \frac{6}{7} R_1 r^3 \right) g(t). \quad (3.3.22)$$

Задача для $\bar{V}(r, t)$ примет вид (она является неклассической)

$$\begin{aligned} \bar{V}_t = \nu_1 \left(\bar{V}_{rr} + \frac{1}{r} \bar{V}_r - \frac{1}{r^2} \bar{V} \right) + \nu_1 \left(15r^2 - \frac{48}{7} R_1 r \right) g(t) + \\ + \left(\frac{6}{7} R_1 r^3 - r^4 \right) g_t(t), \end{aligned} \quad (3.3.23)$$

$$\bar{V}(r, 0) = 0, \quad \int_0^{R_1} r^2 \bar{V} dr = 0, \quad |\bar{V}(0, t)| < \infty. \quad (3.3.24)$$

Лемма 3.3.1. Решение задачи (3.3.23), (3.3.24) имеет вид

$$\bar{V}(r, t) = \sum_{n=1}^{\infty} \bar{V}_n(t) J_1 \left(\frac{\zeta_n r}{R_1} \right), \quad (3.3.25)$$

где ζ_n – положительные корни уравнения $J_2(\zeta) = 0$ и

$$\bar{V}_n(t) = g(t) h_n^2 + \left(\nu_1 h_n^1 - \frac{\nu_1 \zeta_n^2}{R_1^2} h_n^2 \right) \int_0^t g(\tau) \exp \left[-\frac{\nu_1 \zeta_n^2}{R_1^2} (t - \tau) \right] d\tau, \quad (3.3.26)$$

причём h_n^1 и h_n^2 определяются по формулам

$$\begin{aligned} h_n^1 &= \frac{2}{R_1^2 J_1^2(\zeta_n)} \int_0^{R_1} \left(15r^3 - \frac{48}{7} R_1 r^2 \right) J_1 \left(\frac{\zeta_n}{R_1} r \right) dr, \\ h_n^2 &= \frac{2}{R_1^2 J_1^2(\zeta_n)} \int_0^{R_1} \left(\frac{6}{7} R_1 r^4 - r^5 \right) J_1 \left(\frac{\zeta_n}{R_1} r \right) dr. \end{aligned} \quad (3.3.27)$$

Доказательство: Поскольку [11]

$$\int_0^z \tau^k J_{k-1}(\tau) d\tau = z^k J_k(z), \quad k \geq 1 - \text{целое},$$

то решение задачи (3.3.23), (3.3.24) следует искать в виде ряда Фурье (у нас $k = 2$) (3.3.25), так как [18] $\zeta J_1'(\zeta) - J_1(\zeta) = -\zeta J_2(\zeta)$, корни $J_2(\zeta) = 0$ являются корнями функции $\zeta J_1'(\zeta) - J_1(\zeta)$ и представление (3.3.25) имеет место [18].

Подстановка (3.3.25) в (3.3.23), (3.3.24) приводит к задаче Коши

$$\bar{V}_{nt} + \frac{\nu_1 \zeta_n^2}{R_1^2} \bar{V}_n = \nu_1 g(t) h_n^1 + g_t(t) h_n^2, \quad \bar{V}_n(0) = 0, \quad (3.3.28)$$

где h_n^1, h_n^2 — коэффициенты рядов Фурье функций $15r^2 - 48R_1r/7, 6R_1r^3/7 - r^4$, соответственно, определяющиеся по формулам (3.3.27). Из (3.3.28) находим, что решение задачи (3.3.23), (3.3.24) имеет вид (3.3.26)

Учитывая замену (3.3.22), получим выражение для $v_{1r}(R_1, t)$:

$$\begin{aligned} v_{1r}(R_1, t) &= \bar{V}(R_1, t) + \frac{1}{7} R_1^4 g(t) = \left(\frac{1}{7} R_1^4 + \sum_{n=1}^{\infty} h_n^2 J_1(\zeta_n) \right) g(t) + \\ &+ \sum_{n=1}^{\infty} \left(\nu_1 h_n^1 - \frac{\nu_1 \zeta_n^2}{R_1^2} h_n^2 \right) J_1(\zeta_n) \int_0^t g(\tau) \exp \left[-\frac{\nu_1 \zeta_n^2}{R_1^2} (t - \tau) \right] d\tau. \end{aligned} \quad (3.3.29)$$

Ряды в (3.3.29) и ряд (3.3.25) сходятся равномерно. Действительно

$$\begin{aligned} h_n^1 &= \frac{2}{R_1 \zeta_n J_1^2(\zeta_n)} \int_0^{R_1} \left(15r - \frac{4}{7} R_1 \right) \frac{d}{dr} \left(r^2 J_2 \left(\frac{\zeta_n}{R_1} r \right) \right) dr = \\ &= -\frac{30}{R_1 \zeta_n J_1^2(\zeta_n)} \int_0^{R_1} r^2 J_2 \left(\frac{\zeta_n}{R_1} r \right) dr, \end{aligned} \quad (3.3.30)$$

$$h_n^2 = \frac{6}{R_1 \zeta_n J_1^2(\zeta_n)} \int_0^{R_1} \left(r^4 - \frac{4}{7} R_1 r^3 \right) J_2 \left(\frac{\zeta_n}{R_1} r \right) dr. \quad (3.3.31)$$

Поскольку [11] $J_{k-1}(z) + J_{k+1}(z) = 2kz^{-1}J_k(z)$, то $J_3(\zeta_n) = -J_1(\zeta_n)$ (напомним, что $J_2(\zeta_n) = 0$) и, значит,

$$h_n^1 = \frac{\beta_n^1}{\zeta_n}, \quad h_n^2 = \frac{\beta_n^2}{\zeta_n},$$

где β_n^1, β_n^2 есть n -е коэффициенты рядов Фурье функций $-15R_1r$ и $3R_1(r^3 - 4R_1r^2/7)$ при их разложении по $J_2(R_1^{-1}\zeta_nr)$. Ряды $\sum_{n=1}^{\infty} (\beta_n^j)^2$ сходятся, а тогда, в силу неравенства $|h_n^j| \leq 2^{-1} [(\beta_n^j)^2 + 1/\zeta_n^2]$, сходятся ряды $\sum_{n=1}^{\infty} |h_n^j|$. Ряд $\sum_{n=1}^{\infty} \zeta_n^{-2}$ сходится, так как $\zeta_n \sim n\pi$ при $n \gg 1$, более того [46], $\sum_{n=1}^{\infty} 1/n^2\pi^2 = 1/12$.

Что касается второго слагаемого в (3.3.29), то оно не превосходит

$$R_1^2 \sum_{n=1}^{\infty} \left(\frac{|h_n^1|}{\zeta_n^2} + \frac{|h_n^2|}{R_1^2} \right) \max_{t \in [0, T]} |g(t)|$$

с очевидно сходящимся рядом.

Замечание 3.3.1. В предыдущих рассуждениях было использовано хорошо известное неравенство $|J_k(z)| \leq 1$, $k > 0$ – целое [11].

Замечание 3.3.2. Следуя монографиям [18], [41] можно показать, что функция $\bar{V}(r, t)$ – сумма ряда (3.3.25) – имеет при $t \geq \varepsilon > 0$ производные всех порядков по r и t , в частности, решение задачи (3.3.23), (3.3.24) будет классическим.

Из (3.3.16), (3.3.19) и (3.3.29) находим оценку $f_1(t)$ при $t \in [0, T]$:

$$\begin{aligned} |f_1(t)| \leq & 2\nu_1 \left[\left(\frac{1}{7} R_1^4 + \sum_{n=1}^{\infty} |h_n^2| \right) + 2R_1^2 \sum_{n=1}^{\infty} \left(\frac{|h_n^1|}{\zeta_n^2} + \frac{|h_n^2|}{R_1^2} \right) \right] \max_{t \in [0, T]} |g(t)| + \\ & + \frac{R_2^2 - R_1^2}{R_1^2} \left[\frac{2\varpi}{\mu_2} \max_{t \in [0, T]} |a_{1t}(R_1, t)| \max_{r \in [R_1, R_2]} |P_4(r)| + \right. \\ & \left. + \sqrt{\frac{2}{R_1}} \max_{t \in [0, T]} \left(\frac{2}{\rho_2 \mu_2} H_3(t) E_1(t) \right)^{1/4} \right]. \end{aligned} \quad (3.3.32)$$

Оценка $f_2(t)$ следует из равенства (3.1.33)

$$|f_2(t)| \leq \rho |f_1(t)| + \frac{2\varpi}{\rho_2 R_1} \max_{t \in [0, T]} |a_1(R_1, t)|, \quad (3.3.33)$$

где $\rho = \rho_1/\rho_2$, а $f_1(t)$ удовлетворяет неравенству (3.3.32).

Таким образом, функции $f_j(t)$ ограничены и непрерывны при $t \in [0, T]$.

Ограниченность функции $v_1(r, t)$ при $r \in [0, R_1]$, $t \in [0, T]$ следует из её представления в виде (3.3.18) (использовано равенство (3.2.28))

$$|v_1(r, t)| \leq R_1 \max_{t \in [0, T]} |v_2(R_1, t)| + \frac{2R_1}{\nu_1} \max_{t \in [0, T]} |f_1(t)| \sum_{n=1}^{\infty} \frac{1}{\xi_n^3 |J_1(\xi_n)|}, \quad (3.3.34)$$

где $|v_2(R_1, t)|$, $|f_1(t)|$ удовлетворяют оценкам (3.3.15) и (3.3.32). Ряд в (3.3.34) сходится, поскольку $\xi_n \sim n\pi$, $|J_1(\xi_n)| \sim 1/\sqrt{n}$ при $n \gg 1$.

Таким образом, имеет место

Теорема 3.3.1 Решения начально-краевой задачи (3.1.27) – (3.1.33), (3.1.38) $v_j(r, t)$ и функции $f_j(t)$ ограничены для всех $r \in [0, R_1]$ ($j = 1$) и $r \in [R_1, R_2]$ ($j = 2$), и $t \in [0, T]$.

3.4 Поведение решения при $t \rightarrow \infty$

Если функция $\alpha(t)$ и её производные $\alpha'(t)$, $\alpha''(t)$, $\alpha'''(t)$ определены для всех $t \geq 0$, естественно возникает вопрос о поведении решения рассмотренных в пунктах 4.2, 4.3 задач при $t \rightarrow \infty$. Обратимся к оценке (3.2.11). Поскольку из определения (3.2.3) функции $g_2(r, t)$

$$\begin{aligned} \int_{R_1}^{R_2} r g_2^2 dr &\leq \frac{2}{(R_2 - R_1)^4} \int_{R_1}^{R_2} \left[4\chi_2^2 \left(2 - \frac{R_1}{r} \right)^2 \alpha^2(t) + (r - R_1)^4 (\alpha'(t))^2 \right] r dr \leq \\ &\leq 2R_2(R_2 - R_1)(\alpha'(t))^2 + \frac{32\chi_2^2 \alpha^2(t)}{(R_2 - R_1)^3} \end{aligned}$$

(для интегралов по r даётся оценка сверху, а не их точное значение, которое может быть довольно громоздким), то из (3.2.9)

$$\begin{aligned} G(t) &\leq \left[\max_j \left(\frac{2}{\rho_j c_{\rho_j}} \right) \right]^{1/2} \left[2R_2(R_2 - R_1)(\alpha'(t))^2 + \frac{32\chi_2^2 \alpha^2(t)}{(R_2 - R_1)^3} \right]^{1/2} \leq \\ &\leq 2 \left[\max_j \left(\frac{1}{\rho_j c_{\rho_j}} \right) \right]^{1/2} \left[\frac{4\chi_2}{(R_2 - R_1)^{3/2}} |\alpha(t)| + \sqrt{R_2(R_2 - R_1)} |\alpha'(t)| \right], \quad (3.4.1) \end{aligned}$$

так как $\sqrt{x^2 + y^2} \leq |x| + |y|$. Поэтому из (3.2.11) получим

$$\begin{aligned} A(t) &\leq \left\{ \sqrt{A_0} + \left[\max_j \left(\frac{1}{\rho_j c_{\rho_j}} \right) \right]^{1/2} \left[\frac{4\chi_2}{(R_2 - R_1)^{3/2}} \int_0^t |\alpha(\tau)| e^{\eta\tau} d\tau + \right. \right. \\ &\quad \left. \left. + \sqrt{R_2(R_2 - R_1)} \int_0^t |\alpha'(\tau)| e^{\eta\tau} d\tau \right] \right\}^2 e^{-2\eta t}. \quad (3.4.2) \end{aligned}$$

Из (3.2.3) и (3.2.15)

$$|A_1(t)| \leq k_1 \int_0^{R_1} r(a_{1r}^0)^2 dr + k_2 \int_{R_1}^{R_2} r(\bar{a}_{2r}^0)^2 dr + \\ + \rho_2 c_{\rho_2} R_2 \left[\frac{4\chi_2}{R_2 - R_1} \int_0^t |\alpha(\tau)| d\tau + (R_2 - R_1) \int_0^t |\alpha'(\tau)| d\tau \right]. \quad (3.4.3)$$

Предположим, что сходятся интегралы

$$\int_0^{\infty} |\alpha(\tau)| e^{\eta\tau} d\tau, \quad \int_0^{\infty} |\alpha'(\tau)| e^{\eta\tau} d\tau, \quad (3.4.4)$$

тогда

$$|\alpha(\tau)| = \alpha_1(t) e^{-\eta\tau}, \quad |\alpha'(\tau)| = \alpha_2(t) e^{-\eta\tau} \quad (3.4.5)$$

с неотрицательными функциями $\alpha_1(t)$, $\alpha_2(t)$, причём $\alpha_1(t) \rightarrow 0$, $\alpha_2(t) \rightarrow 0$ при $t \rightarrow \infty$ и

$$\int_0^{\infty} \alpha_k(\tau) d\tau < \infty, \quad k = 1, 2. \quad (3.4.6)$$

Из (3.4.5), (3.4.6) следует сходимость интегралов

$$\int_0^{\infty} |\alpha(\tau)| d\tau, \quad \int_0^{\infty} |\alpha'(\tau)| d\tau,$$

поэтому из оценок (3.2.18), (3.4.2), (3.4.3) получаем экспоненциальную сходимость к нулю $a_2(r, t) \forall r \in [R_1, R_2]$:

$$|a_2(r, t)| \leq \alpha_1(t) e^{-\eta t} + 2 \left(\frac{A_1(\infty) D^2}{R_1^2 k_2 \rho_2 c_{\rho_2}} \right)^{1/4} e^{-\eta t/2}, \quad (3.4.7)$$

где D есть значение выражения в фигурных скобках (3.4.2) при $t = \infty$.

Для $a_1(r, t)$ из представления (3.2.25), (3.2.26) и (3.2.28) находим

$$|a_1(r, t)| \leq 2 \left[\alpha_1(t) e^{-\eta t} + \left(\frac{A_1(\infty) D^2}{R_1^2 k_2 \rho_2 c_{\rho_2}} \right)^{1/4} e^{-\eta t/2} \right] + \\ + \max_{r \in [0, R_1]} |a_1^0(r)| \exp \left(-\frac{\chi_1 \xi_1 t}{R_1} \right), \quad (3.4.8)$$

где $\xi_1 \approx 2.4048$ – первый корень уравнения $J_0(\xi) = 0$. Поэтому справедлива

Лемма 3.4.1. Если функции $\alpha(\tau)$, $\alpha'(\tau)$ удовлетворяют условиям (3.4.4) - (3.4.6), то для решений начально-краевых задач (3.1.34) - (3.1.37) $a_j(r, t)$ справедливы оценки (3.4.7), (3.4.8), из которых следует, что данные функции с ростом времени экспоненциально стремятся к нулю.

Ниже, для выяснения поведения $v_1(r, t)$ и $f_j(t)$ при больших t , нам понадобится оценка $|a_{2t}(r, t)|$. В неравенстве (3.2.19), см. формулу (3.2.5)

$$\begin{aligned}
A_2(t) &= \frac{\rho_1 c_{\rho_1}}{2} \int_0^{R_1} r a_{1t}^2(r, t) dr + \frac{\rho_2 c_{\rho_2}}{2} \int_{R_1}^{R_2} r \bar{a}_{2t}^2(r, t) dr, \\
A_{20} = A_2(0) &= \frac{\chi_1^2 \rho_1 c_{\rho_1}}{2} \int_0^{R_1} r \left(a_{1rr}^0 + \frac{1}{r} a_{1r}^0 \right)^2 dr + \\
&+ \frac{\rho_2 c_{\rho_2}}{2} \int_{R_1}^{R_2} r \left[\chi_2 \left(\bar{a}_{2rr}^0 + \frac{1}{r} \bar{a}_{2r}^0 \right) + \frac{2\chi_2 \alpha(0)}{(R_2 - R_1)^2} \left(2 - \frac{R_1}{r} \right) - \frac{\alpha'(0)(r - R_1)^2}{(R_2 - R_1)^2} \right]^2 dr, \\
\bar{a}_2^0(r) &= a_2^0(r) - \frac{\alpha(0)(r - R_1)^2}{(R_2 - R_1)^2}; \\
A_3(t) &= k_1 \chi_1^2 \int_0^{R_1} r \left(a_{1rr}^0 + \frac{1}{r} a_{1r}^0 \right)^2 dr + \\
&+ k_2 \int_{R_1}^{R_2} r \left[\chi_2 \left(a_{2rr}^0 + \frac{1}{r} a_{2r}^0 \right) - \frac{\alpha'(0)(r - R_1)^2}{(R_2 - R_1)^2} \right]^2 dr + \\
&+ \rho_2 c_{\rho_2} \int_0^t \int_{R_1}^{R_2} r g_3(r, t) dr dt, \tag{3.4.9}
\end{aligned}$$

$$g_3(r, t) = \frac{1}{(R_2 - R_1)^2} \left[2\chi_2 \alpha'(t) \left(2 - \frac{R_1}{r} \right) - \alpha''(t)(r - R_1)^2 \right].$$

Поэтому для $A_2(t)$ получим неравенство (3.4.2) с заменой A_0 на A_{10} , $\alpha(\tau)$ на $\alpha'(\tau)$ и $\alpha'(\tau)$ на $\alpha''(\tau)$. Для функции $A_3(t)$ выполнено неравенство вида (3.4.3) с заменой

$$\int_0^{R_1} r (a_{1r}^0)^2 dr \quad \text{на} \quad \chi_1^2 \int_0^{R_1} r \left(a_{1rr}^0 + \frac{1}{r} a_{1r}^0 \right)^2 dr \equiv d_1,$$

$$\int_{R_1}^{R_2} r (\bar{a}_{2r}^0)^2 dr \quad \text{на} \quad \int_{R_1}^{R_2} r \left[\chi_2 \left(a_{2rr}^0 + \frac{1}{r} a_{2r}^0 \right) - \frac{\alpha'(0)(r - R_1)^2}{(R_2 - R_1)^2} \right]^2 dr \equiv d_2$$

и $\alpha(\tau)$ на $\alpha'(\tau)$, $\alpha'(\tau)$ на $\alpha''(\tau)$.

Дополнительно к (3.4.4) – (3.4.6) предположим сходимость интеграла

$$\int_0^{\infty} |\alpha''(\tau)| e^{\eta\tau} d\tau < \infty, \quad (3.4.10)$$

так что

$$|\alpha''(t)| = \alpha_3(t) e^{-\eta t}, \quad \int_0^{\infty} \alpha_3(\tau) d\tau < \infty, \quad \alpha_3(t) \rightarrow 0 \text{ при } t \rightarrow \infty. \quad (3.4.11)$$

Учитывая выше сказанное, из (3.2.18) находим

$$|a_{2t}(r, t)| \leq \alpha_2(t) e^{-\eta t} + 2 \left(\frac{A_3(\infty) D_1^2}{R_1^2 k_2 \rho_2 c_{p_2}} \right)^{1/4} e^{-\eta t/2}, \quad (3.4.12)$$

где

$$A_3(\infty) = k_1 d_1 + k_2 d_2 + \frac{R_2 \rho_2 c_{p_2}}{R_2 - R_1} \left[4\chi_2 \int_0^{\infty} |\alpha'(\tau)| + (R_2 - R_1)^2 \int_0^{\infty} |\alpha''(\tau)| d\tau \right],$$

$$D_1 = \sqrt{A_{10}} + \max_j \left(\frac{1}{\rho_j c_{p_j}} \right)^{1/2} \left[\frac{4\chi_2}{(R_2 - R_1)^{3/2}} \int_0^{\infty} |\alpha'(\tau)| e^{\eta\tau} d\tau + \sqrt{R_2(R_2 - R_1)} \int_0^{\infty} |\alpha''(\tau)| e^{\eta\tau} d\tau \right]. \quad (3.4.13)$$

Обратимся к неравенству (3.2.20) для $|a_{2tt}(r, t)|$. Имеем

$$A_4(t) = \frac{\rho_1 c_{p_1}}{2} \int_0^{R_1} r a_{1tt}^2 dr + \frac{\rho_2 c_{p_2}}{2} \int_{R_1}^{R_2} r \bar{a}_{2tt}^2 dr, \quad (3.4.14)$$

$$A_{40} = \frac{\rho_1 c_{p_1}}{2} \int_0^{R_1} r (a_{1tt}^0(r))^2 dr + \frac{\rho_2 c_{p_2}}{2} \int_{R_1}^{R_2} r (\bar{a}_{2tt}^0(r))^2 dr.$$

Начальные данные находятся из уравнений (3.1.34) и замены (3.2.2):

$$\begin{aligned}
a_{1tt}^0(r) &= \chi_1 \left[\left(a_{1rr}^0 + \frac{1}{r} a_{1r}^0 \right)_{rr} + \frac{1}{r} \left(a_{1rr}^0 + \frac{1}{r} a_{1r}^0 \right)_r \right], \\
\bar{a}_{2tt}^0(r) &= \chi_2 \left[\left(a_{2rr}^0 + \frac{1}{r} a_{2r}^0 \right)_{rr} + \frac{1}{r} \left(a_{2rr}^0 + \frac{1}{r} a_{2r}^0 \right)_r \right] - \frac{\alpha''(0)(r - R_1)^2}{(R_2 - R_1)^2}.
\end{aligned} \tag{3.4.15}$$

Далее,

$$\begin{aligned}
A_5(t) &= k_1 \int_0^{R_1} r (a_{1tt}^0)^2 dr + k_2 \int_{R_1}^{R_2} r (\bar{a}_{2tt}^0)^2 dr + \\
&+ \frac{\rho_2 c_{\rho_2}}{(R_2 - R_1)^2} \int_0^t \int_{R_1}^{R_2} r \left[2\chi_2 \alpha''(\tau) \left(2 - \frac{R_1}{r} \right) - \alpha'''(\tau) (r - R_1)^2 \right] dr.
\end{aligned} \tag{3.4.16}$$

Функция $A_4(t)$, как и $A(t)$, удовлетворяет оценке типа (3.2.11), а значит и (3.4.2) с заменой A_0 на A_{40} , $\alpha(t)$ на $\alpha''(\tau)$ и $\alpha'(\tau)$ на $\alpha'''(\tau)$.

Если потребовать сходимость интеграла

$$\int_0^\infty |\alpha'''(\tau)| e^{\eta\tau} d\tau < \infty, \tag{3.4.17}$$

$$|\alpha'''(t)| = \alpha_4(t) e^{-\eta t}, \quad \int_0^\infty \alpha_4(\tau) d\tau < \infty, \quad \alpha_4(t) \rightarrow 0 \text{ при } t \rightarrow \infty,$$

получим оценку функции $A_5(t)$ (см. формулу (3.4.3))

$$\begin{aligned}
|A_5(t)| &\leq k_1 \int_0^{R_1} r (a_{1tt}^0)^2 dr + k_2 \int_{R_1}^{R_2} r (\bar{a}_{2tt}^0)^2 dr + \\
&+ \rho_2 c_{\rho_2} R_2 \left[\frac{4\chi_2}{R_2 - R_1} \int_0^t |\alpha''(\tau)| d\tau + (R_2 - R_1) \int_0^t |\alpha'''(\tau)| d\tau \right],
\end{aligned} \tag{3.4.18}$$

где $a_{jtt}^0(r)$ определяются формулами (3.4.15). В силу (3.4.10), (3.4.17) $|A_5(t)| \leq A_5(\infty)$ и, аналогично оценке (3.4.12), получим из (3.2.20)

$$|a_{2tt}(r, t)| \leq \alpha_4(t) e^{-\eta t} + 2 \left(\frac{A_5(\infty) D_2^2}{R_1^2 k_2 \rho_2 c_{\rho_2}} \right)^{1/4} e^{-\eta t/2}, \tag{3.4.19}$$

$$D_2 = \sqrt{A_{40}} + \left[\max_j \left(\frac{1}{\rho_j c_{\rho_j}} \right) \right]^{1/2} \left[\frac{4\chi_2}{(R_2 - R_1)^{3/2}} \int_0^\infty |\alpha''(\tau)| e^{\eta\tau} d\tau + \right. \\ \left. + \sqrt{R_2(R_2 - R_1)} \int_0^\infty |\alpha'''(\tau)| e^{\eta\tau} d\tau \right].$$

Перейдём к уточнению оценок функций $v_j(r, t)$, $f_j(t)$, когда $\alpha(\tau)$, $\alpha'(\tau)$, $\alpha''(\tau)$ и $\alpha'''(\tau)$ удовлетворяют условиям (3.4.4) – (3.4.6), (3.4.10), (3.4.11). При этом всюду будем заменять $a_1(R_1, t)$, $a_{1t}(R_1, t)$ на $a_2(R_1, t)$, $a_{2t}(R_1, t)$ согласно первому равенству (3.1.37). Начнём с функции $v_2(r, t)$, для которой доказано неравенство (3.3.15). Входящая в правую часть этого неравенства величина $E(t)$ имеет оценку (3.3.10), где $H_1(t)$ даётся равенством (3.3.9), в котором из (3.3.4)

$$Q_2(r, t) = \frac{2\mathfrak{a}}{\mu_2} \left[a_{2t}(R_1, t) P_4(r) - \nu_1 \left(P_{4rr} + \frac{1}{r} P_{4r} \right) a_2(R_1, t) \right].$$

Значит

$$\int_{R_1}^{R_2} r Q_2^2(r, t) dr \leq \frac{8\mathfrak{a}^2}{\mu_2^2} \left[a_{2t}^2(R_1, t) \int_{R_1}^{R_2} r P_4^2(r) dr + \right. \\ \left. + \nu_1^2 a_2^2(R_1, t) \int_{R_1}^{R_2} r \left(P_{4rr} + \frac{1}{r} P_{4r} \right)^2 dr \right] \equiv \\ \equiv d_3 a_2^2(R_1, t) + d_4 a_{2t}^2(R_1, t). \quad (3.4.20)$$

Поэтому

$$H_1(t) \leq \frac{\mathfrak{a}}{\sqrt{\rho_1}} |a_2(R_1, t)| + \sqrt{\frac{\rho_2}{2}} \left(\sqrt{d_3} |a_2(R_1, t)| + \sqrt{d_4} |a_{2t}(R_1, t)| \right) = \\ = \left(\frac{\mathfrak{a}}{\sqrt{\rho_1}} + \sqrt{\frac{\rho_2 d_3}{2}} \right) |a_2(R_1, t)| + \sqrt{\frac{\rho_2 d_4}{2}} |a_{2t}(R_1, t)|$$

и оценка (3.3.10) принимает вид

$$E(t) \leq \left[\sqrt{E(0)} + \left(\frac{\mathfrak{a}}{\sqrt{\rho_1}} + \sqrt{\frac{\rho_2 d_3}{2}} \right) \int_0^t |a_2(R_1, \tau)| e^{\delta\tau} d\tau + \right. \\ \left. + \sqrt{\frac{\rho_2 d_4}{2}} \int_0^t |a_{2t}(R_1, \tau)| e^{\delta\tau} d\tau \right]^2 e^{-2\delta t}. \quad (3.4.21)$$

Согласно оценкам (3.4.7), (3.4.12) интегралы в (3.4.21) имеют при больших t порядок $e^{(\delta-\eta)t}$ и $e^{(\delta-\eta/2)t}$, поэтому

$$E(t) \leq d_5 \begin{cases} e^{-2\delta t}, & \delta < \eta/2, \\ te^{-2\delta t}, & \delta = \eta/2, \\ e^{-\eta t}, & \delta > \eta/2, \end{cases} \equiv \gamma(t) \quad (3.4.22)$$

с положительной постоянной d_5 .

Функция $H_2(t)$, определяемая равенством (3.3.13), с использованием (3.4.20), оценивается так:

$$\begin{aligned} H_2(t) \leq \mu_2 \int_{R_1}^{R_2} r(\bar{v}_{2r}^0)^2 dr + \left(\frac{\rho_2 d_3}{2} + \frac{\varkappa^2}{\rho_1} \right) \int_0^t a_2^2(R_1, \tau) d\tau + \\ + \frac{\rho_2 d_4}{2} \int_0^t a_{2\tau}^2(R_1, \tau) d\tau \leq D_2 = \text{const} > 0 \end{aligned}$$

в силу неравенств (3.4.7), (3.4.12).

Итак, из (3.2.25) - (3.2.28), (3.3.15), (3.4.21), (3.4.22) найдём оценку

$$\begin{aligned} |v_2(r, t)| \leq \frac{2\varkappa}{\mu_2} \max_{r \in [R_1, R_2]} |P_4(r)| \left[\alpha_1(t) e^{-\eta t} + 2 \left(\frac{A_1(\infty) D^2}{R_1^2 k_2 \rho_2 c \rho_2} \right)^{1/4} e^{-\eta t/2} \right] + \\ + \sqrt{2} \left(\frac{2d_5}{R_1^2 \nu_2} D_2 \gamma(t) \right)^{1/4} \end{aligned} \quad (3.4.23)$$

и $v_2(r, t)$ равномерно по $r \in [R_1, R_2]$ стремится к нулю с ростом времени t .

Ниже нам понадобятся значения $f_j(0)$. Из (3.1.33) получим связь между ними

$$\rho_1 f_1(0) = \rho_2 f_2(0) - \frac{2\varkappa}{R_1} a_1^0(R_1).$$

Другая связь вытекает из второго равенства (3.1.29) и уравнения (3.1.31) (напомним, что $v_j(r, 0) = 0$):

$$f_1(0) = -\frac{R_2^2 - R_1^2}{R_1^2} f_2(0).$$

Теперь находим

$$f_1(0) = \frac{2\varkappa(R_2^2 - R_1^2)a_1^0(R_1)}{R_1^2 + \rho(R_2^2 - R_1^2)}, \quad f_2(0) = \frac{R_1^2}{R_2^2 - R_1^2} f_1(0). \quad (3.4.24)$$

Кроме того,

$$v_{1t}(r, 0) = f_1(0), \quad \bar{v}_{2t}(r, 0) = f_2(0) + \frac{2\varkappa\chi_1}{\mu_2} \left(a_{1rrr}^0 + \frac{1}{r} a_{1rr}^0 \right) P_4(r). \quad (3.4.25)$$

Второе начальное условие следует из уравнений (3.2.21), (3.3.4) и замены (3.3.1).

Функция $E_1(t)$ в правой части неравенства (3.3.16) имеет вид

$$E_1(t) = \frac{\rho_1}{2} \int_0^{R_1} r v_{1t}^2 dr + \frac{\rho_2}{2} \int_{R_1}^{R_2} r \bar{v}_{2t}^2 dr,$$

$$E_1(0) = \frac{\rho_1 R_1^2}{4} f_1^2(0) + \frac{\rho_2}{2} \int_{R_1}^{R_2} r \bar{v}_{2t}^2(r, 0) dr,$$

где $f_1(0)$ определено первым равенством (3.4.24), а $\bar{v}_{2t}(r, 0)$ – вторым равенством (3.4.25). Для $E_1(t)$ имеет оценка вида (3.4.15)

$$E_1(t) \leq \left[\sqrt{E_1(0)} + \left(\frac{\varkappa}{\sqrt{\rho_1}} + \sqrt{\frac{\rho_2 d_3}{2}} \right) \int_0^t |a_{2t}(R_1, \tau)| e^{\delta\tau} d\tau + \right. \\ \left. + \sqrt{\frac{\rho_2 d_4}{2}} \int_0^t |a_{2tt}(R_1, \tau)| e^{\delta\tau} d\tau \right]^2 e^{-2\delta t}. \quad (3.4.26)$$

Учитывая полученные оценки (3.4.12), (3.4.18) из (3.4.20) найдём с помощью постоянной d_6

$$E_1(t) \leq d_6 \gamma(t) \quad (3.4.27)$$

и функцией $\gamma(t)$ из неравенства (3.4.22).

Для функции $H_3(t)$ из правой части неравенства (3.3.16) имеем выражение

$$H_3(t) = \mu_1 \int_0^{R_1} r (v_{1tr}^0)^2 dr + \mu_2 \int_{R_1}^{R_2} r (\bar{v}_{2tr}^0)^2 dr + \\ + \frac{\rho_2}{2} \int_0^t \int_{R_1}^{R_2} r Q_2^2(r, \tau) dr d\tau + \frac{\varkappa^2}{\rho_1} \int_0^t a_2^2(R_1, \tau) d\tau, \quad (3.4.28)$$

где в нашем случае

$$Q_2(r, t) = \frac{2\varkappa}{\mu_2} \left[-\nu_2 a_{2t}(R_1, t) \left(P_{4rr} + \frac{1}{r} P_{4r} \right) + a_{2tt}(R_1, t) P_4(r) \right],$$

$$v_{1tr}^0(r) = 0, \quad \bar{v}_{2tr}^0 = \frac{2\varkappa}{\mu_2} a_{2t}(R_1, 0) P_{4r}, \quad a_{2t}(R_1, 0) = \chi_2 \left[a_{2rr}^0(R_1) + \frac{1}{R_1} a_{2r}^0(R_1) \right].$$

Ясно, что

$$\int_{R_1}^{R_2} r Q_2^2(r, t) dr \leq d_3 a_{2t}^2(R_1, t) + d_4 a_{2tt}^2(R_1, t)$$

с постоянными d_3, d_4 из (3.4.19). В силу сходимости интегралов

$$\int_0^\infty (a_2^{(k)}(\tau))^2 d\tau, \quad k = 0, 1, 2$$

получим $H_3(t) \leq H_3(\infty)$ и оценка (3.3.16) принимает вид для всех $r \in [R_1, R_2]$

$$\begin{aligned} |v_{2t}(r, t)| \leq \frac{2\mathfrak{a}}{\mu_2} \max_{r \in [R_1, R_2]} |P_4(r)| & \left[\alpha_2(t) e^{-\eta t} + 2 \left(\frac{A_3(\infty) D_1^2}{R_1^2 k_2 \rho_2 c_{\rho_2}} \right)^{1/4} e^{-\eta t/2} \right] + \\ & + \sqrt{2} \left(\frac{2d_6}{R_1^2 \nu_2} H_3(\infty) \gamma(t) \right)^{1/4}. \end{aligned} \quad (3.4.29)$$

Функция $f_1(t)$ – градиент давления в первой жидкости вдоль оси z , определяется равенством (3.3.18), где $v_{1r}(R_1, t)$ даётся формулой (3.3.29). Последняя содержит функцию (см. (3.3.21))

$$g(t) = R_1^2 v_2(R_1, t) + 2 \int_{R_1}^{R_2} r v_2(r, t) dr$$

и, учитывая оценку (3.4.23), найдём

$$\begin{aligned} |g(t)| \leq R_2^2 & \left\{ \frac{2\mathfrak{a}}{\mu_2} \max_{r \in [R_1, R_2]} |P_4(r)| \left[\alpha_1(t) e^{-\eta t} + 2 \left(\frac{A_1(\infty) D^2}{R_1^2 k_2 \rho_2 c_{\rho_2}} \right)^{1/4} e^{-\eta t/2} \right] + \right. \\ & \left. + \sqrt{2} \left(\frac{2d_5}{R_1^2 \nu_2} H_2(\infty) \gamma(t) \right)^{1/4} \right\} \leq d_7 e^{-\omega t}, \end{aligned} \quad (3.4.30)$$

где $\omega = \min(\delta/2, \eta/4)$ (при $\delta = \eta/2$ в (3.4.30) будет $te^{-\omega t}$ вместо $e^{-\omega t}$ согласно (3.4.21)). Из (3.3.29) и (3.4.30)

$$|v_{1r}(R_1, t)| \leq S_1 d_7 e^{-\omega t} + S_2 d_7 \left| \exp\left(-\frac{\zeta_1^2 \nu_1}{R_1^2} t\right) - e^{-\omega t} \right|, \quad (3.4.31)$$

$$S_1 = \frac{1}{7} R_1^4 + \sum_{n=1}^{\infty} |h_n^2|, \quad S_2 = \nu_1 \sum_{n=1}^{\infty} \frac{1}{\nu_1 R_1^{-2} \zeta_n^2 - \omega} \left(|h_n^1| + \frac{\zeta_n^2}{R_1^2} |h_n^2| \right),$$

причём $S_1 < \infty$ и $S_2 < \infty$. Теперь из (3.3.18) с помощью неравенств (3.4.29) - (3.4.31) получим оценку

$$|f_1(t)| \leq 2\nu_1 \left[S_1 d_7 e^{-\omega t} + S_2 d_7 \left| \exp \left(-\frac{\zeta_1^2 \nu_1}{R_1^2} t \right) - e^{-\omega t} \right| \right] + d_8 e^{-\omega t}. \quad (3.4.32)$$

Оценка $f_2(t)$ следует из (3.1.31), неравенств (3.4.7) и (3.4.32)

$$|f_2(t)| \leq \rho |f_1(t)| + 2\alpha \left[\alpha_1(t) e^{-\eta t} + 2 \left(\frac{A_1(\infty) D^2}{R_1^2 k_2 \rho_2 c_{\rho_2}} \right)^{1/4} e^{-\eta t/2} \right]. \quad (3.4.33)$$

Замечание 3.4.1. Из (3.3.34), с учётом оценок (3.4.23) и (3.4.32) следует, что функция $v_1(r, t)$ с ростом времени экспоненциально стремится к нулю

$$\begin{aligned} |v_1(r, t)| \leq R_1 \max_{t \in [0, T]} \left| \frac{2\alpha}{\mu_2} \max_{r \in [R_1, R_2]} |P_4(r)| \left[\alpha_1(t) e^{-\eta t} + 2 \left(\frac{A_1(\infty) D^2}{R_1^2 k_2 \rho_2 c_{\rho_2}} \right)^{1/4} e^{-\eta t/2} \right] + \right. \\ \left. + \sqrt{2} \left(\frac{2d_5}{R_1^2 \nu_2} D_2 \gamma(t) \right)^{1/4} \right| + \frac{2R_1}{\nu_1} \max_{t \in [0, T]} |2\nu_1 [S_1 d_7 e^{-\omega t} + \\ + S_2 d_7 \left| \exp \left(-\frac{\zeta_1^2 \nu_1}{R_1^2} t \right) - e^{-\omega t} \right|] + d_8 e^{-\omega t} \left| \sum_{n=1}^{\infty} \frac{1}{\xi_n^3 |J_1(\xi_n)|} \right|, \end{aligned} \quad (3.4.34)$$

Для функции $h_1(t)$ из (3.1.39), с учётом первого соотношения (3.1.29) и неравенства (3.4.23) имеем оценку

$$\begin{aligned} |h_1(t)| \leq \frac{R_2^2 - R_1^2}{2R_1} \left\{ \frac{2\alpha}{\mu_2} \max_{r \in [R_1, R_2]} |P_4(r)| \left[\int_0^t \alpha_1(\tau) e^{-\eta \tau} d\tau + \right. \right. \\ \left. \left. + \frac{4}{\eta} \left(\frac{A_1(\infty) D^2}{R_1^2 k_2 \rho_2 c_{\rho_2}} \right)^{1/4} \left(1 - e^{-\eta t/2} \right) \right] + \sqrt{2} \left(\frac{2d_5}{R_1^2 \nu_2} H_2(\infty) \right)^{1/4} \int_0^t \gamma^{1/4}(\tau) d\tau \right\} \end{aligned} \quad (3.4.35)$$

и $h_1(t)$ ограничена при $t \rightarrow \infty$.

Таким образом, доказана

Теорема 3.4.1.: Если функции $\alpha(\tau)$, $\alpha'(\tau)$, $\alpha''(\tau)$, $\alpha'''(\tau)$, удовлетворяют условиям (3.4.4) – (3.4.6), (3.4.10), (3.4.11), (3.4.17), то для функций $a_j(r, t)$, $v_j(r, t)$, $f_j(t)$ справедливы оценки (3.4.7), (3.4.8), (3.4.23), (3.4.34), (3.4.32), (3.4.33), из которых следует, что данные функции с ростом времени экспоненциально стремятся к нулю.

Замечание 3.4.2. Условия (3.4.4) - (3.4.6), (3.4.10), (3.4.11), (3.4.17) физически означают, что тепловые эффекты на твёрдой стенке цилиндра $r = R_2$ очень малы и за счёт сил трения происходит торможение жидкостей при $t \rightarrow \infty$.

4 Решение сопряжённой задачи, описывающей осесимметрическое термокапиллярное движение в цилиндре при малом числе Марангони

Данная глава посвящена линейной задаче об осесимметрическом термокапиллярном движении двух несмешивающихся вязких теплопроводных жидкостей в цилиндрической трубе. Их общая поверхность раздела фиксирована и недеформируемая. Задача является обратной, так как градиенты давлений есть искомые функции. В изображениях по Лапласу решения находятся в виде квадратур. Доказано, что если температура на стенке трубы стабилизируется со временем, то решение также с ростом времени стремится к стационарному режиму. Проведённые численные расчёты хорошо соотносятся с теоретическими результатами.

4.1 Постановка задачи

Отличие данной задачи, от задачи рассматриваемой в предыдущей главе в том, что поверхность раздела двух несмешивающихся вязких теплопроводных жидкостей в цилиндрической трубе является фиксированной (рисунок 8). Таким образом в первой области $0 < r < R_1$, во второй $R_1 < r < R_2$. Задача

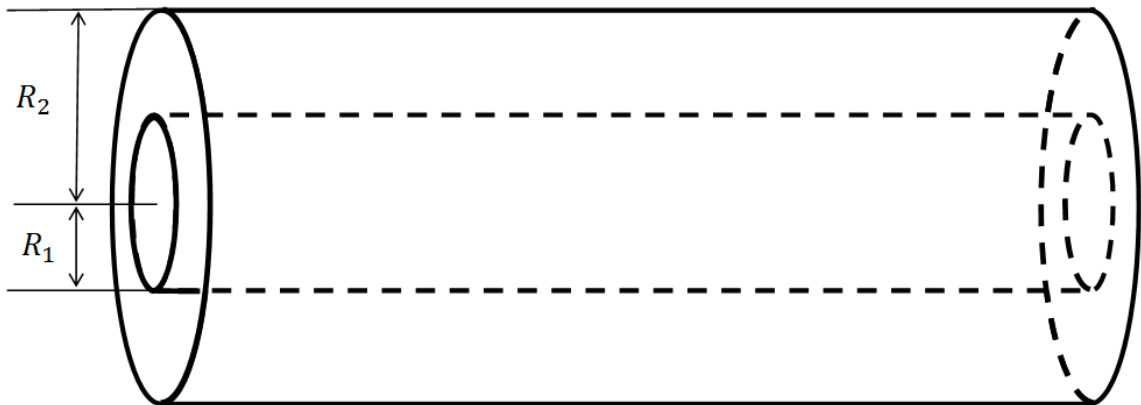


Рисунок 8. Схема области решения

для функции $v_j(r, t)$, записывается следующим образом

$$v_{1t} = \nu_1(v_{1rr} + \frac{1}{r} v_{1r}) + f_1(t), \quad 0 < r < R_1, \quad (4.1.1)$$

$$v_{2t} = \nu_2(v_{2rr} + \frac{1}{r} v_{2r}) + f_2(t), \quad R_1 < r < R_2, \quad (4.1.2)$$

$$v_1(R_1, t) = v_2(R_1, t), \quad \int_0^{R_1} r v_1(r, t) dt = 0, \quad \int_{R_1}^{R_2} r v_2(r, t) dt = 0. \quad (4.1.3)$$

$$\mu_1 v_{1r}(R_1, t) - \mu_2 v_{2r}(R_1, t) = -2\alpha a_1(R_1, t), \quad (4.1.4)$$

$$v_2(R_2, t) = 0, \quad (4.1.5)$$

$$v_1(r, 0) = v_{10}(r), \quad |v_1(0, t)| < \infty, \quad v_2(r, 0) = v_{20}(r), \quad (4.1.6)$$

В отличие от задачи (3.1.27) - (3.1.33) здесь начальные данные (4.1.6) являются ненулевыми. Кроме того, так как поверхность раздела фиксирована, то из условия (3.1.23), второго уравнения (3.1.4), условия прилипания для компоненты скорости на ось r в области $R_1 < r < R_2$ второе условие в (3.1.29) записывается в виде последних двух равенств в (4.1.3). Данные соотношения позволяют определить пока произвольные функции $f_1(t)$ и $f_2(t)$, если известна $a_1(r, t)$. Задача для $a_j(r, t)$ записывается аналогичным образом как и в предыдущей главе.

4.2 Стационарное решение

Для такого решения все функции от времени не зависят. Тогда из (3.1.33)–(3.1.36) получим $a_1^c = a_2^c = \text{const} = \alpha^c$,

$$v_1^c(r) = \frac{a\alpha\alpha^c}{\mu_2} h_1(\delta) \left(\frac{1}{2} - \frac{r^2}{R_1^2} \right), \quad \delta = \frac{R_1^2}{R_2^2} < 1; \quad (4.2.1)$$

$$v_2^c(r) = \frac{2R_1\alpha\alpha^c}{\mu_2} \frac{1}{h_3(\delta)} \left[\frac{(1-\delta)^2}{1-\delta+\delta\ln\delta} \ln\left(\frac{r}{b}\right) + 1 - \frac{r^2}{b^2} \right], \quad (4.2.2)$$

где

$$h_1(\delta) = \frac{2\delta h_2(\delta)}{h_3(\delta)}, \quad h_2(\delta) = \frac{\delta-1}{\delta} \left[2 + \frac{(1-\delta)\ln\delta}{1-\delta+\delta\ln\delta} \right], \quad (4.2.3)$$

$$h_3(\delta) = \frac{(1-\delta)^2}{1-\delta+\delta\ln\delta} - 2\delta + 2\mu\delta h_2(\delta), \quad \mu = \frac{\mu_1}{\mu_2};$$

$$f_1^c = \frac{4\alpha\nu\delta h_1(\delta)\alpha^c}{R_1\rho_2 h_3(\delta)}, \quad \nu = \frac{\nu_1}{\nu_2}, \quad f_2^c = \frac{8\alpha\delta\alpha^c}{R_1\rho_2 h_3(\delta)}. \quad (4.2.4)$$

Компоненты скорости на ось r даются формулами

$$u_1^c = -\frac{a^2\alpha\alpha^c}{4\mu_2} \left(\frac{r}{R_1} \right) \left(1 - \frac{r^2}{R_1^2} \right),$$

$$u_2^c = -\frac{R_1^2\alpha\alpha^c}{\mu_2 h_3(\delta)} \left(\frac{R_1}{r} \right) \left\{ \frac{(1-\delta)^2}{2(1-\delta+\delta\ln\delta)} \left[\frac{r^2}{R_1^2} \ln\left(\frac{\delta r^2}{R_1^2}\right) - \right. \right. \quad (4.2.5)$$

$$\left. \left. - \ln\delta + 1 - \frac{r^2}{R_1^2} \right] + \frac{r^2}{R_1^2} - \frac{\delta}{2} \frac{r^4}{R_1^4} - 1 + \frac{\delta}{2} \right\},$$

а функции $b_j^s(r)$ —

$$\begin{aligned} b_1^c(r) &= \frac{\alpha^c R_2^2}{2} \left[1 + (1-k)\delta \ln \delta - \frac{\delta r^2}{R_1^2} \right] + \beta^c, \quad 0 \leq r \leq R_1; \\ b_2^c(r) &= \frac{\alpha^c R_2^2}{2} \left[1 - \frac{\delta r^2}{R_1^2} + (1-k)\delta \ln \left(\frac{\delta r^2}{R_1^2} \right) \right] + \beta^c, \quad 0 \leq R_1 \leq R_2, \end{aligned} \quad (4.2.6)$$

где $k = k_1/k_2$.

4.3 Априорные оценки

Априорные оценки для $a_j(r, t)$ находятся аналогичным образом, как и в предыдущей главе и имеют вид (3.2.18), (3.2.25).

Перейдём к получению априорных оценок функций $v_j(r, t)$, которые удовлетворяют уравнениям (4.1.1), (4.1.2), начальным данным (4.1.6) и краевым условиям (4.1.3) - (4.1.5). Поскольку функции v_1 и v_2 удовлетворяют второму и третьему условиям (4.1.3), то для них выполняется неравенство Фридрикса [3]

$$\begin{aligned} \int_0^{R_1} r v_1^2 dr &\leq \frac{R_1^2}{x_0^2} \int_0^{R_1} r v_{1r}^2 dr, \\ \int_{R_1}^{R_2} r v_2^2(r) dr &\leq \frac{(R_2 - R_1)^2}{x_0^2} \int_{R_1}^{R_2} r v_{2r}^2 dr, \end{aligned} \quad (4.3.1)$$

где $x_0 \approx 3.8317$ — первый положительный нуль функции Бесселя $J_1(x)$.

Умножим уравнение (4.1.1) на $\rho_1 r v_1$, уравнение (4.1.2) на $\rho_2 r v_2$, затем проинтегрируем их по r и результаты сложим:

$$\begin{aligned} \frac{dE}{dt} + \mu_1 \int_0^{R_1} r v_{1r}^2 dr + \mu_2 \int_{R_1}^{R_2} r v_{2r}^2 dr &= -2\alpha R_1 a_2(R_1, t) v_2(R_1, t), \\ E &= \frac{\rho_1}{2} \int_0^{R_1} r v_1^2 dr + \frac{\rho_2}{2} \int_{R_1}^{R_2} r v_2^2 dr. \end{aligned} \quad (4.3.2)$$

Модуль правой части не превосходит

$$\frac{\alpha^2 a_2^2(R_1, t)}{\varepsilon} + \varepsilon R_1 (R_2 - R_1) \int_{R_1}^{R_2} r v_{2r}^2 dr$$

для любого $\varepsilon > 0$. Выбирая $\varepsilon = \mu_2/[2R_1(R_2 - R_1)]$ и пользуясь неравенствами (4.3.1), получим из (4.3.2)

$$\frac{dE}{dt} + \eta_1 E \leq \frac{2\alpha^2 R_1 a_2^2(R_1, t) (R_2 - R_1)}{\mu_2}, \quad (4.3.3)$$

где

$$\eta_1 = 2x_0^2 \min \left(\frac{\nu_1}{R_1^2}, \frac{\nu_2}{2(R_2 - R_1)^2} \right). \quad (4.3.4)$$

Учитывая оценку (3.2.18), из (4.3.3) найдём

$$E \leq E_0 e^{-\eta_1 t} + \frac{2\alpha^2 R_1 (R_2 - R_1)}{\mu_2} \frac{(N + \sqrt{d_3})^2}{|\eta_1 - \eta|} e^{-\eta t}, \quad E_0 = E(0). \quad (4.3.5)$$

Если $\eta_1 = \eta$, то во втором слагаемом в правой части неравенства (4.3.5) вместо экспоненты $e^{-\eta t}$ будет стоять $te^{-\eta t}$. Таким образом, L_2 -нормы $v_j(r, t)$ с весом r убывают по экспоненциальному закону $e^{-\eta_2 t}$, где $\eta_2 = \min(\eta, \eta_1)$.

Для доказательства ограниченности в такой же норме $v_{jr}(r, t)$ при всех $t > 0$ произведём замену

$$\begin{aligned} v_1(r, t) &= \bar{v}_1(r, t) - \frac{2\alpha a_1(R_1, t)}{\mu_1} P(r), \\ v_2(r, t) &= \bar{v}_2(r, t), \end{aligned} \quad (4.3.6)$$

где полином по r третьего порядка таков:

$$P(r) = r^4 + \frac{5}{3R_1^2} \left(1 - \frac{4R_1^3}{3} \right) r^3 + \left(\frac{4R_1^2}{3} - \frac{2}{R_1} \right) r^2 + \frac{R_1}{3} - \frac{R_1^4}{9}. \quad (4.3.7)$$

Он выбирается из следующих условий $P(R_1) = 0$, $P_r(R_1) = 1$, $|P_r(r)/r| < \infty$, $\int_0^{R_1} r P(r) dr = 0$. Тогда для новой функции $\bar{v}_1(r, t)$ будет выполнено второе интегральное условие (4.1.3), краевое условие (4.1.4) становится однородным, первое условие (4.1.3) остаётся прежним. Изменяются начальные данные (4.1.6) для $\bar{v}_1(r, 0)$,

$$\bar{v}_1(r, 0) = v_{10}(r) + \frac{2\alpha a_1(R_1, 0)}{\mu_1} P(r) \equiv \bar{v}_{10}(r), \quad (4.3.8)$$

и само уравнение (4.1.1)

$$\bar{v}_{1t} = \nu_1 \left(\bar{v}_{1rr} + \frac{1}{r} \bar{v}_{1r} \right) + f_1(t) + Q(r, t), \quad (4.3.9)$$

где

$$\begin{aligned} Q(r, t) &= \frac{2\alpha a_{1t}(R_1, t)}{\mu_1} P(r) - \\ &\quad - \frac{2\alpha a_1(R_1, t)}{\rho_1} \left[16r^2 + \frac{15}{R_1^2} \left(1 - \frac{4R_1^3}{3} \right) r - \frac{6}{R_1} + \frac{16R_1^2}{3} \right]. \end{aligned} \quad (4.3.10)$$

Умножим уравнение (4.3.9) на $\rho_1 \bar{v}_{1t}$, (4.1.2) на $\rho_2 v_{2t}$, проинтегрируем по их областям определения и результаты сложим:

$$\begin{aligned} \rho_1 \int_0^{R_1} r \bar{v}_{1t}^2 dr + \rho_2 \int_{R_1}^{R_2} r v_{2t}^2 dr + \frac{1}{2} \frac{\partial}{\partial t} \left[\mu_1 \int_0^{R_1} r \bar{v}_{1r}^2 dr + \mu_2 \int_{R_1}^{R_2} r v_{2r}^2 dr \right] = \\ = \int_0^{R_1} r \bar{v}_{1t} Q(r, t) dr. \end{aligned} \quad (4.3.11)$$

Интеграл в правой части равенства (4.3.11) оценивается сверху так:

$$\int_0^{R_1} r \bar{v}_{1t} Q(r, t) dr \leq \frac{1}{2\varepsilon} \int_0^{R_1} r Q^2(r, t) dr + \frac{\varepsilon}{2} \int_0^{R_1} r \bar{v}_{1t}^2 dr$$

с произвольным $\varepsilon > 0$. Считая $\varepsilon = \rho_1$, из (4.3.11) выводим неравенство

$$\begin{aligned} \mu_1 \int_0^{R_1} r \bar{v}_{1r}^2 dr + \mu_2 \int_{R_1}^{R_2} r v_{2r}^2 dr \leq \\ \leq \mu_1 \int_0^{R_1} r \bar{v}_{10r}^2 dr + \mu_2 \int_{R_1}^{R_2} r v_{20r}^2 dr + \frac{1}{\rho_1} \int_0^t \int_0^{R_1} r Q^2(r, t) dr dt. \end{aligned} \quad (4.3.12)$$

Поскольку

$$Q^2 \leq 4\alpha^2 \left[\frac{P^2(r) a_{1t}^2(R_1, t)}{\mu_1^2} + \frac{P_1^2(r) a^2(R_1, t)}{\rho_1^2} \right],$$

где $P_1(r)$ есть квадратный трёхчлен в квадратных скобках равенства (4.3.10), то в силу оценок (3.2.19), (3.2.21) интегралы

$$\int_0^{R_1} r \bar{v}_{1r}^2 dr \leq d_4, \quad \int_{R_1}^{R_2} r v_{2r}^2 dr \leq d_5 \quad (4.3.13)$$

ограничены для всех $t \geq 0$.

Обращаясь к замене (4.3.6), получим ограниченность интеграла

$$\int_0^{R_1} r v_{1r}^2 dr \leq 2d_4. \quad (4.3.14)$$

Имеем

$$v_2^2(r, t) = 2 \left| \int_r^{R_2} v_2 v_{2r} dr \right| \leq \frac{2}{R_1} \left(\int_{R_1}^{R_2} r v_2^2 dr \right)^{1/2} \left(\int_{R_1}^{R_2} r v_{2r}^2 dr \right)^{1/2} \leq d_6 e^{-\eta_2 t/2},$$

откуда

$$|v_2(r, t)| \leq \sqrt{d_6} e^{-\eta_2 t/4} \quad (4.3.15)$$

равномерно по $r \in [R_1, R_2]$.

Для оценки $|v_1(r, t)|$ воспользуемся тем, что

$$\int_0^{R_1} r v_1(r, t) dr = 0.$$

Поэтому найдётся точка $r_1 \in (R_1, R_2)$ такая, что $v_1(r_1, t) = 0$. Из равенства

$$v_1^2(r, t) = 2 \int_{r_1}^r v_1 v_{1r} dr$$

получим

$$v_1^2 \leq 2 \int_{r_1}^r \frac{1}{r} |\sqrt{r} v_1| |\sqrt{r} v_{1r}| dr \leq \frac{2}{r_1} \left(\int_0^{R_1} r v_1^2 dr \right)^{1/2} \left(\int_0^{R_1} r v_{1r}^2 dr \right)^{1/2}.$$

Значит, для любых $r \in [0, R_1]$

$$|v_1(r, t)| \leq \sqrt{d_7} e^{-\eta_2 t/4}. \quad (4.3.16)$$

Для дальнейшего нам потребуются оценки $|v_{jt}|$, равномерные по $r \in [0, R_1]$ при $j = 1$ и $r \in [R_1, R_2]$ для $j = 2$. Они получаются путём дифференцирования сопряжённой задачи (4.1.1) - (4.1.5) по времени. Ясно, что для v_{jt} возникает точно такая же задача с заменой в (4.1.4) $a_1(R_1, t)$ на $a_{1t}(R_1, t)$, а начальные данные (4.1.6) будут следующими:

$$\begin{aligned} v_{1t}(r, 0) &= \nu_1 \left(v_{10rr} + \frac{1}{r} v_{10r} \right) + f_1(0) \equiv v_1^0(r), \\ v_{2t}(r, 0) &= \nu_2 \left(v_{20rr} + \frac{1}{r} v_{20r} \right) + f_2(0) \equiv v_2^0(r). \end{aligned} \quad (4.3.17)$$

Однако в (4.3.17) есть неизвестные $f_1(0)$ и $f_2(0)$. Они определяются через начальные данные $v_{10}(r)$, $v_{20}(r)$ следующим образом. Умножая уравнения (4.1.1), (4.1.2) на r и интегрируя с учётом второго и третьего равенств (4.1.3), найдём

$$f_1(t) = -\frac{2\nu_1}{R_1} v_{1r}(R_1, t), \quad f_2(t) = -\frac{2\nu_1}{R_2^2 - R_1^2} [R_2 v_{2r}(R_2, t) - R_1 v_{2r}(R_1, t)].$$

Таким образом,

$$\begin{aligned} f_1(0) &= -\frac{2\nu_1}{R_1} v_{10r}(R_1), \\ f_2(0) &= -\frac{2\nu_1}{R_2^2 - R_1^2} [R_2 v_{20r}(R_2) - R_1 v_{20r}(R_1)]. \end{aligned} \quad (4.3.18)$$

Следовательно, справедливы оценки вида (4.3.15), (4.3.16):

$$|v_{1t}(r, t)| \leq \sqrt{d_7} e^{-\eta_2 t/4}, \quad |v_{2t}(r, t)| \leq \sqrt{d_6} e^{-\eta_2 t/4} \quad (4.3.19)$$

с другими, вообще говоря, положительными постоянными d_6, d_7 .

Таким образом, справедлива:

Лемма 4.3.1. Для решения задач (4.1.1), (4.1.2) с начальными и краевыми условиями (4.1.3) - (4.1.6) справедливы оценки (4.3.16), (4.3.15) соответственно, и функции v_j, v_{jt} с ростом времени стремятся к нулю равномерно на отрезках $0 \leq r \leq R_1$ ($j = 1$) и $R_1 \leq r \leq R_2$ ($j = 2$).

Умножим уравнение (4.1.1) на $r(a-r)$, (4.1.2) на $r(R_1-r)(R_2-r)$, а затем проинтегрируем по r , получим

$$\begin{aligned} \frac{R_1^3}{6} f_1(t) &= \int_0^{R_1} r(R_1-r)v_{1t} dr - \nu_1 \int_0^{R_1} r v_{1r} dr, \\ \frac{(R_1-R_2)(R_1+R_2)^3}{12} f_2(t) &= \int_{R_1}^{R_2} r(R_1-r)(R_2-r)v_{2t} dr + \nu_2 \int_{R_1}^{R_2} r(2r-R_1-R_2)v_{2r} dr. \end{aligned} \quad (4.3.20)$$

Последние интегралы в (4.3.20) преобразуются так

$$\begin{aligned} \int_0^{R_1} r v_{1r} dr &= R_1 v_1(R_1, t) - \int_0^{R_1} v_1(r, t) dr, \\ \int_{R_1}^{R_2} r(2r-R_1-R_2)v_{2r} dr &= R_1(R_2-R_1)v_2(R_1, t) + (R_1+R_2) \int_{R_1}^{R_2} v_2(r, t) dr, \end{aligned} \quad (4.3.21)$$

и их можно оценить через известные $|v_j(r, t)|$, см. неравенства (4.3.15), (4.3.16). Используя эти неравенства, неравенства (4.3.19) и соотношения (4.3.21), из (4.3.20) получим оценки

$$|f_1(t)| \leq d_8 e^{-\eta_2 t/4}, \quad |f_2(t)| \leq d_9 e^{-\eta_2 t/4}, \quad (4.3.22)$$

где d_8, d_9 — положительные постоянные. Поэтому справедлива

Лемма 4.3.2. Функции $f_j(t)$ удовлетворяют оценкам (4.3.22) и с ростом времени стремятся к нулю.

4.4 Решение задачи методом преобразования Лапласа

Поставленные сопряжённые задачи являются линейными и для их решения применимо преобразование Лапласа [25]. Например,

$$\tilde{a}_j(r, s) = \int_0^{\infty} a_j(r, t) e^{-st} dt, \quad j = 1, 2. \quad (4.4.1)$$

Тогда задача (3.1.34) - (3.1.37) для функций $a_j(r, t)$ сводится к краевой задаче для обыкновенных дифференциальных уравнений

$$\tilde{a}_{1rr} + \frac{1}{r} \tilde{a}_{1r} - \frac{s}{\chi_1} \tilde{a}_1 = -a_{10}(r), \quad 0 < r < R_1; \quad (4.4.2)$$

$$\tilde{a}_{2rr} + \frac{1}{r} \tilde{a}_{2r} - \frac{s}{\chi_2} \tilde{a}_2 = -a_{20}(r), \quad R_1 < r < R_2; \quad (4.4.3)$$

$$\tilde{a}_1(R_1, s) = \tilde{a}_2(R_1, s), \quad k_1 \frac{\partial \tilde{a}_1(R_1, s)}{\partial r} = k_2 \frac{\partial \tilde{a}_2(R_1, s)}{\partial r}, \quad (4.4.4)$$

$$\tilde{a}_2(R_2, s) = \tilde{\alpha}(s).$$

Общие решения уравнений (4.4.2), (4.4.3) представимы в виде (для \tilde{a}_1 учтено условие ограниченности при $r = 0$)

$$\tilde{a}_1(r, s) = C_1 I_0\left(\sqrt{\frac{s}{\chi_1}} r\right) + \int_0^r \tau \left[I_0\left(\sqrt{\frac{s}{\chi_1}} \tau\right) K_0\left(\sqrt{\frac{s}{\chi_1}} r\right) - \right. \\ \left. - I_0\left(\sqrt{\frac{s}{\chi_1}} r\right) K_0\left(\sqrt{\frac{s}{\chi_1}} \tau\right) \right] a_{10}(\tau) d\tau; \quad (4.4.5)$$

$$\tilde{a}_2(r, s) = C_2 I_0\left(\sqrt{\frac{s}{\chi_2}} r\right) + C_3 K_0\left(\sqrt{\frac{s}{\chi_2}} r\right) + \int_{R_1}^r \tau \left[I_0\left(\sqrt{\frac{s}{\chi_2}} \tau\right) K_0\left(\sqrt{\frac{s}{\chi_2}} r\right) - \right. \\ \left. - I_0\left(\sqrt{\frac{s}{\chi_2}} r\right) K_0\left(\sqrt{\frac{s}{\chi_2}} \tau\right) \right] a_{20}(\tau) d\tau, \quad (4.4.6)$$

где $I_0(x)$, $K_0(x)$ — модифицированные функции Бесселя 1-го и 2-го рода. Величины C_1 , C_2 , C_3 определяются из граничных условий (4.4.4)

$$C_1 = \frac{1}{\Delta} \begin{vmatrix} h_1(s) & I_0(z) & K_0(z) \\ h_2(s) & -I_0(y) & -K_0(y) \\ h_3(s) & -\sqrt{\chi} I_1(y) & \sqrt{\chi} K_1(y) \end{vmatrix},$$

$$C_2 = \frac{1}{\Delta} \begin{vmatrix} 0 & h_1(s) & K_0(z) \\ I_0(x) & h_2(s) & -K_0(y) \\ kI_1(x) & h_3(s) & \sqrt{\chi} K_1(y) \end{vmatrix}, \quad (4.4.7)$$

$$C_3 = \frac{1}{\Delta} \begin{vmatrix} 0 & I_0(z) & h_1(s) \\ I_0(x) & -I_0(y) & h_2(s) \\ kI_1(x) & -\sqrt{\chi} I_1(y) & h_3(s) \end{vmatrix},$$

$$\Delta = \begin{vmatrix} 0 & I_0(z) & K_0(z) \\ I_0(x) & -I_0(y) & -K_0(y) \\ kI_1(x) & -\sqrt{\chi} I_1(y) & \sqrt{\chi} K_1(y) \end{vmatrix},$$

где $x = R_1\sqrt{s/\chi_1}$; $y = R_1\sqrt{s/\chi_2}$; $z = R_2\sqrt{s/\chi_2}$; $\chi = \chi_1/\chi_2$; $k = k_1/k_2$;

$$h_1(s) = \int_{R_1}^{R_2} \tau \left[I_0(z)K_0\left(\sqrt{\frac{s}{\chi_2}}\tau\right) - I_0\left(\sqrt{\frac{s}{\chi_2}}\tau\right)K_0(z) \right] a_{20}(\tau) d\tau + \tilde{\alpha}(s),$$

$$h_2(s) = - \int_0^{R_1} \tau \left[I_0\left(\sqrt{\frac{s}{\chi_1}}\tau\right)K_0(x) - I_0(x)K_0\left(\sqrt{\frac{s}{\chi_1}}\tau\right) \right] a_{10}(\tau) d\tau, \quad (4.4.8)$$

$$h_3(s) = k \int_0^{R_1} \tau \left[I_0\left(\sqrt{\frac{s}{\chi_1}}\tau\right)K_1(x) + I_1(x)K_0\left(\sqrt{\frac{s}{\chi_1}}\tau\right) \right] a_{10}(\tau) d\tau.$$

Поскольку при $t \rightarrow 0$ имеем $I_0(t) \sim 1 + t^2/4$, $K_0(t) \sim -\ln(t/2)$, $I_1(t) \sim t/2 + t^3/16$, $K_1(t) \sim 1/t + t \ln(t/2)/2$, то

$$\Delta(s) \sim \frac{1}{y} \left\{ \frac{kxy}{2} \ln\left(\frac{R_1}{R_2}\right) - \sqrt{\chi} \left[1 + \frac{y^2}{2} \ln\left(\frac{R_1}{R_2}\right) + \frac{x^2 + z^2}{4} \right] \right\}, \quad (4.4.9)$$

поэтому из формул (4.4.6) – (4.4.8) после длинных выкладок получим, что если $\lim_{t \rightarrow \infty} \alpha(t) = \alpha^c$, то [25]

$$\lim_{s \rightarrow 0} s \tilde{a}_j(s) = \alpha^c. \quad (4.4.10)$$

Таким образом, с ростом времени функции $a_j(r, t)$ стремятся к постоянным значениям.

Перейдём к определению функций $\tilde{v}_j(r, t)$, считая, что движение возникает только под действием термокапиллярных сил, то есть начальные условия (4.1.6) — нулевые: $v_{j0}(r) = 0$, $j = 1, 2$. Тогда для изображений $\tilde{v}_j(r, s)$ получим краевую задачу

$$\tilde{v}_{1rr} + \frac{1}{r} \tilde{v}_{1r} - \frac{s}{\nu_1} \tilde{v}_1 = -\frac{\tilde{f}_1(s)}{\nu_1}, \quad 0 < r < R_1; \quad (4.4.11)$$

$$\tilde{v}_{2rr} + \frac{1}{r} \tilde{v}_{2r} - \frac{s}{\nu_2} \tilde{v}_2 = -\frac{\tilde{f}_2(s)}{\nu_2}, \quad R_1 < r < R_2; \quad (4.4.12)$$

$$\tilde{v}_1(R_1, s) = \tilde{v}_2(R_1, s); \quad (4.4.13)$$

$$\mu_2 \tilde{v}_{2r}(R_1, s) - \mu_1 \tilde{v}_{1r}(R_1, s) = 2\alpha \tilde{a}_1(R_1, s); \quad (4.4.14)$$

$$\tilde{v}_2(R_2, s) = 0, \quad \int_0^{R_1} r \tilde{v}_1(r, s) dr = 0, \quad \int_{R_1}^{R_2} r \tilde{v}_2(r, s) dr = 0. \quad (4.4.15)$$

Здесь функция $\tilde{a}_1(R_1, s)$ уже известна из равенства (4.4.5), кроме того, $|\tilde{v}_1(0, s)| < \infty$.

Решение уравнений (4.4.11), (4.4.12) представим в виде

$$\begin{aligned} \tilde{v}_1 &= D_1 I_0 \left(\sqrt{\frac{s}{\nu_1}} r \right) + \frac{\tilde{f}_1(s)}{s}, \\ \tilde{v}_2 &= D_2 I_0 \left(\sqrt{\frac{s}{\nu_2}} r \right) + D_3 K_0 \left(\sqrt{\frac{s}{\nu_2}} r \right) + \frac{\tilde{f}_2(s)}{s}. \end{aligned} \quad (4.4.16)$$

Граничные условия (4.4.13), (4.4.14) и первое из (4.4.15) позволяют найти величины D_1, D_2, D_3 :

$$\begin{aligned} D_1 &= \frac{1}{s\Delta_1} \begin{vmatrix} -\tilde{f}_2 & I_0(z_1) & K_0(z_1) \\ \tilde{f}_2 - \tilde{f}_1 & -I_0(y_1) & -K_0(y_1) \\ -\frac{2\alpha\sqrt{\nu_2 s}}{\mu_2} \tilde{a}_1(R_1, s) & -I_1(y_1) & K_1(y_1) \end{vmatrix}, \\ D_2 &= \frac{1}{s\Delta_1} \begin{vmatrix} 0 & -\tilde{f}_2 & K_0(z_1) \\ I_0(x_1) & \tilde{f}_2 - \tilde{f}_1 & -K_0(y_1) \\ \frac{\mu}{\sqrt{\nu}} I_1(x_1) & -\frac{2\alpha\sqrt{\nu_2 s}}{\mu_2} \tilde{a}_1(R_1, s) & K_1(y_1) \end{vmatrix}, \\ D_3 &= \frac{1}{s\Delta_1} \begin{vmatrix} 0 & I_0(z_1) & -\tilde{f}_2 \\ I_0(x_1) & -I_0(y_1) & \tilde{f}_2 - \tilde{f}_1 \\ \frac{\mu}{\sqrt{\nu}} I_1(x_1) & -I_1(y_1) & -\frac{2\alpha\sqrt{\nu_2 s}}{\mu_2} \tilde{a}_1(R_1, s) \end{vmatrix}, \\ \Delta_1 &= \begin{vmatrix} 0 & I_0(z_1) & K_0(z_1) \\ I_0(x_1) & -I_0(y_1) & -K_0(y_1) \\ \frac{\mu}{\sqrt{\nu}} I_1(x_1) & -I_1(y_1) & K_1(y_1) \end{vmatrix}, \end{aligned} \quad (4.4.17)$$

где $x_1 = R_1 \sqrt{s/\nu_1}$; $y_1 = R_1 \sqrt{s/\nu_2}$; $z_1 = R_2 \sqrt{s/\nu_2}$; $\mu = \mu_1/\mu_2$; $\nu = \nu_1/\nu_2$.
Поскольку [11]

$$\int_0^{R_1} r I_0 \left(\sqrt{\frac{s}{\nu_1}} r \right) dr = \sqrt{\frac{\nu_1}{s}} a I_1 \left(\sqrt{\frac{s}{\nu_1}} R_1 \right),$$

$$\int_{R_1}^{R_2} r I_0 \left(\sqrt{\frac{s}{\nu_2}} r \right) dr = \frac{\nu_2}{s} [z_1 I_1(z_1) - y_1 I_1(y_1)], \quad (4.4.18)$$

$$\int_{R_1}^{R_2} r K_0 \left(\sqrt{\frac{s}{\nu_2}} r \right) dr = \frac{\nu_2}{s} [y_1 K_1(y_1) - z_1 K_1(z_1)],$$

то из второго и третьего равенств (4.4.15) с помощью формул (4.4.16), (4.4.18) находим

$$D_1 = -\frac{R_1 \tilde{f}_1(s)}{2\sqrt{\nu_1 s} I_1(x_1)}, \quad (4.4.19)$$

$$D_2[z_1 I_1(z_1) - y_1 I_1(y_1)] + D_3[y_1 K_1(y_1) - z_1 K_1(z_1)] = -\frac{\tilde{f}_2(s)(R_2^2 - R_1^2)}{2\nu_2}.$$

Подстановка D_1, D_2, D_3 из (4.4.17) в соотношения (4.4.19) позволяет определить $\tilde{f}_1(s)$ и $\tilde{f}_2(s)$ в виде

$$\tilde{f}_1(s) = \frac{F_1 B_2 - A_2 F_2}{A_1 B_2 - A_2 B_1}, \quad \tilde{f}_2(s) = \frac{A_1 F_2 - F_1 B_1}{A_1 B_2 - A_2 B_1}, \quad (4.4.20)$$

где

$$A_1 = \frac{x_1 \Delta_1}{2I_1(x_1)} + I_0(z_1)K_1(y_1) + K_0(z_1)I_1(y_1),$$

$$A_2 = \frac{1}{y_1} - I_0(z_1)K_1(y_1) - I_1(y_1)K_0(z_1),$$

$$F_1 = \frac{2\alpha \tilde{a}_1(R_1, s)y_1}{R_1 \rho_2} [I_0(y_1)K_0(z_1) - I_0(z_1)K_0(y_1)],$$

$$B_1 = \frac{\mu}{\sqrt{\nu}} I_1(x_1) [1 - y_1 I_1(y_1)K_0(z_1) - y_1 I_0(z_1)K_1(y_1)],$$

$$B_2 = [z_1 I_1(z_1) - y_1 I_1(y_1)] \left[\frac{\mu}{\sqrt{\nu}} I_1(x_1)K_0(y_1) + I_0(x_1)K_1(y_1) - \frac{\mu}{\sqrt{\nu}} I_1(x_1)K_0(z_1) \right] + [y_1 K_1(y_1) - z_1 K_1(z_1)] \left[\frac{\mu}{\sqrt{\nu}} I_1(x_1)I_0(z_1) + I_0(x_1)I_1(y_1) - \frac{\mu}{\sqrt{\nu}} I_1(x_1)I_0(y_1) \right] + \frac{(1-\delta)}{2\delta} y_1^2 \Delta_1,$$

$$F_2 = \frac{2\alpha \tilde{a}_1(R_1, s)}{a \rho_2} y_1 I_0(x_1) [1 - y_1 K_0(z_1)I_1(y_1) - y_1 K_1(y_1)I_0(z_1)].$$

С помощью довольно длинных вычислений доказываются, что если $\lim_{t \rightarrow \infty} \alpha(t) = \alpha^c$, то [25]

$$\lim_{s \rightarrow 0} s \tilde{v}_j(r, s) = v_j^c(r), \quad j = 1, 2. \quad (4.4.21)$$

То есть с ростом времени решение выходит на стационарный режим.

Лемма 4.4.1. Решения задач (3.1.34)–(3.1.37) для функций $a_j(r, t)$ и (4.1.1)–(4.1.6) для функций $v_j(r, t)$ определяются путём обращения преобразования Лапласа формул (4.4.5), (4.4.6) и (4.4.16) соответственно, которые с ростом времени выходят на стационарный режим.

На Рисунке 9 приведена зависимость безразмерной функции $\bar{v}_j = R_1^2 v_1 / \nu_j$ от $\xi = R_1 z$, когда $\alpha(\tau) = \sin(10^{-3}\tau)$, где $\tau = R_1^2 t / \nu_1$ — безразмерный параметр времени, то есть $\alpha(\tau)$ не имеет предела при $\tau \rightarrow \infty$. Таким образом, как видно из графика, решение с ростом времени не сходится к стационарному. На Рисунке 10 также приведена зависимость $\bar{v}_j(\xi)$, когда $\alpha(\tau) = 1 + \exp(-10^3\tau) \sin(10^{-3}\tau)$. Здесь решение стремится к стационарному. При $\tau \approx 400$ кривая 3 практически совпадает с кривой 4.

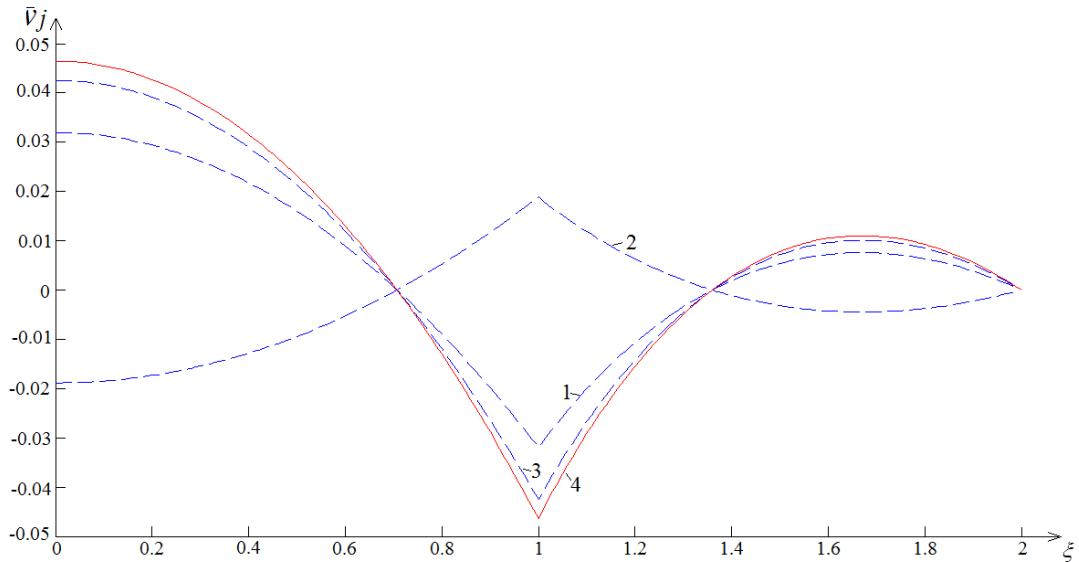


Рисунок 9. Безразмерные профили функций \bar{v}_j at $\alpha(\tau) = \sin(10^{-2}\tau)$; curve 1: $\tau = 200$; curve 2: $\tau = 400$; curve 3: $\tau = 700$; curve 4: стационарное решение. Кривые 1-3 с ростом времени не стремятся к кривой 4.

Замечание 4.4.1. Задача для определения изображений $\tilde{b}_j(r, s)$ в точности совпадает с задачей (4.4.2)–(4.4.4) с заменой $-a_{j0}(r)$ на $-b_{j0}(r) - 2\tilde{a}_j(r, s)$ и $\tilde{\alpha}(s)$ на $\tilde{\beta}(s)$. Таким образом, эти функции находятся по формулам (4.4.5)–(4.4.8).

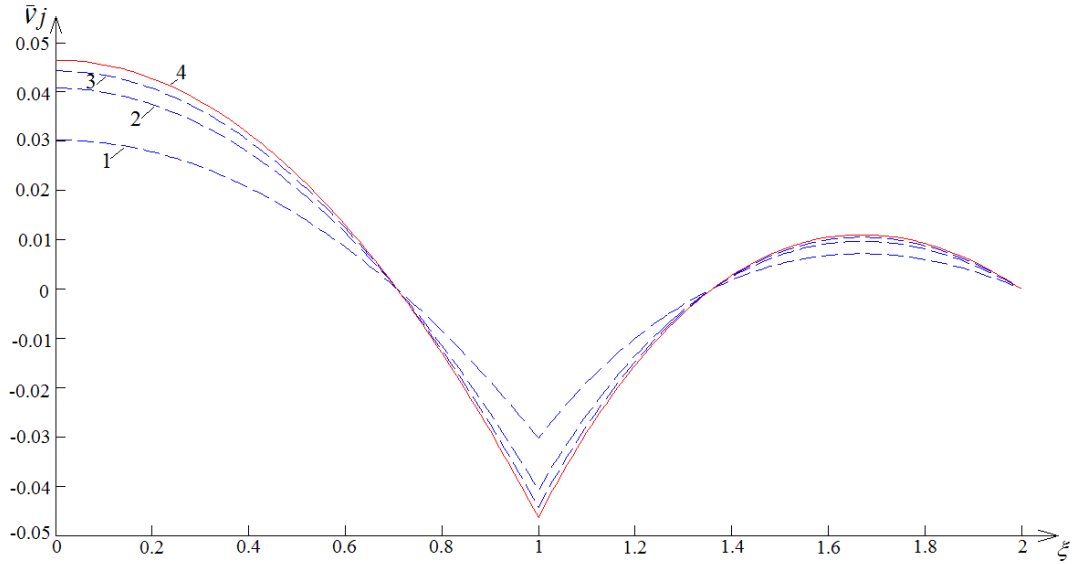


Рисунок 10. Безразмерные профили функций \bar{v}_j at $\alpha(\tau) = 1 + e^{-\tau} \sin(\tau)$; curve 1: $\tau = 20$; curve 2: $\tau = 50$; curve 3: $\tau = 100$; curve 4: стационарное решение.

4.5 О стремлении решения к стационарному

Выход решения нестационарной задачи на стационарный режим при условии сходимости интегралов

$$\int_0^{\infty} e^{\eta\tau} |\alpha^c - \alpha(\tau)| d\tau, \quad \int_0^{\infty} e^{\eta\tau} |\alpha'(\tau)| d\tau \quad (4.5.1)$$

можно показать, вводя разности

$$\bar{a}_j(r, t) = a_j^c(r) - a_j(r, t), \quad j = 1, 2, \quad (4.5.2)$$

где $a_j^c(r) \equiv \alpha^c$ — стационарное решение задачи (3.1.34) - (3.1.37). Тогда функции $\bar{a}_j(r, t)$ будут удовлетворять уравнениям

$$\bar{a}_{jt} = \chi_j \left(\bar{a}_{jrr} + \frac{1}{r} \bar{a}_{jr} \right),$$

причём граничные условия (3.1.37) останутся без изменений, первое условие (3.1.36) на боковой стенке трубы примет вид

$$\bar{a}_2(b, t) = \alpha^c - \alpha(t). \quad (4.5.3)$$

Изменяются также и начальные данные (3.1.35):

$$\bar{a}_j(r, 0) = \alpha^c - a_{j0}(r) \equiv \bar{a}_{j0}(r). \quad (4.5.4)$$

Следовательно, для функций $\bar{a}_j(r, t)$ получим задачу, аналогичную задаче для $a_j(r, t)$. Поэтому (см. оценки (3.2.18), (3.2.25))

$$|a_j(r, t) - \alpha^c| \leq C_j e^{-\eta t/2}, \quad (4.5.5)$$

$C_j > 0$ — постоянные. Если дополнительно к (4.5.1) потребовать сходимость интеграла

$$\int_0^{\infty} |\alpha''(\tau)| e^{\eta\tau} d\tau, \quad (4.5.6)$$

то решение задачи для функций $v_j(r, t)$ (4.1.1) – (4.1.6) с ростом времени выходит на стационарный режим (4.2.1) – (4.2.3). Для доказательства этого утверждения достаточно ввести разности

$$\bar{v}_j(r, t) = v_j^c(r) - v_j(r, t), \quad \bar{f}_j(t) = f_j^c - f_j(t). \quad (4.5.7)$$

Они являются решением в точности такой же задачи, что и для функций $v_j(r, t)$. Используя оценки (4.3.15), (4.3.16), получим

$$|v_j(r, t) - v_j^c(r)| \leq W_j e^{-\eta_2 t/4}, \quad (4.5.8)$$

$W_j > 0$ — постоянные.

Нетрудно показать, что и функции $f_j(t)$ при $t \rightarrow \infty$ стремятся к их стационарным значениям (4.2.4), если сходятся интегралы (4.5.1) и (4.5.6). Это следует из оценок (4.3.22):

$$|f_j(t) - f_j^c| \leq H_j e^{-\eta_2 t/4}, \quad (4.5.9)$$

где $H_j > 0$ — постоянные.

Таким образом, имеет место

Теорема 4.5.1. Если интегралы (4.5.1), (4.5.6) сходятся, то функции $a_j(r, t)$, $v_j(r, t)$, $f_j(t)$ с ростом времени экспоненциально стремятся к их стационарным значениям.

Заключение

В заключении сформулируем основные результаты диссертационной работы:

1. (a) Построены решения в виде рядов Фурье по функциям Бесселя для сопряжённых задач о стационарном и нестационарном распределении тепла в конечном цилиндре, когда температура на всей границе цилиндров известна;
(b) доказана сходимостъ построенных рядов;
(c) доказана единственность решения;
(d) указаны условия, при которых решение нестационарной задачи с ростом времени выходит на стационарный режим.
2. Исследованы спектральные задачи об устойчивости равновесия:
(a) двух жидкостей в цилиндре при наличии границы раздела;
(b) однослойной жидкости в цилиндрическом контейнере с верхней свободной границей, на которой задан теплообмен с окружающей средой.

В обоих случаях получены явные зависимости спектрального параметра от геометрии области и физических параметров жидкостей.

3. (a) Получены априорные оценки обратных сопряжённых линейных задач, описывающих осесимметричное термокапиллярное движение при малом числе Марангони для двух несмешивающихся вязких теплопроводных жидкостей в цилиндрической трубе. При этом их общая поверхность раздела предполагается недеформируемой и в одном случае является подвижной, а в другом – фиксированной;
(b) даны достаточные условия сходимости решений обеих задач к стационарному режиму;
(c) во второй задаче
 - найдено стационарное решение;
 - в образах по Лапласу решение получено в явном виде;
 - приведённые тестовые расчёты для конкретных жидких сред хорошо согласуются с полученными априорными оценками.

Список литературы

- [1] Абрамовица, М. Справочник по специальным функциям / М. Абрамовица, И. Стиган. – М.: Наука, 1979. – 832 с.
- [2] Андреев, В. К. Об одной сопряжённой начально-краевой задаче / В. К. Андреев // Дифференциальные уравнения. – 2008. – №5. – С. 1-7.
- [3] Андреев, В. К. О неравенстве Фридрикса для составных областей / В. К. Андреев // Журнал Сибирского федерального университета. Математика и физика. – 2009. – Т. 2. – № 2. – С. 146 – 157.
- [4] Андреев, В. К. Решения Бириха уравнений конвекции и некоторые его обобщения / В. К. Андреев – Препринт №1-10. – Красноярск: Институт вычислительного моделирования СО РАН, 2010. – 68 с.
- [5] Андреев, В. К. Устойчивость неизотермических жидкостей / В. К. Андреев, В. Б. Бекежанова. – Красноярск: Сибирский федеральный университет, 2010. – 356 с.
- [6] Андреев, В. К. Математическое моделирование конвективных течений: учебное пособие / В. К. Андреев, Ю. А. Гапоненко. – Красноярск: КрасГУ, 2006. – 392 с.
- [7] Андреев, В. К. Современные математические модели конвекции / В. К. Андреев, Ю. А. Гапоненко, О. Н. Гончарова, В. В. Пухначёв. – М.: Физматлит, 2008. – 368 с.
- [8] Андреев, В. К. Термокапиллярная неустойчивость / В. К. Андреев, В. Е. Захватаев, Е. А. Рябицкий. – Новосибирск: Наука, 2000. – 279 с.
- [9] Андреев, В. К. Эволюция термокапиллярного движения трёх жидкостей в плоском слое / В. К. Андреев, Е. Н. Лемешкова // Прикладная математика и механика. – 2014. – Т. 78. – Вып. 4. – С. 485-492.
- [10] Андреев, В. К. Инвариантные решения уравнений термокапиллярного движения / В. К. Андреев, В. В. Пухначёв // Численные методы механики сплошной среды. – Новосибирск, 1983. – Т. 14. – № 5. – С. 3-23.
- [11] Бейтмен, Г. Высшие трансцендентные функции. Функции Бесселя, функции параболического цилиндра, ортогональные многочлены / Г. Бейтмен, А. Эрдейн. – М.: Наука, 1974. – 295 с.
- [12] Бирих, Р. В. О термокапиллярной конвекции в горизонтальном слое жидкости / Р. В. Бирих // Прикладная механика и техническая физика. – 1966. – №3. – С. 69-72.
- [13] Бирих, Р. В. Осевое конвективное течение во вращающейся трубе с продольным градиентом температуры / Р. В. Бирих, В. В. Пухначёв // Доклады академии наук. – Т. 436. – №3. – С. 323-327.
- [14] Бугаев, А. А. Термокапиллярные явления и образование рельефа поверхности под воздействием пикосекундных лазерных импульсов / А. А. Бугаев,

- В. А. Лукошкин, В. А. Урпин, Д. Г. Яковлев // Журнал технической физики. – 1988. – Т. 58 – № 5. – С. 908 – 914.
- [15] Варгафтик, Н. Б. Справочник по теплофизическим свойствам газов и жидкостей / Н. Б. Варгафтик. – М.: Наука, 1972. – 720 с.
- [16] Ватсон, Г. Н. Теория бесселевых функций. Часть первая. / Г. Н. Ватсон. – М.: Издательство иностранной литературы, 1945. – 799 с.
- [17] Веденов, А. А. Физические процессы при лазерной обработке металлов / А. А. Веденов, Г. Г. Гладуш. – М.: Энергоатомиздат, 1985. – 206 с.
- [18] Владимиров, В. С. Уравнения математической физики / В. С. Владимиров. – М.: Наука, 1976. – 526 с.
- [19] Воробьёв, Н. Н. Теория рядов / Н. Н. Воробьёв. – М.: Наука, 1979. – 408 с.
- [20] Гончарова, О. Н. Групповая классификация уравнений свободной конвекции / О. Н. Гончарова // Динамика сплошной среды. – Новосибирск: ИГ СО РАН СССР, 1987. – Вып. 79. – С. 22-35.
- [21] Гончарова, О. Н. Гравитационно-термокапиллярная конвекция в горизонтальном слое при спутном потоке газа / О. Н. Гончарова, О. А. Кабов // Доклады академии наук. – Т. 426. – №2. – С. 183-188.
- [22] Зейтунян, Р. Х. Проблема термокапиллярной неустойчивости Бенара - Марангони / Р. Х. Зейтунян // Успехи физических наук. – 1998. – Т. 169. – Вып. 3. – С. 259-286.
- [23] Катков, В. Л. Точные решения некоторых задач конвекции / В. Л. Катков // Прикладная математика и механика. – 1968. – №3. – С. 11-18.
- [24] Кудрявцев, Л. Д. Курс математического анализа: учебное пособие для студентов университетов и вузов в 3 т. / Л. Д. Кудрявцев. – 2-е изд., перераб. и доп. – М.: Высшая школа, 1989. – Т. 3. – 352 с.
- [25] Лаврентьев, М. А. Методы теории функций комплексного переменного / М. А. Лаврентьев, Б. В. Шабат. – М.: Наука, 1973. – 736 с.
- [26] Ладыженская, О. А. Краевые задачи математической физики / О. А. Ладыженская. – М.: Наука, 1973. – 408 с.
- [27] Леонтьев, А. Ф. Ряды экспонент / А. Ф. Леонтьев. – М.: Наука, 1976. – 536 с.
- [28] Магденко, Е. П. Решение стационарной сопряжённой задачи теплообмена в конечных цилиндрах / Е. П. Магденко // Журнал Сибирского федерального университета. Серия: Математика и физика. – 2010. – Т.4. – Вып. 4. – С. 519-526.
- [29] Магденко, Е. П. Об определении стационарных полей температур в контактирующих конечных цилиндрах / Е. П. Магденко // Сборник трудов XLIII краевой научной студенческой конференции по математике и компьютерным наукам – Красноярск, 2010. – С. 74-78.

- [30] Магденко, Е. П. Решение стационарной сопряжённой задачи теплообмена в конечных цилиндрах / Е. П. Магденко // Сборник трудов XI всероссийской конференции молодых учёных по математическому моделированию и информационным – Красноярск, 2010. – С. 32.
- [31] Магденко, Е. П. О потере устойчивости равновесия двух жидкостей в цилиндре при наличии границы раздела / Е. П. Мгденко // Журнал сибирского федерального университета. Серия: Математика и физика. – 2012. – Т.5. – Вып. 4. – С. 558-565.
- [32] Магденко, Е. П. Решение стационарной сопряжённой задачи теплообмена в конечных цилиндрах / Е. П. Магденко // Сборник трудов 50-ой Международной студенческой научной конференции "Студент и научно-технический прогресс". – Новосибирск, 2012. – С. 112.
- [33] Магденко, Е. П. О возникновении движения в конечном цилиндре / Е. П. Магденко // Журнал вычислительные технологии. – 2013. – Т.5. – Вып. 6 – С. 75-82.
- [34] Магденко, Е. П. О линеаризованной сопряжённой задаче конвекции в конечном цилиндре / Е. П. Магденко // Материалы конференции молодых учёных по математическому моделированию и информационным технологиям ИВМ СО РАН. – Красноярск, 2013. – С. 85-90.
- [35] Магденко, Е. П. Решение линеаризованной сопряжённой задачи конвекции в цилиндрах / Е. П. Магденко // Сборник трудов конференции "Некоторые актуальные проблемы современной математики и математического образования. Герценовские чтения". – Санкт-Петербург, 2013. – С. 62-66.
- [36] Магденко, Е. П. О возникновении конвекции в конечном цилиндре при наличии границы раздела / Е. П. Магденко // Тезисы докладов 5-ой Всероссийской конференции с участием зарубежных учёных "Задачи со свободными границами: теория, эксперимент и приложения". – Бийск, 2014. – С. 68.
- [37] Магденко, Е. П. Конвекция Марангони в конечном цилиндре / Е. П. Магденко // Журнал прикладная механика и техническая физика – 2016. – Т.1. – С. 142-151.
- [38] Магденко, Е. П. Априорные оценки сопряжённой задачи, описывающей осесимметричное термокапиллярное движение при малых числах Марангони / Е. П. Магденко. – Препринт № 16-1. – Красноярск: Институт вычислительного моделирования СО РАН, 2016. – 31 с.
- [39] Мандельбройт, С. Ряды Дирихле. Принципы и методы / С. Мандельбройт. – М.: Мир, 1973. – 171 с.
- [40] Михайлов, В. П. Дифференциальные уравнения в частных производных / В. П. Михайлов. – М.: Наука, 1983. – 424 с.

- [41] Михлин, С. Г. Линейные уравнения в частных производных / С. Г. Михлин. М.: Высшая школа, 1977. – 431 с.
- [42] Овсянников, Л. В. Групповой анализ дифференциальных уравнений / Л. В. Овсянников. – М.: Наука, 1978. – 400 с.
- [43] Овсянников, Л. В. Нелинейные проблемы теории поверхностных и внутренних волн / Л. В. Овсянников, Н. И. Макаренко, В. И. Налимов и др. - Новосибирск, Наука, 1985. – 318 с.
- [44] Остроумов, Г. А. Свободная конвекция в условиях внутренней задачи / Г. А. Остроумов. – М.: ГИТТЛ, 1952. – 256 с.
- [45] Полянин, А. Д. Справочник — линейные уравнения математической физики / А. Д. Полянин. – М.: Физматлит, 2001. – 576 с.
- [46] Прудников, А. П. Интегралы и ряды. Специальные функции / А. П. Прудников, Ю. А. Бычков, О. И. Маричев. – М.: Наука, 1983. – 752 с.
- [47] Пухначёв, В. В. Движение вязкой жидкости со свободными границами: учебное пособие / В. В. Пухначёв. – Новосибирск, 1989. – 96 с.
- [48] Пухначёв, В. В. Теоретико-групповая природа решения Бириха и его обобщения / В. В. Пухначёв // Труды II Международной конференции "Симметрия и дифференциальные уравнения". – Красноярск: Институт вычислительного моделирования СО РАН, 2000. – С. 180-183.
- [49] Пухначёв, В. В. Нестационарные аналоги решения Бириха / В. В. Пухначёв // Известия АлтГУ. – 2011. – №1/2. – С. 62-69.
- [50] Смирнов, В. И. Курс высшей математики / В. И. Смирнов. – М.: Наука, – Т. 4. – ч. 1. – 1974.
- [51] Репин, И. В. Стационарные течения двухслойной жидкости: магистерская диссертация / И. В. Репин. – Красноярск: КГУ, математический факультет, 2003. – С. 1-35.
- [52] Рябицкий, Е. А. Колебательная термокапиллярная неустойчивость равновесия плоского слоя в присутствии поверхностно-активного вещества / Е. А. Рябицкий // Известия РАН. Механика жидкости и газа. – 1993. – №1. – С. 6-10.
- [53] Тихонов, А. Н. Уравнения математической физики: учебное пособие для студентов университетов и вузов / А. Н. Тихонов, А. А. Самарский. – 4-ое изд., перераб. и доп. – М.: Наука, 1972. – 736 с.
- [54] Толстов, Г. П. Ряды Фурье / Г. П. Толстов. – М.: Наука, 1980. – 384 с.
- [55] Хайбибулин, И. Г. Лазерный отжиг имплантированных полупроводников / И. Г. Хайбибулин, Е. И. Штырков, М. М. Зарипов // Известия академии наук СССР. Серия: физика. – 1981. – Т. 45. – № 8. – С. 1464-1473.
- [56] Andreev, V. K. Stability of Non-isothermal Fluids (Review) / V. K. Andreev, V. V. Bekezhanova // J. Appl. Mech. and Tech. Phys. – 2013. – Vol. 54 – No. 2. – P. 171-184.

- [57] Andreev, V. K. *Mathematical Models of Convection* // V. K. Andreev, Y. A. Gaponenko, O. N. Goncharova, V. V. Pukhnachov // Berlin/Boston: Walter de Gruyter GmbH and Co. KG, 2012.
- [58] Andreev, V. K., Kaptsov O.V., Pukhnachov V.V., Radionov A.A. *Applications of Group-Theoretical Methods in Hydrodynamics* / V. K. Andreev, O. V. Kaptsov, V. V. Pukhnacov, A. A. Radionov. – Dordnrcht/Boston/London: Kluwer Academic Publisher, 1998. – 408 p.
- [59] Dauby P. C. *Linear Bernard-Marangoni instability in rigid circular containers* / P. C. Dauby, G. Lebon, E. Bouhy // *Physical Review E*. – 1997. – V. 56. – P. 520-530.
- [60] Denisova, I. V. *On the problem of thermocapillary convection for two incompressible fluids separated by a closed interface* / I. V. Denisova. – *Prog. Nonlinear Differ. Equ. Appl.* – 2005. – V. 61. – P. 45-64.
- [61] Denisova, I. V. *Thermocappillary convection problem for two compressible immiscible fluids* / I. V. Denisova // *Microgravity Sci. Technol.* – 2008. – V. 20. – No 3-4. – P. 287-291.
- [62] Magdenko, E. P. *Axisymmetric Thermocapillary Motion in a Cylinder at Small Marangoni Number* / E. P. Magdenko // *Siberian Federal University. Mathematics & Physics*. – 2015. – V.8. – No 3. – P. 303-311.
- [63] Napolitano, L. G. *Plane Marangoni-Poiseuille flow two immiscible fluids* / L. G. Napolitano // *Acta Astronautica*. – 1980. – V. 7. – No. 4-5. – P. 461-478.
- [64] Narayanan R. *Interfacial Fluid Gynamics and Transport Processes* / R. Narayanan, D. Schwabe – Berlin/Heidelberg/New-York: Springer-Verlag, 2009.
- [65] Nepomnyashii, A. *Interfacial Convection in Multilayer System* / A. Nepomnyashii, I. Simanovskii, J.-C. Legros – New-York: Springer, 2006.
- [66] Pearson, J. R. A. *One convection cells induced by surface tension* / J. R. A. Pearson // *J. Fluid Mech.* 1958. V. 4. P. 489–500.
- [67] Rosenblat, S. *Nonlinear Marangoni convection in bounded layers. Part 1. Circular cylindrical containers* / S. Rosenblat, S. H. Davis, G. M. Homsy // *J. Fluid Mech.* – 1982. – V. 120. – P. 91–122.
- [68] Ryabitskii, E. A. *Thermocapillarity instability of liquid layer with internal heat generation* / E. A. Ryabitskii // *Micrograviti science and technology*. – 1994. – V. 7. – P. 20-23.
- [69] Palmer, H. J. *Hydrodynamic stability of surfactant solutions heated from below* / H. J. Palmer, J. C. Berg // *J. Fluid. Mech.* 1972. – V. 51. – Pt. 2. – P. 385 – 402.
- [70] Scriven, L. E. *On cellular convection driven by surface-tension gradients: effects of mean surface tension and surface viscosity* / L. E. Scriven, C. V. Sternling // *J. Fluid Mech.* – 1964. – V. 19. – P. 321–340.

- [71] Smith, K. A. On convective instability induced by surface-tension gradients / K. A. Smith // J. Fluid Mech. – 1966. – V. 24. – Pt 2. – P. 401-414.
- [72] Zeytovnian, R. Kh. Convection in Fluids / R. Kh. Zeytovnian – Dordrecht/Heidelberg/London/ New-York: Springer, 2009.